

# Propriedades Magnéticas relacionadas com as alterações hidrotermais associadas a mineralizações de Au intragraníticas

Ana Marta Vasques Gonçalves Geologia

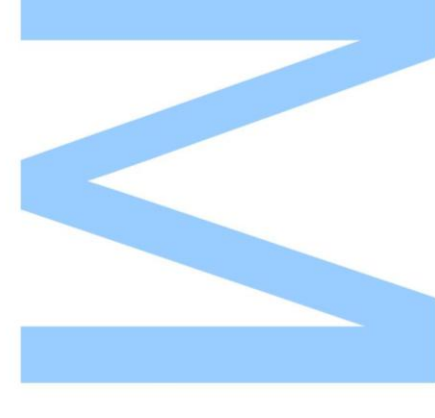
Departamento Geociências, Ambiente e Ordenamento de Território 2015

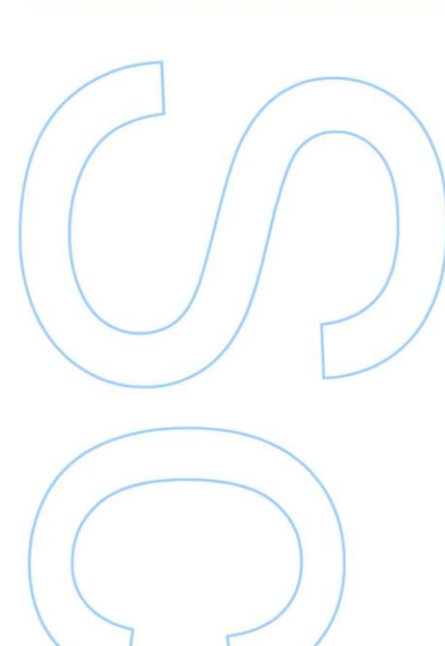
#### Orientador

Fernando Noronha, Professor Catedrático, Faculdade de Ciências da Universidade do Porto

#### Coorientador

Helena Sant'Ovaia, Professor Associado, Faculdade de Ciências da Universidade do Porto

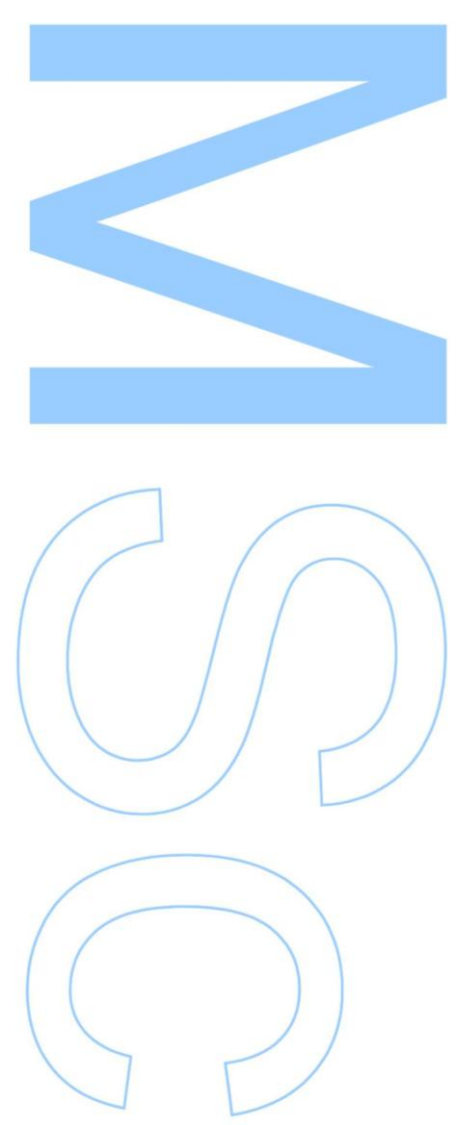






Todas as correções determinadas pelo júri, e só essas, foram efetuadas. O Presidente do Júri,

Porto, \_\_\_\_/\_\_\_/\_\_\_



"Гидо vale a pena quanдо a alma não é pequena." Fenanдо Pessoa

# Agradecimentos

A realização do presente trabalho não resultou do esforço de uma só pessoa, mas sim da vontade e esforço de várias pessoas que se disponibilizaram para me ajudar nesta etapa tão decisiva da minha vida académica e, a elas, quero prestar aqui o meu sincero agradecimento e amizade.

Ao Professor Doutor Fernando Noronha quero agradecer a sua disponibilidade e vontade para me orientar, quero agradecer os conselhos e ensinamentos transmitidos, não só na realização desta dissertação mas também em todo o meu percurso académico. A sí, a minha gratidão, amizade e sincero reconhecimento por aquilo que fez por mim.

À Professora Helena Sant'Ovaía, o meu profundo agradecimento pela ajuda e apoio prestados durante todo o ano. Obrigado por ter aceitado orientar a minha dissertação, obrigado pela confiança e reconhecimento, e acima de tudo obrigado pelos ensinamentos e amizade.

Obrigado a todos os Professores que estíveram de forma direta e indireta relacionados com o meu percurso académico, sem a vossa ajuda não seria possível adquirir o conhecimento necessário para a realização desta dissertação.

Obrigado Hugo Rodrígues por toda a ajuda e paciência. Obrigado pelos concelhos e amizade. Obrigado pela confiança e apoio.

Obrigado a todos os colegas que me ajudaram na realização deste trabalho, a eles o meu síncero agradecímento e amízade, Sara Leal, Cláudía Cruz, Ruí Frutuoso e Luís Líma.

É inevitável não expressar o meu mais sincero agradecimento à minha familia, sem eles não seria possível. Obrigado pelo reconhecimento, acompanhamento, apoio, confiança e dedicação. Obrigado Alícia e Patricia por me apoiarem e confiarem nas minhas capacidades para a realização deste curso. Obrigado Pedro por acreditares em mim e por me motivares. Obrigado Mãe e Paí, por me ajudarem a concretizar esta etapa que para mim foi tão importante e que sem vocês não seria de todo possível. Obrigado pelo esforço, amor, confiança, apoio e dedicação.

Por último, quería agradecer-te Duarte, meu namorado, os momentos em que me apoiaste e auxiliaste sem nunca duvidar das minhas capacidades para a realização deste trabalho, que culmina uma das etapas mais importantes na minha vida. Obrigado por estares sempre do meu lado quer nos momentos bons ou menos bons. Obrigado por tudo.

Peço desculpa se, por lapso me esqueço de mencionar alguém, mas o importante é que as pessoas que me ajudaram tenham o conhecimento que foram importantes para mím, quer de um ponto de vista académico, quer do ponto de vista pessoal.

#### Resumo

O presente trabalho teve como objetivo principal a identificação e caraterização das zonas de alteração hidrotermal dos granitos que envolvem filões de quartzo mineralizados em ouro, da zona de Godinhaços, no Norte de Portugal. Para esse efeito utilizaram-se diferentes metodologias de trabalho: (i) a medição da suscetibilidade magnética (K) dos granitos complementado por estudos petrográficos em lâminas delgadas, que se revelou como um bom método para o estudo da alteração hidrotermal, podendo vir a ser usado como um método indireto de identificação do grau de alteração de granitos em áreas com potencial metalogénico; (ii) estudos de anisotropia da suscetibilidade magnética (ASM) que permitiram caracterizar o fabric magnético dos granitos da zona e deduzir condições de instalação e geometria dos maciços graníticos.

Os valores de K foram medidos *in situ* com auxílio de um suscetibilímetro portátil nas três fácies graníticas, S. Mamede, Vila Verde e Braga, que afloram na zona em estudo. Os valores registados são semelhantes para os três granitos evidenciando um comportamento paramagnético (K ≈ 10<sup>-6</sup> SI), o que permite inclui-los nos granitos do tipo *ilmenite-type*. O mapa da suscetibilidade magnética permitiu definir um zonamento orientado aproximadamente NE-SO, subparalelo a um possante filão de quartzo. Este zonamento da suscetibilidade está relacionado com o grau de alteração hidrotermal, nomeadamente com fenómenos de moscovitização que fazem diminuir o sinal magnético. Os fenómenos de moscovitização foram também observados nos estudos petrográficos realizados em lâminas delgadas.

Para os estudos de ASM foram recolhidas amostras cilíndricas representativas das três fácies graníticas, o que permitiu caraterizar as foliações e lineações magnéticas. As foliações magnéticas apresentam atitudes diferentes nas três fácies graníticas, o que reforça a ideia de que tiveram períodos de instalação diferentes, o que confirma os dados de campo. As inclinações das foliações magnéticas permitem avançar com hipóteses para a geometria dos maciços graníticos: os maciços de S. Mamede e de Vila Verde serão do tipo lamelar, mas em contrapartida o maciço de Braga será um corpo enraizado. O azimute das lineações magnéticas e a direção da maioria das foliações, sugerem que o maciço de S. Mamede teve como zona de alimentação fraturas N-S. Quanto ao maciço de Vila Verde, a atitude das foliações e lineações, assim como a orientação preferencial dos megacristais de feldspato potássico, sugerem uma instalação e cristalização controlada pela zona de cisalhamento Malpica-Lamego.

A forma do elipsóide de ASM, é idêntico em todas as fácies graníticas e revelam elipsoides do tipo achatado, o que se deve ao facto de os minerais responsáveis pelo sinal magnético apresentaram hábito lamelar, como é o caso da biotite. A anisotropia magnética obtida para as três fácies está de acordo com os valores encontrados noutros granitos varicos tardi- a pós-tectónicos.

O estudo do diaclasamento permitiu verificar que as famílias de diaclases mais abundantes têm orientação geral N040ºE-N060ºE, coincidente com as orientações preferenciais dos filões mineralizados.

#### Abstract

The aim of this study is to contribute to the identification and characterization of hydrothermal alteration zones in the granites that host gold-bearing quartz veins, in Godinhaços zone, northern Portugal. In order to achieve this goal, we utilize several methods of study: (i) the magnetic susceptibility (K) of granites was measured and complemented by petrographic studies in thin sections revealing a good methodology for the study of hydrothermal alteration that can be useful as indirect method for evaluation of the degree of hydrothermal alteration in areas with metallogenic potencial. (ii) study of the anisotropy of magnetic susceptibility (AMS) to characterize the magnetic fabric of the granites, allowing the deduction of the emplacement conditions and geometry of the granite massifs.

The K values were measured *in situ* using a portable susceptibility meter in the three granite facies, S. Mamede, Vila Verde and Braga, which occur in the studied area. The magnetic susceptibility values are similar in the three facies indicating a paramagnetic behaviour (K≈10<sup>-6</sup> SI), which is typical of *ilmenite type* granites. However, the values of the granites magnetic susceptibility defined a zonation NE-SW-trending sub parallel to an important quartz vein. This susceptibility zoning is related to the hydrothermal alteration degree, mainly with moscovitization phenomena, that decrease the magnetic signal. The moscovitization process was also observed in petrographic studies.

For the AMS studies, oriented cores were collected, with a portable drill machine, in the three granite facies present in the area. The magnetic foliations have different attitudes in the three granitic facies, which reinforces the idea that the granites had different emplacement times, which was also observed in the field. The dip of the magnetic foliation suggests different geometry for the three granite plutons: S. Mamede and Vila Verde with a sill shape, in contrast to Braga with a rooted shape. The trend of the magnetic lineations and of most of the foliation suggests that the S. Mamede pluton was fed along N-S fractures. In Vila Verde pluton, the foliation and lineation trends, and the preferred orientation of potassium feldspar megacrystals points out to an emplacement and crystallization controlled by the Malpica-Lamego shear zone.

The AMS ellipsoid in all the granite facies is oblate, reflecting the lamellar habit of the biotite, which is the main mineral responsible for the magnetic signal. The magnetic anisotropy obtained for the three facies agrees with the values found in other late to post tectonic variscan granites.

The study of the joints has shown that the main family is N040°E-N060°E trending, coinciding with the preferred orientations of the mineralized veins.

# Índice

Agradecimentos	iv
Resumo	vii
Abstract	ix
Índice	xi
Índice de figuras	xiv
Índice de Tabelas	xxi
INTRODUÇÃO E OBJETIVOS	1
I.1. Introdução	2
I.2. Objetivos	3
GEOLOGIA	4
II.1. Introdução	5
II.2. Orogenia Varisca	8
II.2.1. Primeira fase de deformação (F <sub>1</sub> )	10
II.2.2. Segunda fase de deformação (F <sub>2</sub> )	11
II.2.3. Terceira fase de deformação (F <sub>3</sub> )	12
II.2.4. Fases tardias (F <sub>n</sub> )	14
FT <sub>a</sub>	14
FT <sub>b</sub>	15
FT <sub>c</sub>	15
II.3. Rochas graníticas	17
II.3.1. Mineralogia, petrologia e geoquímica das rochas graníticas	17
II.3.2. Enquadramento geodinâmico dos granitóides portugueses	20
II.3.3. Geocronologia das rochas graníticas	22
II.3.4. Classificação das rochas graníticas	24
MINERALIZAÇÕES FILONIANAS NO NORTE DE PORTUGAL	26
III.1. Introdução	27
III 2 Génese das mineralizações filonianas	30

III.3. Paragénese mineral presente nas estruturas filonianas mineralizadas em ou	
ENQUADRAMENTO DA ÁREA DE GODINHAÇOS	36
IV.1. Enquadramento geográfico e geomorfológico	37
IV.2. Enquadramento geotectónico	41
IV.3. Geologia regional e local	42
IV.3.1. Geologia Regional	43
IV.3.1.1. Estratigrafia	43
IV.3.1.2. Rochas graníticas	46
II.3.1.3. Filões e massas	47
IV.3.2. Geologia Local	48
II. 3.2.1. Moderno	48
II.3.2.2. Rochas graníticas	48
IV.3.2.3. Rochas filonianas	50
ESTUDO DA ÁREA DE GODINHAÇOS	52
V.1. Introdução	53
V.2. Levantamento geológico	53
V.2.1. Metodologia	53
V.2.2. Resultados	55
V.3. Estudo petrofísico	58
Introdução	58
Conceitos teóricos	58
Aplicações	62
V.3.1. Amostragem	63
V.3.2. Preparação das amostras	68
V.3.2.1. Metodologia	68
V.3.3. Anisotropia de suscetibilidade magnética (ASM)	71
V.3.3.1. Metodologia	72
V.3.3.2. Resultados	82

V.3.4. Suscetibilidade magnética	91
V.3.4.1. Metodologia	91
V.3.4.2. Resultados	95
V.4. Estudo petrográfico	99
V.4.1. Metodologia	99
V.4.1.1. Petrogafia	99
V.4.2. Resultados	100
V.4.2.1. Granito de S. Mamede (γ"3d)	101
V.4.2.2. Granito de "Duas Igrejas" (γ" <sub>3d</sub> )	107
V.4.2.3. Granito de Vila Verde (γ'3)	110
DISCUSSÃO DOS RESULTADOS	115
VI.1. Discussão dos resultados obtidos	116
VI.1.1. Estudo estatístico do diaclasamento	116
VI.1.2. Anisotropia da Suscetibilidade Magnética	116
VI.1.2.1. Lineações e foliações Magnéticas	116
VI.1.2.2. Forma do elipsóide e Anisotropia Magnética	118
VI.1.3. Suscetibilidade Magnética	121
VI.2. Conclusões	122
REFERÊNCIAS BIBLIOGRÁFICAS	124
WEBGRAFIA	133
ANEYOS	13/

# Índice de figuras

# CAPÍTULO II - Geologia

# II.2. Orogenia Varisca

Figura II.2. 1. Modelo de flack tectonics model. Adapt. Pereira et al., 19939
Figura II.2. 2. Mapa simplificado dos terrenos tectonoestratigráficos do NO da
Península Ibérica. Os terrenos alóctones representados pelos domínios Bragança e
Morais e pelo domínio Centro transmontano, os terrenos parautóctones representados
pelo domínio Peritransmontano e os terrenos autóctones representados pelo domínio
do Douro Inferior (Ribeiro, 1974). Adapt. Llana-Funez & Marcos (2000)10
Figura II.2. 3. A: Mapa geotectónico simplificado com a localização das Serras do
Marão, Valongo e Buçaco; ZCTBC- Zona de Cisalhamento Tomar-Badajoz-Córdova.
Adapt. Ribeiro et al., 1980. B: Esquema simplificado de uma estrutura em flor ("flower
structure"). Adapt. Basto dos Santos et al. (2009)11
Figura II.2. 4. Esquema simplificado das dobras típicas da segunda fase de
deformação Varisca (F <sub>2</sub> ). Adapt. Ribeiro et al. (1983)
Figura II.2. 5. Virgação das estruturas Variscas no NO Penínsular. LA- Laurentia; GW-
Gondwana; BA- Báltica. Adapt. Ribeiro et al., 1980
Figura II.2. 6. Esquema representativo das fases de deformação Varisca no setor NE
de Portugal. Adapt. Dias (1994)13
Figura II.2. 7. Esquema simplificado da compressão N-S geradora de sistemas de
falhas conjugados na fase de deformação tardi-Varisca (FTa)14
Figura II.2. 8. Esquema simplificado da compressão NW-SE geradora de sistemas de
falhas conjugados na fase de deformação tardi-Varisca (FTb)
Figura II.2. 9. Principais desligamentos tardi-variscos com as respetivas direções de
movimentação. Adapt. Arthaud & Matte (1975)16
II.3. Rochas graníticas
Figure II 2 1 Depresentaçõe dos compos limitantes dos principais rechas pluténiases
Figura II.3. 1. Representação dos campos limitantes das principais rochas plutónicas em diagrama triangular baseado na minoralegia determinada a partir do apólica modal.
em diagrama triangular baseado na mineralogia determinada a partir de análise modal (retirado de https://oyadevblog.files.wordpress.com/2011/04/720px-
(retirado de https://oyadevblog.files.wordpress.com/2011/04/720px-streckeisen_for_intrusive_quartz_igneous_rocks-svg.png, consultado a 20.07.2015 às
sirecheiseri_ror_irirasive_quariz_igriecus_rochs-svg.prig, consultado a 20.07.2013 as

evidentidade com am quadrac	lo azul apresenta-se o tipo de granitos presentes na ZCI
(s.l.) designado por Hercynoty	pe. Adapt. Pitcher (1987)21
Figura II.3. 3. Classificação do	os granitóides tendo e conta o seu contexto geotectónico;
neste quadro os granitóides	s do tipo <i>Hercynotype</i> estão representados como os
granitóides do tipo Continenta	of Collision. Adapt. Pitcher (1997)21
Figura II.3. 4. Relação entre	as fases de deformação e a idade das rochas graníticas
da ZCI. Adapt. Pinto et al. (19	87)23
Figura II.3. 5. Distribuição dos	granitóides sin- a pós-tectónicos na Zona Centro Ibérica
relativamente à fase F <sub>3</sub> da oro	genia Varisca. Adapt. Ferreira (1987)25
CAPÍTULO III – Mii	neralizações filonianas no Norte de Portugal
	III.1. Introdução
Figura III.1. 1. Distribuição d	as principais ocorrências de ouro (Au), estanho (Sn) e
tungsténio (W) no NO da Pen	ínsula Ibérica. <i>Adapt</i> . Sant'Ovaia <i>et al.</i> (2013)28
Figura III.1. 2. Diagrama de f	requências das orientações das estruturas mineralizadas
no NO de Portugal. A fami	ília N100ºE-N130ºE não se encontra representada no
diagrama. Adapt. Noronha & I	Ramos (1993)29
III 2 Gór	ese das mineralizações filonianas
III.Z. Gei	lese das illineralizações illotharias
	ão dos sistemas mineralizantes na ZCI (s.l.) e a sua
Figura III.2. 1. (A) Distribuiç	•
Figura III.2. 1. (A) Distribuiç relação espacial com os gra	ão dos sistemas mineralizantes na ZCI (s.l.) e a sua
Figura III.2. 1. (A) Distribuiç relação espacial com os gra espacial com os granitóides ta	ão dos sistemas mineralizantes na ZCI (s.l.) e a sua nitóides e zonas de cisalhamento sin-D <sub>3</sub> (A) e relação
Figura III.2. 1. (A) Distribuiç relação espacial com os granitóides ta Adapt. Mateus & Noronha (20	ão dos sistemas mineralizantes na ZCI (s.l.) e a sua nitóides e zonas de cisalhamento sin-D <sub>3</sub> (A) e relação ardi- a pós-D <sub>3</sub> e zonas de cisalhamento tardi-variscos (B).
Figura III.2. 1. (A) Distribuiç relação espacial com os granitóides ta Adapt. Mateus & Noronha (20 CAPÍTULO IV -	ão dos sistemas mineralizantes na ZCI (s.l.) e a sua nitóides e zonas de cisalhamento sin-D <sub>3</sub> (A) e relação ardi- a pós-D <sub>3</sub> e zonas de cisalhamento tardi-variscos (B).
Figura III.2. 1. (A) Distribuiç relação espacial com os granitóides ta Adapt. Mateus & Noronha (20 CAPÍTULO IV -	ão dos sistemas mineralizantes na ZCI ( <i>s.l.</i> ) e a sua nitóides e zonas de cisalhamento sin-D <sub>3</sub> (A) e relação ardi- a pós-D <sub>3</sub> e zonas de cisalhamento tardi-variscos (B).  10)
Figura III.2. 1. (A) Distribuiç relação espacial com os granitóides ta Adapt. Mateus & Noronha (20 CAPÍTULO IV - IV.1. Enquado Figura IV.1. 1. Mapa da esqu	ão dos sistemas mineralizantes na ZCI ( <i>s.l.</i> ) e a sua initóides e zonas de cisalhamento sin-D <sub>3</sub> (A) e relação ardi- a pós-D <sub>3</sub> e zonas de cisalhamento tardi-variscos (B).  10)
Figura III.2. 1. (A) Distribuiç relação espacial com os granitóides ta Adapt. Mateus & Noronha (20 CAPÍTULO IV - IV.1. Enquado Figura IV.1. 1. Mapa da esqu	ão dos sistemas mineralizantes na ZCI (s.l.) e a sua nitóides e zonas de cisalhamento sin-D <sub>3</sub> (A) e relação ardi- a pós-D <sub>3</sub> e zonas de cisalhamento tardi-variscos (B).  10)
Figura III.2. 1. (A) Distribuiç relação espacial com os granitóides ta Adapt. Mateus & Noronha (20 CAPÍTULO IV - IV.1. Enquado Figura IV.1. 1. Mapa da esqua Google Maps. Mapa da direita Consórcio Mini	ão dos sistemas mineralizantes na ZCI (s.l.) e a sua nitóides e zonas de cisalhamento sin-D <sub>3</sub> (A) e relação ardi- a pós-D <sub>3</sub> e zonas de cisalhamento tardi-variscos (B).  10)
Figura III.2. 1. (A) Distribuiç relação espacial com os granitóides ta Adapt. Mateus & Noronha (20 CAPÍTULO IV - IV.1. Enquado Figura IV.1. 1. Mapa da esqua Google Maps. Mapa da direita Consórcio Minimal http://geoportal.lneg.pt/geoportal.	ão dos sistemas mineralizantes na ZCI (s.l.) e a sua nitóides e zonas de cisalhamento sin-D <sub>3</sub> (A) e relação ardi- a pós-D <sub>3</sub> e zonas de cisalhamento tardi-variscos (B).  10)
Figura III.2. 1. (A) Distribuiç relação espacial com os granitóides ta Adapt. Mateus & Noronha (20 CAPÍTULO IV – IV.1. Enquado Figura IV.1. 1. Mapa da esqua Google Maps. Mapa da direita Consórcio Minimattp://geoportal.lneg.pt/geoportigura IV.1. 2. Local onde se	ão dos sistemas mineralizantes na ZCI (s.l.) e a sua nitóides e zonas de cisalhamento sin-D <sub>3</sub> (A) e relação ardi- a pós-D <sub>3</sub> e zonas de cisalhamento tardi-variscos (B).  10)
Figura III.2. 1. (A) Distribuiç relação espacial com os granitóides ta Adapt. Mateus & Noronha (20)  CAPÍTULO IV -  IV.1. Enquado Figura IV.1. 1. Mapa da esqua Google Maps. Mapa da direita Consórcio  Minimal Mateus & Noronha (20)  Figura IV.1. 2. Local onde se LNEG (2015) (http://geoportal. Figura IV.1. 3. Perfis longitudio	ão dos sistemas mineralizantes na ZCI (s.l.) e a sua initóides e zonas de cisalhamento sin-D <sub>3</sub> (A) e relação ardi- a pós-D <sub>3</sub> e zonas de cisalhamento tardi-variscos (B).  10)
Figura III.2. 1. (A) Distribuiç relação espacial com os granitóides ta Adapt. Mateus & Noronha (20)  CAPÍTULO IV -  IV.1. Enquado Figura IV.1. 1. Mapa da esqua Google Maps. Mapa da direita Consórcio  Minimal Mateus & Noronha (20)  Figura IV.1. 2. Local onde se LNEG (2015) (http://geoportal. Figura IV.1. 3. Perfis longitudio	ão dos sistemas mineralizantes na ZCI (s.l.) e a sua nitóides e zonas de cisalhamento sin-D <sub>3</sub> (A) e relação ardi- a pós-D <sub>3</sub> e zonas de cisalhamento tardi-variscos (B).  10)

Figura II.3. 2. Classificação dos granitóides com base no seu contexto geotectónico;

Figura IV.1. 4. Bacias hidrográficas, principais rios e seus afluentes, no NO de Portugal
(nucleoap.blogspot.com)40
IV.2. Enquadramento geotectónico
Figura IV.2. 1. Zonamento geotectónico do Maciço Hespérico. (1) Zona Cantábrica (ZC); (2) Zona Astúrico-Leonesa (ZAL); (3) Zona Galiza Trás-os-Montes (ZGTM); (4) Zona Centro Ibérica (ZCI); (5) Zona de Ossa Morena (ZOM); (6) Zona Sul Portuguesa (ZSP); ZCPT: Zona de cisalhamento Porto-Tomar; ZCTBC: Zona de cisalhamento Tomar-Badajoz-Córdova; ZCTFA: Zona de Cisalhamento Tomar-Ferreira do Alentejo. <i>Adapt.</i> Ribeiro <i>et al.</i> , 2009
IV.3. Geologia regional e local
Figura IV.3. 1. Localização da área em estudo nos mapas cartográficos existentes. a) Divisão cartográfica de Portugal, na escala 1/500.000 (www.lneg.pt/servicos/215); b) Divisão cartográfica de Portugal na escala 1/200.000 (www.lneg.pt/servicos/142); c) Divisão cartográfica de Portugal na escala 1/50.000 (www.lneg.pt/servicos/139) 42 Figura IV.3. 2. Mapa geológico da área de Godinhaços
CAPÍTULO V – Estudo da área de Godinhaços
V.2. Levantamento geológico
Figura V.2. 1. Estereograma representativo da distribuição das zonas de isodensidades de pólos
V.3. Estudo petrofísico
Figura V.3. 1. Orientação dos filões de quartzo mineralizados em ouro (Au) no Norte de Portugal. <i>Adapt.</i> Cottard (1982)

Figura V.3. 3. Modelos de elipsóides de anisotropia de suscetibilidade magnética.
Adapt. Gomes & Sant'Ovaia (2015)
Figura V.3. 4. Suscetibilidade magnética (K); magnetização (M) em função do campo
magnético externo induzido (H); Ms: magnetização de saturação, Mr: magnetização
remanescente. Adapt. Bouchez (1997)60
Figura V.3. 5. Relação entre a suscetibilidade magnética (K, SI) e a percentagem de
ferro expresso em percentagem em peso (wt%). Adapt. Parés (2015)61
Figura V.3. 6. Relação entre a suscetibilidade magnética média (Km) e as séries
graníticas propostas por Ishihara (1977)62
Figura V.3. 7. Material utilizado para a amostragem elaborada na área em estudo; A:
Bomba de água para refrigeração da sonda mecânica; B: Sonda mecânica com broca
de ponta diamantada; C: Ferramentas utilizadas para a manutenção da sonda; D:
Combustível; E: Água para refrigerar a sonda mecânica
Figura V.3. 8. Carote cortado pela sonda mecânica com a marcação do plano vertical
e da superfície voltada para o exterior
Figura V.3. 9. Medição da atitude do furo no local de amostragem
Figura V.3. 10. Mapa geológico com a localização dos locais amostrados para o
estudo de ASM e de suscetibilidade magnética na área de Godinhaços (legenda
adaptada da Folha 1 da Carta Geológica de Portugal à escala 1/500.000)67
Figura V.3. 11. A: Aparelho de corte das amostras (Baldor.Reliancer industrial motor
VL3501-50); B: Fixador do carote para posterior corte, com dimensões standard (2,5
cm de diâmetro e 2 cm de comprimento); C: Serra elétrica instalada no interior do
aparelho de corte. Equipamento disponibilizado no Laboratório de Geologia do
DGAOT (FCUP)69
Figura V.3. 12. Paquímetro (Mitutoyo) usada para a medição do comprimento e
diâmetro de cada cilindro (DGAOT, FCUP)73
Figura V.3. 13. Material necessário para a marcação das linhas indicadoras76
Figura V.3. 14. Equipamento de medição da ASM. A: local onde a amostra é sujeita a
um campo magnético (H); B: amostrador (vista de cima); C: fonte de alimentação do
aparelho de medição de ASM, Kappabridge KLY-4S do Departamento de Geologia,
FCUP77
Figura V.3. 15. Inserção do volume do cilindro em estudo na base de dados do
programa <i>Sufar.</i> 78
Figura V.3. 16. Esquema representativo das 15 posições de medição. Adapt.
Pamplona (2001)
Figura V.3. 17. Posições do cilindro em estudo. A: posição 1; B: posição 2; C: posição
3

Figura V.3. 18. Relação entre o campo magnético induzido (H) e a posição do cilindro
no amostrador79
Figura V.3. 19. Comandos necessários para a realização das medições de ASM, nas
três posições obrigatórias80
Figura V.3. 20. Inserção de dados na base de dados do <i>Sufar</i> , no caso relativas ao
cilindro GD37A80
Figura V.3. 21. Ficheiro com extensão .ran com o reporting dos dados obtidos nos
estudos de ASM81
Figura V.3. 22. Representação dos dados no programa Anisoft42 no caso da amostra
recolhida em SM15 (rede estereográfica de igual área)82
Figura V.3. 23. Mapa geológico com a representação dos estereogramas pertencentes
a cada ponto amostrado na área de Godinhaços83
Figura V.3. 24. Mapa das lineações magnéticas obtidas a partir de estudos de ASM. 85
Figura V.3. 25. Mapa das foliações magnéticas obtidas a partir de estudos de ASM. 86
Figura V.3. 26. Parâmetro T, forma do elipsóide. A: Elipsóide achatado (oblate); B:
Elipsóide constrito ( <i>prolate</i> ) ( <i>www.pballew.net/arithm</i> e9. <i>html</i> )
Figura V.3. 27. Distribuição do parâmetro T na área de Godinhaços88
Figura V.3. 28. Distribuição do parâmetro P na área de Godinhaços90
Figura V.3. 29. Suscetibilímetro portátil (KT-10) pertencente ao DGAOT, FCUP91
Figura V.3. 30. Zonalidade da suscetibilidade magnética, K (10 <sup>-6</sup> SI) à escala regional.
95
Figura V.3. 31. Zonalidade da suscetibilidade magnética, K (10-6 SI) medidas no
contato entre os granitos S. Mamede e Vila Verde
Figura V.3. 32. Suscetibilidade magnética, K(10 <sup>-6</sup> SI) medida nas cortas (SM21)98
V.4. Estudo petrográfico
Figura V.4. 2. Microscópio LEICA DMLSP utilizado para os estudos de petrografia
elaborados no DGAOT (FCUP)100
Figura V.4. 3. Granido de S. Mamede ilustrado a várias escalas. A: cilindro de granito
do qual se obteve a lâmina delgada para o estudo petrográfico (B); C: imagem
microscópica em nicóis cruzados (GD6, GD2, GD16)101
Figura V.4. 4. Deformação evidenciada nos grãos de quartzo (NX) do Granito de S.
Mamede. A: Presença de bordos suturados (A), fraturas (B) e subgranulação (C); B:
Evidência extinção ondulante 104
Figura V.4. 5. Feldspatos com evidencia de alteração hidrotermal presentes nas
lâminas pertencentes ao Granito de S. Mamede. A: Feldspato potássico, microclina,
sericitizada (A); B: Plagiocase sericitizada (A)104

Figura V.4. 6. Zircão evidenciado no Granito de S. Mamede (fotografia lado esquerdo e
N//, fotografia lado direito NX)105
Figura V.4. 7. Modo de ocorrência das biotites no Granito de S. Mamede (N//). A
Biotite; B: Substituição da biotite pela clorite; C: Substituição da biotite pela moscovite
secundária105
Figura V.4. 8. Andaluzite (fotografia esquerda N//, fotografia direita NX), à mesma
escala106
Figura V.4. 9. Modo de ocorrência da sericite no granito de S. Mamede (NX) 106
Figura V.4. 10. Granito de S. Mamede (γ"3d), amostra "Duas Igrejas". A: Lâmina
delgada para o estudo petrográfico; B: imagem em nicóis cruzados da lâmina "Duas
Igrejas"107
Figura V.4. 11. Modo de ocorrência do quartzo na lâmina "Duas Igrejas" (NX). A
Extinção ondulante insipiente (retângulo A) e fraturação do quartzo (retângulo B) que
tal com a subgranulação dos grãos de quartzo (retângulo C, figura B)108
Figura V.4. 12. Modo de ocorrência dos feldspatos na lâmina "Duas Igrejas" (NX). A
Plagioclase com macla polissintética evidente, rodeada por clorite; B: Microclina com
macla em xadrez bem conservada108
Figura V.4. 13. Ocorrência da moscovite na lâmina de "Duas Igrejas" (NX)109
Figura V.4. 14. Modo de ocorrência da clorite na lâmina de "Duas Igrejas" (N// à
esquerda e NX à direita)109
Figura V.4. 15. Evidência da presença de mineralização, ocorrência de pirite (N//) 110
Figura V.4. 16. Granito de Vila Verde ( $\gamma$ '3). A: Lâmina delgada para o estudo
petrográfico; B: imagem em nicóis cruzados da lâmina
Figura V.4. 17. Modo de ocorrência do quartzo no Granito de Vila Verde. A: Extinção
ondulante; B: Subgranulação dos grãos de quartzo e bordos suturados (C)112
Figura V.4. 18 Plagioclase com matriz polissintética (NX)112
Figura V.4. 19. Modo de ocorrência da moscovite na lâmina do Granito de Vila Verde
(NX). A: Agregado inequigranular de moscovite instalado aleatoriamente, em torno do
grão de quartzo; B, C: Cristalização de fiadas de moscovite segundo orientações
preferenciais113
Figura V.4. 20. Moscovites deformadas, encurvamento/dobramento dos planos de
clivagem (NX)
CAPÍTULO VI – Discussão dos Resultados
Figura VI.1. 1. Famílias de diaclases dominantes na área de Godinhaços. Adapt
Cottard (1982)116
Figura VI.1. 2. Estrutura sigmóide evidenciada pelas foliações magnéticas118

Figura VI.1. 3. Relação entre a forma do elipsóide (T) e a anisotropia magnética (	P).
	19
Figura VI.1. 4. Relação entre a anisotropia magnética (P) e a suscetibilida	de
magnética (K)1	20
Figura VI.1. 5. Relação entre a suscetibilidade magnética e a anisotropia magnétic	ca.
Classificação proposta para granitos do grupo ilmenite-type. Adapt. Sant'Ovaia	8
Noronha (2005)1	20

# Índice de Tabelas

# CAPÍTULO II – Geologia

# II.2. Orogenia Varisca

Tabela II.2. 1. Posição das diferentes fases de deformação Varisca. <i>Adapt.</i> Noronha <i>et al.</i> , 19819
II.3. Rochas graníticas
Tabela II.3. 1. Percentagens de elementos maiores expressos em óxidos caraterísticos de rochas graníticas (Raguin, 1958)
CAPÍTULO III – Mineralizações filonianas do Norte de Portugal
III.3. Paragénese mineral presente nas estruturas filonianas mineralizadas em ouro
Tabela III.3. 1. Paragéneses minerais de algumas jazidas portuguesas. Adapt.  Noronha & Ramos (1993). *V-vestigios; **X-pouco abundante; ***X- abundante;****XXX-muito abundante
IV.3. Geologia regional e local
Tabela IV.3. 1. Organização dos terrenos correspondentes ao setor entre Douro e Minho. <i>Adapt</i> . Cabral <i>et al.</i> (1992)
CAPÍTULO V – Estudo da área de Godinhaços
V.2. Levantamento geológico
Tabela V.2. 1. Atitude de alguns planos de diaclasamento presentes nas litologias instaladas na área de Godinhaços

# V.3. Estudo petrofísico

Tabela V.3. 1. Orientação dos furos de amostragem onde foram retirados os carotes
para o estudo de ASM; S.O.: amostras sem orientação64
Tabela V.3. 2. Identificação das amostras após corte dos carotes no laboratório do
DGAOT70
Tabela V.3. 3. Volumes medidos em laboratório para cada cilindro (DGAOT, FCUP). 73
Tabela V.3. 4. Valores de suscetibilidade magnética obtidos a partir dos estudos de
ASM82
Tabela V.3. 5. Atitudes das lineações e foliações magnéticas
Tabela V.3. 6. Dados relativos ao parâmetro T, forma do elipsóide, para as amostras
estudadas87
Tabela V.3. 7. Dados relativos ao parâmetro P, anisotropia magnética, para as
amostras estudadas
Tabela V.3. 8. Dados de suscetibilidade magnética medidos em afloramento com
auxílio de um suscetibilímetro portátil (KT-10). n.a.: não amostrado92
Tabela V.3. 9. Código de cores94
Tabela V.3. 10. Suscetibilidade magnética, K ( $10^{-6}$ SI) medida no contacto entre o
granito de S. Mamede e o granito de Vila Verde (s.m. pontos sem recolha de amostra
para estudos de ASM)
V.4. Estudo petrográfico
Tabela V.4. 2. Dados relativos à mineralogia e alterações hidrotermais presentes nas
lâminas delgadas estudadas114

# INTRODUÇÃO E OBJETIVOS

Capítulo I

## I.1. Introdução

O presente trabalho surge pela necessidade de estudar uma área que, foi alvo de estudo da tese de doutoramento de Nogueira (1997), mas que na presente abordagem utiliza a anisotropia de suscetibilidade magnética como base dos estudos. Assim, a realização deste trabalho teve, como objetivos a identificação e caraterização de campo dos granitóides presentes na área em estudo (Godinhaços), com vista a tentar compreender o seu estado de alteração hidrotermal e de deformação varisca, o conhecimento das caraterísticas magnéticas de cada granitóide (s.l.), analisando a suscetibilidade magnética e a anisotropia de suscetibilidade magnética relacionando estes aspetos com as caraterísticas das mineralizações evidenciadas na área.

A seguir fazemos uma abordagem relativa ao modo de organização da dissertação e explicamos, sumariamente, os aspetos abordados em cada capítulo.

Os objetivos são abordados no ponto I.2. e, surgiram com o intuito de anunciar os pontos cruciais aos quais se pretende responder com os estudos elaborados nesta dissertação.

O capítulo II designado *Geologia* trata da contextualização da área de Godinhaços, abordando aspetos como: a orogenia Varisca na ZCI (*s.l.*) com as respetivas fases de deformação; as rochas graníticas instaladas no Noroeste português, numa perspetiva mineralógica, geoquímica, e de enquadramento geodinâmico dos granitóides (*s.l.*) na orogenia Varisca.

O capítulo III permite inserir um assunto crucial para a elaboração desta dissertação que são as Mineralizações filonianas presentes no N de Portugal, associadas a rochas graníticas, abordando a génese destas concentrações minerais.

No capítulo IV, Enquadramento da área de Godinhaços surge a descrição do contexto da área em estudo, abordando assuntos como: enquadramento geotectónico, geomorfológico e geotectónico e a geologia regional e local.

Numa tentativa de explicar da melhor forma possível, as metodologias, os materiais utilizados e os resultados obtidos neste trabalho surgiu o capítulo V o qual designamos por *Estudo da* área de *Godinhaços*.

No capítulo VI é apresentada a discussão dos resultados obtidos.

No capítulo VII encontram-se as referências bibliográficas usadas para a realização do trabalho.

# I.2. Objetivos

Com base nos estudos da ASM associada a estudos petrográficos, pretendemos estudar os processos de alteração nos granitos instalados na área de Godinhaços, dando especial importância ao granito de S. Mamede.

Assim os principais objetivos a que nos propusemos encontram-se referidos seguidamente:

- Mapeamento da área em estudo usando um suscetibilímetro portátil, com o intuito de se investigar eventuais variações nos valores de suscetibilidade magnética ao longo da área estudada e, relacionar estes dados com a presença de alterações hidrotermais a escala macroscópica;
- ii. Caraterização do granito em estudo através das suas caraterísticas magnéticas, recorrendo a estudos de ASM e, interpretação destes dados enquadrados pelas observações petrográficas;
- iii. Reconhecimento dos tipos de deformação registados pelos minerais, relacionando esta deformação com o momento de instalação do granito na orogenia Varisca;
- iv. Estudo petrográfico de lâminas delgadas dos granitos instalados na área em estudo, observando a paragénese mineral presente em cada lâmina;
- v. Identificar, se possível, as alterações hidrotermais provocadas pela circulação de fluidos mineralizados em ouro nas lâminas delgadas;.

# **GEOLOGIA**

CAPÍTULO II

## II.1. Introdução

Vários autores elaboraram estudos importantes, que de uma forma mais abrangente ou mais restrita foram cruciais para a realização do texto apresentado neste documento.

A **Orogenia Varisca** foi estudada por diversos autores, seguidamente apresentam-se alguns estudos importantes para a compreensão deste fenómeno:

Ribeiro (1974) baseado em critérios litoestratigráficos e tectónicos, definiu para a zona Galiza Média-Trás-os-Montes, dois domínios, que designou por Transmontano e Douro Inferior:

Matte & Ribeiro (1975) explicam como se desenvolve toda a estruturação do Maciço Hespérico relatando também como se desenvolve a colisão continental, que promove o desencadeamento das fases da Orogenia Varisca;

Arthaud & Matte (1975) apresentam trabalhos indicando os principais desligamentos tardi-variscos apontando o sentido de movimento de cada estrutura;

Julivert *et al.* (1975) subdividiu o Maciço Hespérico em seis zonas diferentes, tendo em conta os aspetos litológicos, metamórficos, estruturais e tectónicos; inserindo-se assim a área de Godinhaços na zona Galiza Média-Trás-os-Montes (ZGMTM);

Noronha et al. (1981) apresenta evidências da existência de três fases de deformação distintas para a Orogenia Varisca, que apresentam entre si uma continuidade à medida que percorremos os terrenos existentes na Península Ibérica; apresentam uma tentativa de correlação das diferentes fases de deformação dos diferentes autores para as diversas zonas paleogeográficas do Maciço Hespérico, tentando também posiciona-las na orogenia Varisca;

Ribeiro *et al.* (1983) apresentou um modelo adaptado do *flake tectonics model* para explicar as diferenças litológicas e estruturais existentes nas zonas Centro Ibérica (ZCI) e Galiza Média-Trás-os-Montes (ZGMTM);

Dias (1994) apresenta um esquema que resume os estilos tectónicos nas diferentes fases de deformação varisca.

As classificações das **rochas graníticas** implantadas durante a orogenia varisca baseiam-se nas classificações antigas propostas por Streckeisen (1976,1979).

Soen (1970) estudou a implantação dos granitos do Norte de Portugal relativamente às fases de deformação variscas, relacionando também, os sistemas de falhas e o metamorfismo associado a estes fenómenos intrusivos;

Schermerhorn (1956,1981) elaborou uma classificação para os granitos (*s.l.*) que consistia na divisão destas litologias em dois tipos principais: os *older granites* e

os younger granites, esta classificação foi uma das mais aceites para caraterizar os granitos instalados na ZCI (s.l.);

Pinto et al. (1987) apresentaram dados que relacionavam as fases de deformação varisca com as diferentes fases de cristalização de granitos;

Estudos efetuados por Pitcher (1987), permitiram classificar os granitos instalados no Noroeste Peninsular como *Hercynotype*.

Muitos outros têm sido realizados nos granitos do Noroeste da Península Ibérica, como exemplos disso podemos referir: Barrera *et al.* (1982), Almeida (1994), Almeida *et al.* (2002), Mendes & Dias (2003), Dias & Coke (2006), Dias *et al.* (2006), Martins *et al.* (2009), Martins *et al.* (2011), Sant'Ovaia *et al.* (2013), Martins & Abreu (2014), cujos estudos permitiram o avanço do conhecimento dos granitos do ponto de vista geoquímico, mineralógico, estrutural e em alguns casos petrofísico.

A **geocronologia** das rochas graníticas implementadas naquilo que se considera ser o soco varisco, tem sido um assunto muito debatido. De entre os métodos de datação absoluta que se conhecem, nos granitos do N de Portugal já foram datados segundo métodos de Rb-Sr, K-Ar e U-Pb, exemplos destes estudos são os trabalhos publicados por Fernández-Suárez *et al.* (2000), Ries (1979) e Priem (1984), respetivamente.

Noronha (1983) elaborou uma tese de doutoramento na qual apresentava tabelas de síntese das idades relativas de granitos instalados quer em Portugal quer na Espanha, usando a datação de U-Pb.

Ao longo dos tempos, têm sido feito esforços por vários autores para tentar classificar os granitos (s.l.) instalados na ZCI e relaciona-los com a orogenia Varisca.

Ferreira et al. (1987) propõem uma classificação para os granitos da ZCI (s.l.) que tem como base integrar os conhecimentos adquiridos até à data, esta classificação consistia em classificar os granitos quanto à fase de instalação na orogenia Varisca; Nogueira (1997) indica que o facto de um granito apresentar (ou não) fabric de deformação ou magmático determina a compatibilidade dessa rocha com uma determinada fase de deformação, este critério serviu de base para a classificação apresentada por estes autores;

Ishihara (1977) publicou um trabalho onde apresentava uma classificação para as rochas graníticas, dividindo este grupo de rochas em dois tipos: *magnetite-bearing* magnetite-series ou magnetite-type e os magnetite-free ilmenite-series ou ilmenite-type.

Relativamente, a estudos elaborados para a cartografia e geologia de Portugal e da região alvo de estudo podemos considerar:

Girão (1960) faz referência a estudos relacionados com a geomorfologia caraterística de Portugal, mais concretamente, neste caso em estudo, o N de Portugal;

Cândido de Medeiros *et al.* (1975), Cabral *et al.* (1992) e Oliveira *et al.* (1992) nas cartas geológicas de Portugal, Folha 5-B (Ponte da Barca) à escala 1/50.000, Folha 1 à escala 1/200.000 e Folha Norte à escala 1/500.000, respetivamente; efetuaram a cartografia geológica, estudos petrográficos, estudos geoquímicos e em alguns casos, fizeram referência a aspetos tectónicos;

J. Farinha (2002) elaborou um mapa de pormenor da área de Godinhaços à escala 1/2.500, onde apresentou resultados relativos a concentrações em Arsénio e Ouro em amostragem por "Roços em Canal" e por "Chip Samples".

## II.2. Orogenia Varisca

Desde há muito tempo, vários autores têm feito esforços numa tentativa de descrever nos vários setores do Noroeste Peninsular, a sucessão de fases de deformação que afeta estes terrenos presentes tentando estabelecer as relações de deformação e metamorfismo regional plurifacial. É possível correlacionar as diferentes fases de deformação seguindo lateralmente e tendo em conta as relações deformação-metamorfismo regional. Embora haja um consenso entre os diversos autores relativamente às estruturas geradas em cada fase de deformação, a datação destas fases é sempre ambígua; isto deve-se a dois fatores principais: o primeiro fator está relacionado com a insuficiência de dados que permitam datar um fenómeno deformacional caraterístico de determinada fase, e o segundo fator também importante está relacionado com a existência de um diacronismo das fases de deformação, ou seja, a migração de uma fase deformacional na região, que possa gerar o mesmo tipo de estruturas mas em períodos temporais diferentes (Nogueira, 1997).

Ribeiro (1974) definiu, para a subzona Galiza Média-Trás-os-Montes (GMTM), atualmente Zona Galiza Trás-os-Montes (ZGTM) dois domínios, que designou por Transmontano e Douro Inferior, subdividindo ainda o domínio Transmontano nos domínios Centro Transmontano e Peritransmontano, dispostos de uma forma concêntrica em torno dos Maciços de Bragança e Morais, sendo os limites marcados por unidades de cavalgamentos maiores.

Noronha *et al.* (1981) apresentam uma tentativa de correlação das diferentes fases de deformação propostas por diferentes autores para as diversas zonas paleogeográficas do Maciço Hespérico. A tabela II.2.1. representa o posicionamento das diferentes fases nas ZCI e ZGMTM.

Tabela II.2. 1. Posição das diferentes fases de deformação Varisca. Adapt. Noronha et al., 1981.

			Zona Centro Ibérica e Sub- zona Galiza Média-Trás-os- Montes
Pérmico			Fases
Carbónico	Carbónico Superior	Estefaniano	, 4333
		Vestefaliano	•
		Namuriano	<b>*</b>
	Carbónico Inferior		
Devónico	Devónico Superior		<b>1</b>
	Devónico Médio		•

Ribeiro *et al.* (1983) apresentam um modelo adaptado do *flack tectonics model* para explicar como se apresenta a orogenia Varisca na Península Ibérica (figura II.2.1.).

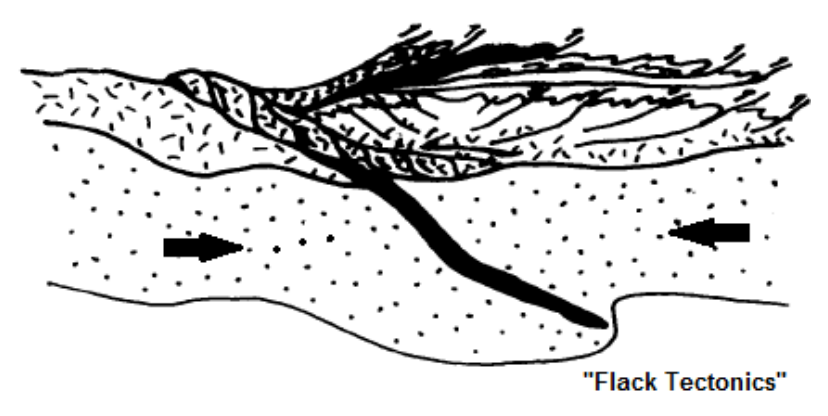


Figura II.2. 1. Modelo de flack tectonics model. Adapt. Pereira et al., 1993.

Com este modelo tenta-se explicar as diferenças litológicas e estruturais existentes entre as zonas Centro Ibérica (ZCI) e Galiza Média-Trás-os-Montes (ZGMTM), através da subducção e obducção da crusta oceânica e obducção da crusta continental. É a obducção da crosta oceânica que evidencia os terrenos alóctones, constituídos pelos maciços de Morais e Bragança e, pelo domínio Centro Transmontano. Neste modelo, parte do continente sob o qual está a ocorrer a subducção foi "arrancado" e transportado, formando os terrenos parautóctones do

domínio Peritransmontano. O domínio do Douro Inferior corresponde aos terrenos autóctones (figura II.2.2.).

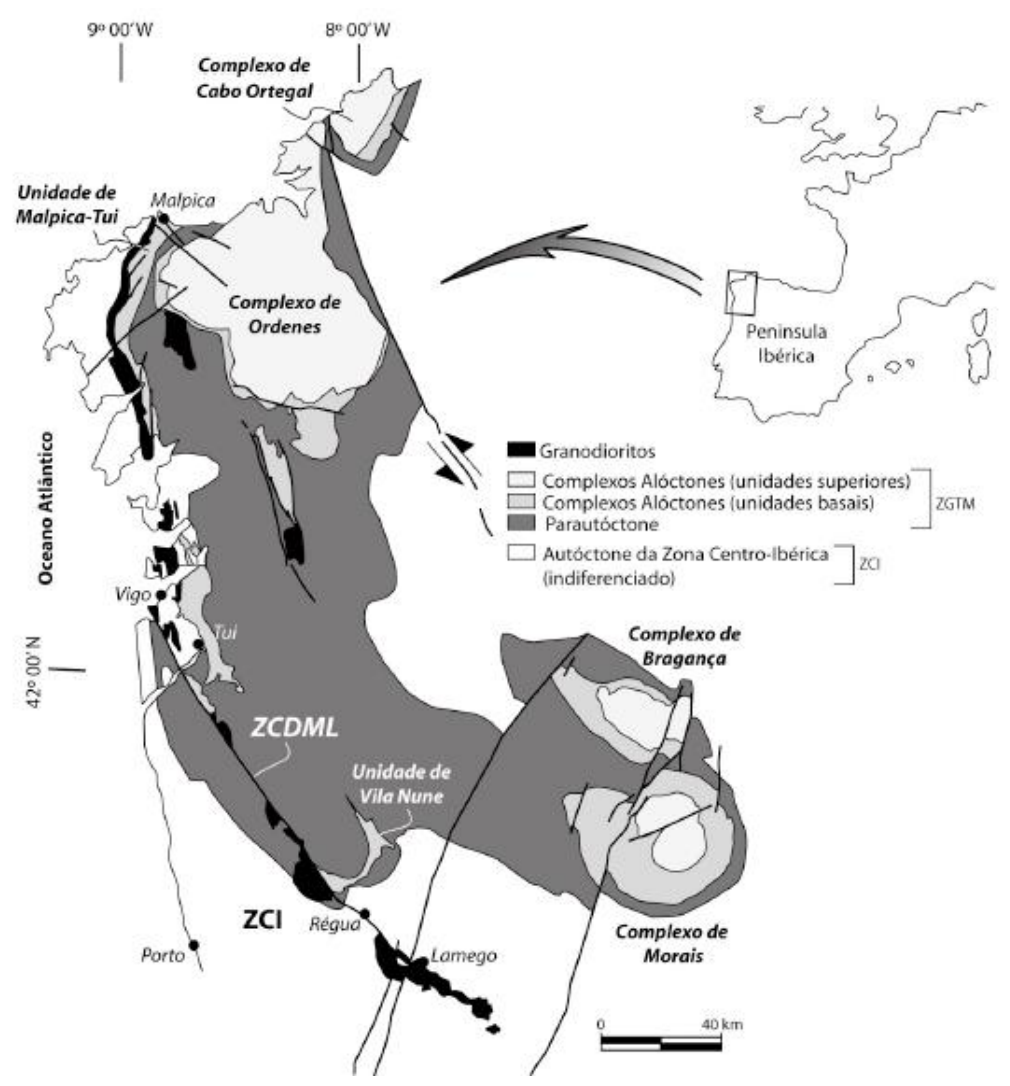


Figura II.2. 2. Mapa simplificado dos terrenos tectonoestratigráficos do NO da Península Ibérica. Os terrenos alóctones representados pelos domínios Bragança e Morais e pelo domínio Centro transmontano, os terrenos parautóctones representados pelo domínio Peritransmontano e os terrenos autóctones representados pelo domínio do Douro Inferior (Ribeiro, 1974). *Adapt.* Llana-Funez & Marcos (2000).

# II.2.1. Primeira fase de deformação (F<sub>1</sub>)

A primeira fase de deformação está registada em todos os terrenos, mas expressa-se de forma diferente consoante a nossa localização no terreno (autóctone, alóctone e parautóctone).

Esta fase foi responsável pela formação de dobras subverticais de grande amplitude e com uma foliação de plano axial, geralmente bem marcada. Em Portugal, podemos citar como exemplo, três estruturas deste tipo: o anticlinal de Valongo, o

anticlinal do Marão e o sinclinal do Buçaco. Estas dobras apresentam, geralmente, uma direção NO-SE (ainda que possam variar de NNO-SSE na região de Viana do Castelo até E-O na região de Moncorvo), com eixos sub-horizontais ou, ligeiramente, mergulhantes para NO. A atitude dos planos axiais das dobras podem variar, inclinando quer para NE que para SO, evidenciando uma estruturação em flor (*flower structure*) (figura II.2.3.).

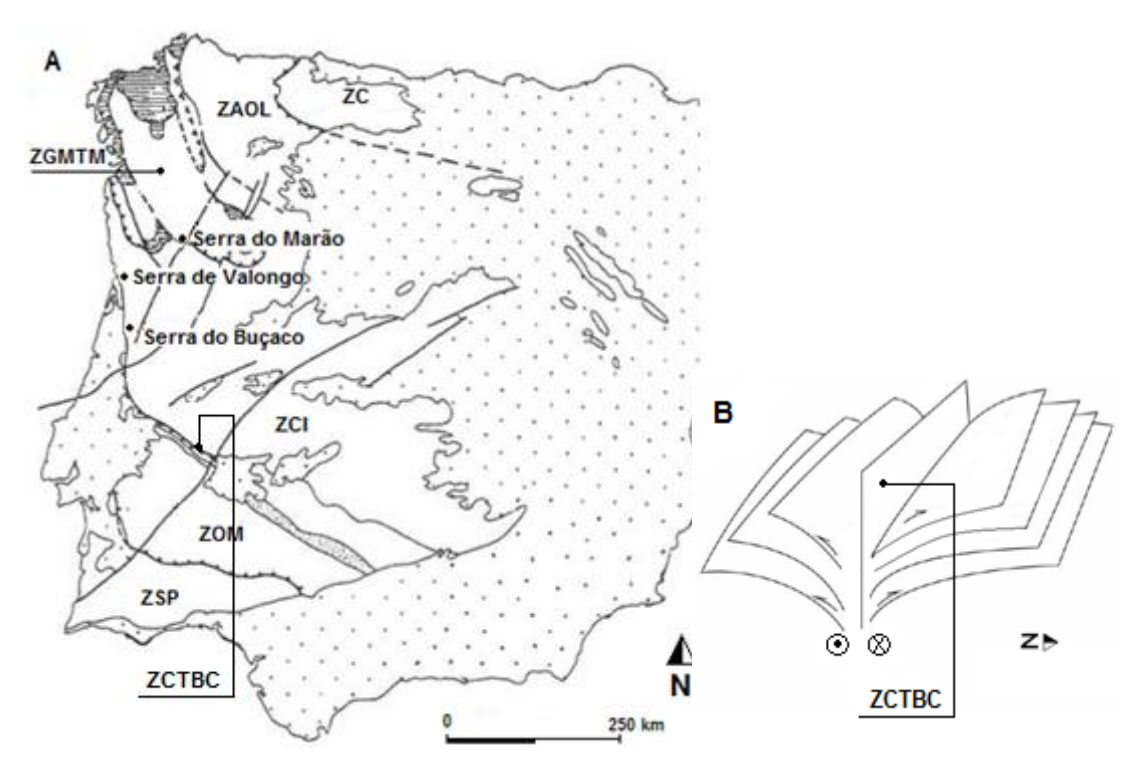


Figura II.2. 3. A: Mapa geotectónico simplificado com a localização das Serras do Marão, Valongo e Buçaco; ZCTBC- Zona de Cisalhamento Tomar-Badajoz-Córdova. *Adapt.* Ribeiro *et al.*, 1980. B: Esquema simplificado de uma estrutura em flor *("flower structure")*. *Adapt.* Basto dos Santos *et al.* (2009).

## II.2.2. Segunda fase de deformação (F<sub>2</sub>)

A segunda fase de deformação ao contrário da primeira fase da orogenia Varisca, apenas está bem representada nas proximidades dos mantos de carreamento, nos terrenos alóctones, sendo menos frequente nos terrenos parautóctones e autóctones. Esta fase é caraterizada pela presença de dobras deitadas (associadas aos mantos de carreamento) com vergência para Este (s.l.), indicando um transporte com direção O-E. Estas dobras são dissimétricas com eixo sub-horizontal, apresentando geralmente um flanco normal longo e um flanco inverso curto (figura II.2.4.). Foi durante esta fase de deformação que sucedeu a obducção / subducção segundo o modelo já apresentado, *flack tectonics model* (Ribeiro *et al.,* 1983).

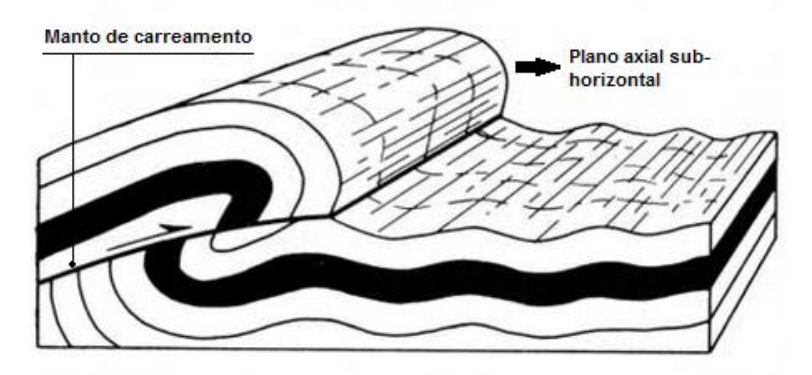


Figura II.2. 4. Esquema simplificado das dobras típicas da segunda fase de deformação Varisca (F<sub>2</sub>). *Adapt.* Ribeiro *et al.* (1983).

## II.2.3. Terceira fase de deformação (F<sub>3</sub>)

Nesta fase os mantos de carreamento associados aos processos de obducção/ subducção já se encontram instalados. A terceira fase de deformação afetou os três terrenos da Península Ibérica (autóctone, parautóctone e alóctone), as estruturas geradas são idênticas nos três terrenos (Ribeiro, 1974). A fase  $F_3$  é responsável pela implantação de dobramentos de direção geral NO-SE a NNO-SSE; estas dobras são caraterizadas pela presença de uma clivagem de crenulação e uma clivagem de fratura vertical, de direção NO-SE a NNO-SSE, relacionada com um campo de tensões com  $\sigma_1$  horizontal e de direção NE-SO.

Durante esta fase ocorre também a virgação das estruturas existentes (figura II.2.5.); na zona Centro de Portugal (Beira Interior) as direções tendem para ONO-ESE, na região Centro-Norte de Portugal tendem para NO-SE e finalmente no Noroeste de Portugal e na Galiza apresentam uma tendência de NNO-SSE. Esta virgação está relacionada com a estruturação do Maciço Hespérico e com a colisão continental (Matte & Ribeiro, 1975).

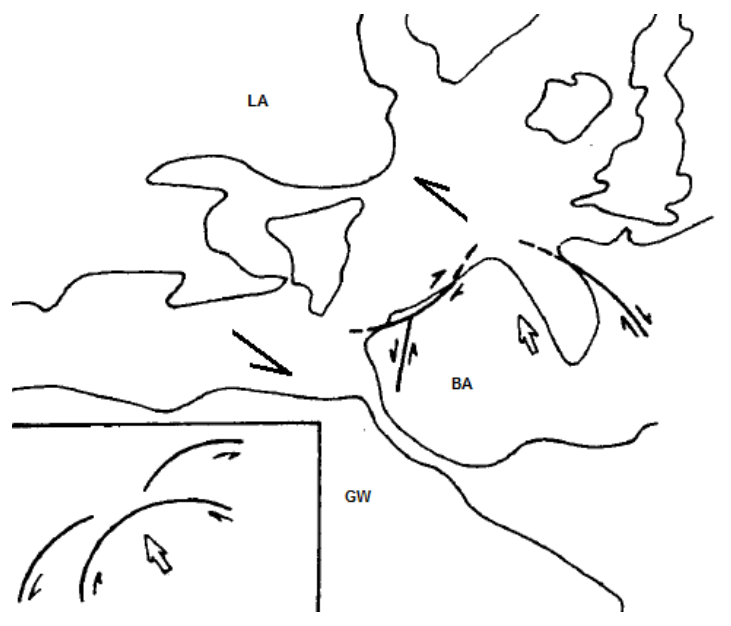


Figura II.2. 5. Virgação das estruturas Variscas no NO Penínsular. LA-Laurentia; GW- Gondwana; BA- Báltica. *Adapt.* Ribeiro *et al.*, 1980.

Dias (1994) apresenta um esquema que resume os estilos tectónicos nas diferentes fases de deformação Varisca nos diferentes terrenos (figura II.2.6.).

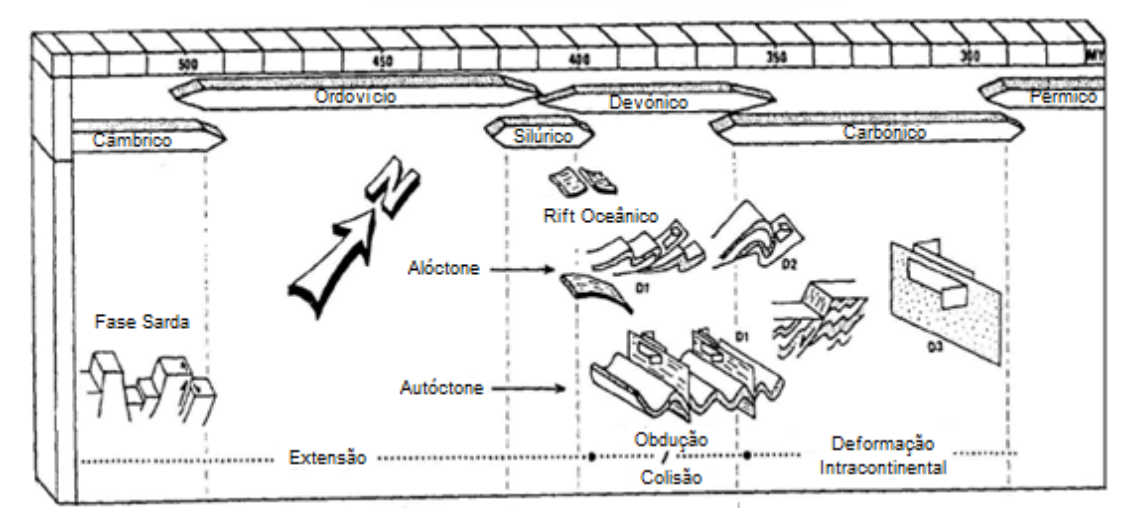


Figura II.2. 6. Esquema representativo das fases de deformação Varisca no setor NE de Portugal. Adapt. Dias (1994).

## II.2.4. Fases tardias (F<sub>n</sub>)

Estas fases de deformação mais tardias atuam, essencialmente, em níveis estruturais superiores aproveitando estruturas pré-existentes onde a deformação ocorre em regime dúctil-frágil a frágil. Após a terceira fase de deformação o elipsóide de tensões sofreu uma rotação de NE-SO para N-S, rodando depois progressivamente para E-O.

O estudo e a caraterização destas fases de deformação tardias comportam bastante interesse do ponto de vista metalogenético, pois controlam estruturas diretamente relacionadas com fenómenos mineralizantes principais (Schermerhorn, 1981).

As fases de deformação tardias são representadas por desligamentos com orientações diferentes consoante a direção do campo de tensões máximo atuante. Assim, durante as fases de deformação tardias podemos considerar três momentos de deformação distintos relacionados com as diferentes direções do campo de tensões máximo, que passaremos a descrever seguidamente:

FT<sub>a</sub>: Ribeiro *et al.* (1979) referem uma compressão N-S geradora de sistemas de falhas conjugados, um com direção NNE-SSO com movimentação esquerda e outro com direção NNO-SSE com movimentação direita (figura II.2.7.). O primeiro (NNE-SSO) apresenta-se, segundo estes autores, mais desenvolvido, devido ao carater rotacional da deformação desde F<sub>3</sub> até às fases tardias.

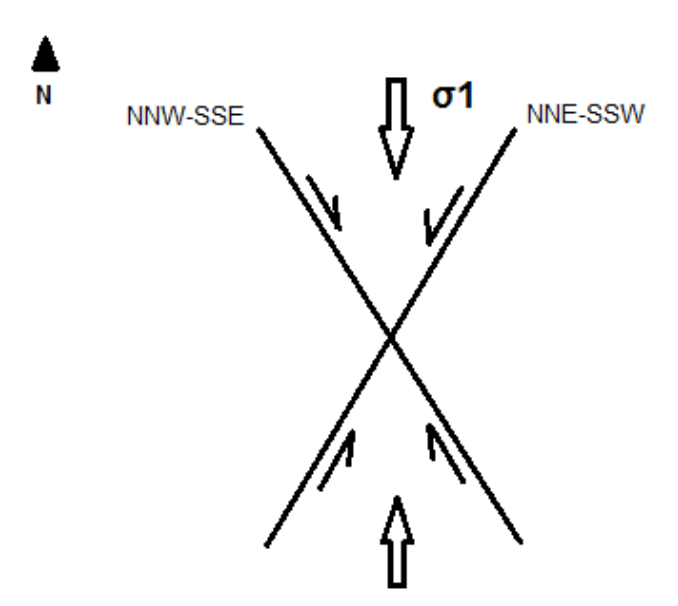


Figura II.2. 7. Esquema simplificado da compressão N-S geradora de sistemas de falhas conjugados na fase de deformação tardi-Varisca (FTa).

**FT**<sub>b</sub>: Através de um estudo efetuado na região de Celorico de Basto, Pereira (1987) referiu a existência de um campo de tensões máximo de orientação NO-SE responsável pela formação de desligamentos conjugados de direção OSO-ENE e NNE-SSO (sistema de falhas rejogadas da fase FT<sub>a</sub>) (figura II.2.8.).

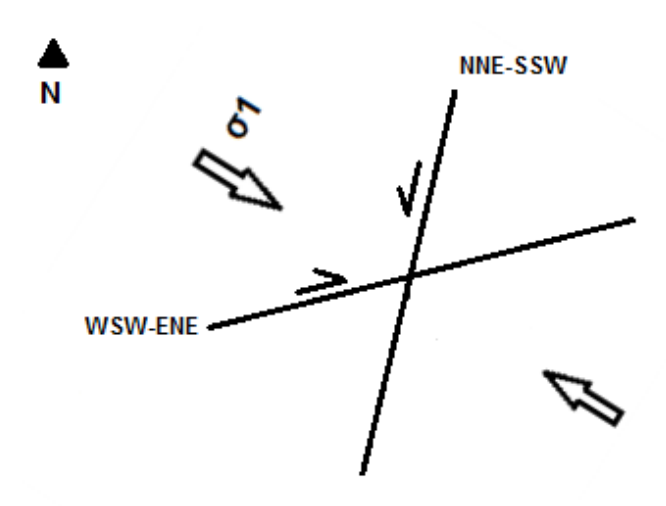


Figura II.2. 8. Esquema simplificado da compressão NW-SE geradora de sistemas de falhas conjugados na fase de deformação tardi-Varisca (FTb).

FT<sub>c</sub>: Esta fase tardia de deformação foi descrita por Ribeiro *et al.* (1979) como sendo uma fase em que o campo de tensões máximas tinha direção E-O. Esta fase encontra-se bem representada pela presença de cisalhamentos do tipo dúctil-frágil bastante penetrativos com direção N10°-30°E, bem representados nos maciços graníticos das Berlengas.

O estudo das estruturas desenvolvidas durante esta fase de deformação mostra que o campo de compressões máximas apresenta uma direção N-S (Ribeiro *et al.*, 1979). Porém estas fases de deformação mais tardias parecem apresentar uma continuidade temporal, apresentando uma rotação do campo de tensões de direção NO-SE (Pereira, 1987) e, posteriormente, uma rotação para uma compressão máxima de direção E-O responsável pela formação de cisalhamentos bastante penetrativos.

A figura II.2.9. mostra os desligamentos na península ibérica no final das fases de deformação tardias da orogenia Varisca.

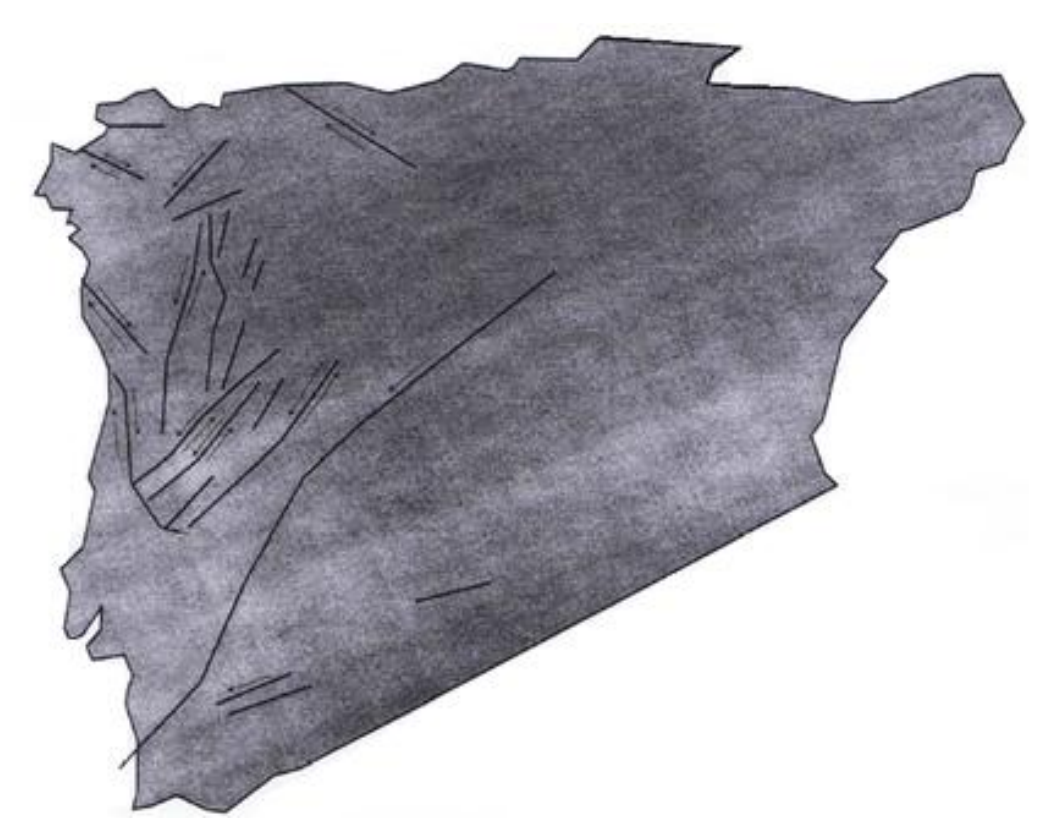


Figura II.2. 9. Principais desligamentos tardi-variscos com as respetivas direções de movimentação. Adapt. Arthaud & Matte (1975).

## II.3. Rochas graníticas

#### II.3.1. Mineralogia, petrologia e geoquímica das rochas graníticas

As séries metassedimentares no Noroeste da Península Ibérica encontram-se frequentemente intruídas por rochas graníticas. Estas rochas ocorrem em maciços, que correspondem, na sua maioria, a batólitos diferenciados com diversas fácies.

Os granitos têm sido estudados por vários autores e têm sido agrupados em diversa classificações. Estas classificações assentam, na sua maioria, em critérios passíveis de se visualizarem no campo de que são exemplo, a textura e a mineralogia da rocha; outros autores baseiam a sua classificação em estudos que têm como base o quimismo.

Após o estabelecimento do paradigma da tectónica de placas, os autores procuraram também esclarecer o enquadramento geodinâmico das geologias regionais e, nomeadamente, o posicionamento geotectónico dos maciços graníticos. Esta classificação baseia-se em todos os conhecimentos anteriormente conhecidos, posicionando as rochas graníticas cronologicamente na evolução dos orógenos de uma forma o mais abrangente possível.

Streckeisen (1976,1979) estabeleceu uma classificação para as rochas graníticas; esta classificação é baseada na análise modal e surge incluída na das rochas plutónicas. Assim, para as rochas com um índice de cor (M¹) menor que 90, projeta os valores modais de quartzo (Q), feldspatos alcalinos (feldspato potássico e albite) (A) e plagioclase (P), depois de recalculados para 100%, num diagrama triangular (figura II.3.1.). Neste diagrama as rochas graníticas (s.l.) situam-se no domínio correspondente a valores de Q compreendidos entre 20% e 60% e valores de P inferiores a 90%.

As análises petrográficas permitiram esclarecer quais as fases minerais presentes nas rochas graníticas; para além da presença dos minerais essenciais como o quartzo, os feldspatos alcalinos e as plagióclases os granitos possuem também minerais considerados acessórios como é o caso das micas (biotite e moscovite) e das anfíbolas. A existência de outros minerais acessórios é igualmente comum, tais como: clorite, zircão, apatite, sericite, esfena, rútilo, fluorite, cordierite, andaluzite, silimanite, monazite, ilmenite, magnetite, entre outros.

As rochas graníticas podem apresentar uma textura isotrópica ou anisotrópica (orientada). Esta última caraterística é diretamente influenciada pela forma como os

<sup>&</sup>lt;sup>1</sup> M é equivalente a 100- (A+Q+P+F) onde A: alcalis; Q: quartzo; P: série das plagióclases desde oligóclase à anortite; F: feldspatóides.

minerais se dispõem na rocha, se a disposição destes minerais apresentar uma orientação preferencial estamos na presença de uma rocha orientada, mas se a disposição dos minerais na rocha for aleatória estamos então perante uma rocha isotrópica. De entre os vários minerais que podem apresentar-se orientados são diversos os elementos de simetria cristalina que evidenciam essa orientação, entre os quais podemos referir: os planos basais das micas, faces do prisma do feldspato potássico, o eixo <c> do quartzo, entre outros. Esta caraterística conhecida como anisotropia magnetocristalina pode ser observada a várias escalas, macroscopicamente, manifesta-se sob a forma de uma estrutura planar (Bouchez, 1997). Esta anisotropia pode ser singenética, isto é, contemporânea da cristalização magmática ou epigenética se resultar de uma recristalização em geral associada a deformação.

Outra caraterística que devemos realçar é a presença de encraves no seio de rochas graníticas, a presença destas porções de rochas podem dar boas informações no que diz respeito à fonte do magma que cristalizou para formar determinada rocha granítica (Didier, 1987).

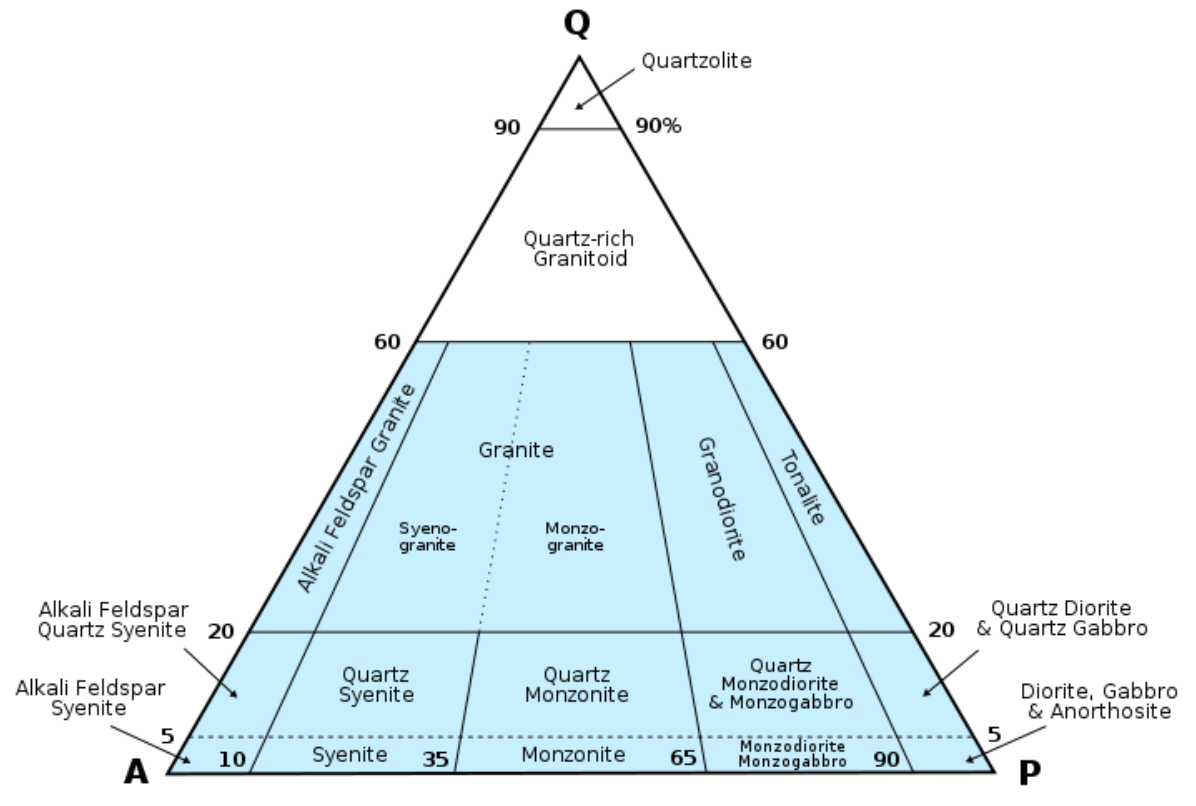


Figura II.3. 1. Representação dos campos limitantes das principais rochas plutónicas em diagrama triangular baseado na mineralogia determinada a partir de análise modal (retirado de <a href="https://oyadevblog.files.wordpress.com/2011/04/720px-streckeisen">https://oyadevblog.files.wordpress.com/2011/04/720px-streckeisen</a> for intrusive quartz igneous rocks-svg.png, consultado a 20.07.2015 às 17:14h). Os vértices representam: Q- quartzo; A- Alcalis (feldspatos alcalinos e albite); P-série das plagioclases desde oligóclase à anortite.

O quimismo das rochas graníticas é um tema que tem sido estudado com grande afinco, este avanço acarretou um contributo importante para o conhecimento dos fenómenos físico-químicos envolvidos nos processos crustais.

A análise de componentes, sob a forma de óxidos, permitiu determinar os componentes principais dos granitos; as principais fases minerais são então constituídas por componentes como: SiO<sub>2</sub>, Al<sub>2</sub>O<sub>3</sub>, Na<sub>2</sub>O, K<sub>2</sub>O, CaO, Fe<sub>2</sub>O<sub>3</sub>, MgO, P<sub>2</sub>O<sub>5</sub>, TiO<sub>2</sub>, MnO e H<sub>2</sub>O<sup>+</sup>.

Raguin (1958) a partir da análise de centenas de rochas graníticas, refere os seguintes valores como sendo caraterísticos de um granito (tabela II.3.1.).

Tabela II.3. 1. Percentagens de elementos maiores expressos em óxidos caraterísticos de rochas graníticas (Raguin, 1958).

Componente Maior	Percentagem (%)
SiO <sub>2</sub>	69 a 73%
Na <sub>2</sub> O	3.2 a 4.5%
CaO	0.5 a 2.2%
Fe <sub>2</sub> O <sub>3</sub>	1.5 a 2.6%
Al <sub>2</sub> O <sub>3</sub>	12 a 15%
K₂O	4.0 a 4.5%
FeO	1.3 a 1.8%
MgO	0.2 a 1.0%

No que diz respeito às rochas graníticas ou granitóides instalados na ZCI e ZGTM estas encontram-se divididas em dois grandes grupos: granitos "alcalinos" (peraluminosos) e granitóides "calco-alcalinos", esta divisão é visível, por exemplo, na legenda da Folha 5-B (Ponte da Barca) na escala 1/50.000 da Carta Geológica de Portugal (Cândido de Medeiros, 1975). Esta divisão era baseada, principalmente, no teor em sílica e no teor em alcalis e no cálculo de parâmetros normativos. Os granitos "alcalinos" apresentam teores em SiO<sub>2</sub>, Na<sub>2</sub>O e Al<sub>2</sub>O<sub>3</sub> mais elevados e teores em componentes ferromagnesianos mais baixos. Em contrapartida, os granitóides "calco-alcalinos" apresentam menor percentagem em SiO<sub>2</sub> e Na<sub>2</sub>O e teores de componentes ferromagnesianos e de CaO mais elevados. Esta divisão dos granitóides em duas classes está também fundamentada em estudos mineralógicos, sabe-se que os granitos "alcalinos" possuem plagioclases mais ricas na molécula albítica, maior percentagem de moscovite primária e menor percentagem de biotite, enquanto os

granitóides "calco-alcalinos" apresentam maior percentagem modal de biotite e possuem plagioclases com maior percentagem em molécula anortítica.

Para o estudo dos granitóides além das análises químicas dos elementos maiores recorre-se também a estudos mais aprofundados que consistem na determinação da composição em termos dos elementos menores e Terras Raras. Estes estudos permitem uma análise mais aprofundada e precisa acerca do quimismo da rocha, a sua origem e a evolução do magma granítico ao longo de todo o processo.

#### II.3.2. Enquadramento geodinâmico dos granitóides portugueses

O enquadramento geodinâmico dos granitos, desde há muito tempo, que desperta grande curiosidade nos autores interessados nesta matéria, exemplos disso são: Soen (1970) estudou a implantação dos granitos do N de Portugal relativamente às fases de deformação Varisca relacionando também os sistemas de falhas e o metamorfismo associado a estes fenómenos intrusivos; Schermerhorn (1956,1981) estudou as rochas graníticas, e elaborou uma classificação que consistia em dividir estas rochas em dois tipos principais, tendo em conta o momento de instalação dos granitóides relativamente às fases de deformação Varisca; White & Chappel (1983) estudaram os granitos instalados no SE da Austrália, implementado uma classificação que consistia em agrupar as rochas graníticas em dois grupos principais consoante a fonte do magma; Pitcher (1987) estudou o contexto geotectónico dos granitos, assumindo que estes apresentam caraterísticas diferentes consoante o contexto geotectónico.

Uma das classificações com mais aceitação entre os autores que estudaram os granitóides do Noroeste Ibérico foi a proposta por Shermerhorn (1956,1981) que dividia as rochas graníticas em dois tipos principais: "Older granites" e "Younger granites". Os primeiros seriam essencialmente granitos de duas micas, com quimismo alcalino, sendo *late-syntectonic to post-tectonic with reference to the Hercynian main phase*, os segundo seriam granitóides, essencialmente biotíticos, pertencentes a séries calco-alcalinas, sendo caraterizados como *late sintectonic to post-tectonic with respect to the Upper Stephanien deformational phase*. Esta fase, considerada como principal pelos autores holandeses, tinha idade Estefaniana superior e era designada por fase Astúrica.

Pitcher (1987) classificou as rochas graníticas consoante o contexto geotectónico em que estas se formam e consolidam, criando um tipo caraterístico para os granitos variscos (figura II.3.2.). Este tipo de granitos designado por *Hercynotype* é caraterizado por um ambiente de colisão oblíqua de placas continentais. O autor defende, para este tipo, a existência de dois processos geradores de magmas

graníticos, um por fusão de material mesocrusal e outro por fusão de magmas basicrustais, com fusão parcial de crusta, ascensão e instalação a diferentes níveis crustais.

Depois de Pitcher (1987), outros autores como: Pearce *et al.* (1984), Maniar & Piccoli (1989) e Barbarin (1990) complementaram o conhecimento relativo ao contexto geotectónico dos granitóides (figura II.2.3.).

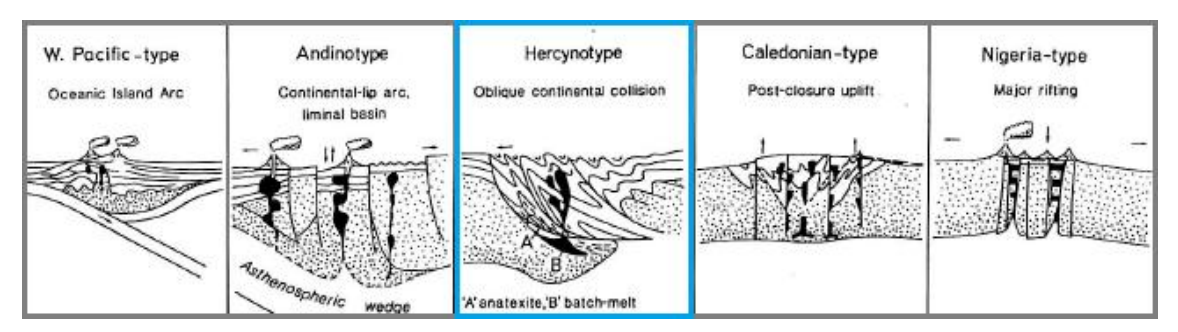


Figura II.3. 2. Classificação dos granitóides com base no seu contexto geotectónico; evidenciado com um quadrado azul apresenta-se o tipo de granitos presentes na ZCI (s.l.) designado por *Hercynotype*. *Adapt*. Pitcher (1987).

		OROGENIC		TRANSITIONAL	ANOROGENIC		
	Oceanic Island Arc	Continental Arc	Continental Collision	Post-Orogenic Uplift/Collapse	Contintntal Rifting, Hot Spot	Mid-Ocean Ridge Ocean Islands	
= granitoid magma underplated mantle melts		manife wedge melting	batch anatexis	decompression meiting	decompression melting	hot spot	
Examples	Bougainville, Solomon Islands, Papua New Guinea	Mesozoic Cordilleran batholiths of west Americas Gander Terrane	Manasiu and Lhotse of Nepal, Amorican Massif of Brittany	Late Caledonian Plutons of Britain, Basin and Range, late Variscan, early Northern Proterozoic	Nigerian ring complexes, Oslo rift, British Tertiany Igneous Province, Yellowstone hotspot	Oman and Troodos ophiolites; Iceland, Ascension, and Reunion Island intrusives	
Geo- chemistry	Calc-alkaline > thol. M-type & I-M hybrid Metaluminous	Calc-alkaline I-type > S-type Met-Al to sl. Per-Al	Calc-alkaline S-type Peraluminous	Calc-alkaline I-type S-type (A-type) Metalum, to Peralum	Alkaline A-type Peralkaline	Tholeitic M-type Metaluminous	
Rock types	qtz-diorite in mature arcs	tonalite & granodior. > granite or gabbro	migmatites & leucogranite	bimodal granodiorite + diroite-gabbro	Granite, syenite + diorite-gabbro.	Plagiogranite	
Associated Minerals	Hbl > Bt	Hbi, Bt	Bt, Ms, Hbl, Grt, Als, Crd	Hbl > Bt	Hbl, Bt, aegirine fayalite, Rbk, arfved.	Hbl	
Associated Volcanism	Island-arc basalt to andesite	Andesite and dacite in great volume	often lacking	basalt and rhyolite	alkali lavas, tuffs, and caldera infill	MORB and ocean island basalt	
Classification Barbarin (1990)	T <sub>IA</sub> tholeilte island arc	H <sub>CA</sub> hybrid calc-alkaline	C <sub>ST</sub> C <sub>CA</sub> C <sub>CI</sub> continental types	H <sub>LO</sub> hybrid late orogenic	A alkaline	T <sub>OR</sub> tholeilte ocean ridge	
Pearce et al. (1984)	VAG (volcanic arc granites)		COLG (collis	on granites)	WPG and ORG (within plate and ocean ridge gran		
Maniar & Piccoli (1989)	IAG island arc granite	CAG contin. arc granite	CCG cont. collision gran.	POG post-orogenic gran.	RRG CEUG rift & aborted/hotspot	OP ocean plagiogranite	
Origin	Partial melting of mantle-derived mafic underplate	PM of mantle-derived mafic underplate + crustal contribution	Partial melting of recycled crustal material	Partial melting of lower crust+ mantle and mid-crust contrib	Partial melting of mantle and/or lower crust (anhydrous)	Partial melting of mantle and frac- tional crystallization	
Melting Mechanism	dissolved species	transfer of fluids and from slab to wedge. ansfer of heat upward	Tectonic thickening plus radiogenic crustal hea	Crustal heat plus mantle heat (rising asthen. + magmas)	Hot spot and/or adiabatic mantle ris		

Figura II.3. 3. Classificação dos granitóides tendo e conta o seu contexto geotectónico; neste quadro os granitóides do tipo *Hercynotype* estão representados como os granitóides do tipo *Continental Collision*. *Adapt*. Pitcher (1997).

#### II.3.3. Geocronologia das rochas graníticas

Desde sempre existiu uma grande preocupação por parte dos geólogos em determinar a idade absoluta das rochas, no caso em estudo de rochas graníticas.

Atualmente, existem diferentes métodos de datação absoluta dos granitos o que leva a uma certa dispersão nos resultados das datações e nas interpretações possíveis dos resultados. Os métodos de datação absoluta aplicados numa rocha em estudo podem utilizar como base minerais, de que são exemplo as micas (K-Ar) ou os zircões (U-Pb), ou rocha total; obviamente que os resultados obtidos são diferentes visto que o material que se está a estudar é na verdade diferente. Outro fator que pode influenciar as interpretações é a adoção de valores diferentes para as constantes de decaimento.

As datações radiométricas mais usadas, atualmente, para a datação absoluta de rochas são: U-Pb, K-Ar e Rb-Sr. A datação U-Pb consiste no cálculo da idade absoluta da rocha através das constantes de decaimento conhecidas para o decaimento do U<sup>238</sup>→Pb<sup>206</sup> e do U<sup>235</sup>→Pb<sup>207</sup> (2); a utilização do mineral zircão para o método U-Pb deve-se ao facto de este sistema ser relativamente rico em urânio e muito pobre em chumbo comum. Ocorre contudo, que as idades calculadas desta maneira são geralmente, muito variáveis conforme se utilize o método U<sup>238</sup>-Pb<sup>206</sup> ou U<sup>235</sup>-Pb<sup>207</sup>. Esta discordância é devida a uma abertura do sistema U-Pb. Entretanto, os resultados podem ser reinterpretados usando-se um diagrama com a razão Pb<sup>207</sup>/U<sup>235</sup> como abcissa e Pb<sup>206</sup>/U<sup>238</sup> como ordenada. Este diagrama é chamado de diagrama concórdia. A datação K-Ar baseia-se no decaimento natural do isótopo radioativo K<sup>40</sup> para o elemento estável Ar<sup>40 (3)</sup>, os minerais mais usados para este método de datação são a horneblenda, biotite e plagióclase. O método Rb-Sr está baseado no decaimento radioativo do Rb87 para Sr87 que apresenta uma meia-vida de 4.88 x 10<sup>10</sup> anos, o que corresponde a uma constante de desintegração (I) para o Rb<sup>87</sup> de 1.42 x 10<sup>-11</sup> ano<sup>-1</sup>. Ao contrário do que se dá com o método K-Ar, o teor inicial do isótopo radiogénico Sr87 é normalmente significativo. Neste caso, para se detetar a idade real de um evento gerador de rochas utiliza-se diversas amostras cogenéticas, interpretadas com o recurso do diagrama isocrónico. As ordenadas do diagrama correspondem às razões isotópicas Sr87/Sr86 e as abcissas às razões Rb87/Sr86. Os valores analíticos obtidos para cada amostra são inseridos no diagrama e depois ligados por uma isócrona. A idade do conjunto de amostras é obtida pela equação

 $<sup>^{2}</sup>$  U<sup>238</sup> : T<sub>1/2</sub> = 4.468 x 10<sup>9</sup> anos

 $U^{235}$ :  $T_{1/2} = 0,7038 \times 10^9$  anos

<sup>&</sup>lt;sup>3</sup> Constante de decaimento K<sup>40</sup>→Ar<sup>40</sup>:0,581 x 10<sup>-10</sup> ano<sup>-1</sup>

t = tg a/I, onde, a é o ângulo que a isócrona forma com a horizontal. A isócrona permite ainda, determinar a razão inicial  $Sr^{87}/Sr^{86}$  do conjunto de amostras.

Priem (1984) elaborou datações de Rb-Sr e U-Pb em granitos do Paleozóico para tentar reconstruir a evolução crustal do Noroeste da Península Ibérica. Datações radiométricas elaboradas nos granitóides na ZCI e ZGMTM (Pinto *et al.*, 1987) não deixam dúvida que a principal fase de cristalização dos maciços graníticos se encontra entre os 330 M.A. e os 260 M.A., correspondendo este período à principal expressão de plutonismo. Devido a este facto, existe uma grande subdivisão dos granitóides sinorogénicos tendo em conta a terceira fase de deformação Varisca.

Os processos que conduzem à génese e cristalização de magmas graníticos ocorrem por pulsos. A figura II.3.4. ilustra de uma forma simplificada os principais episódios de cristalização granítica, baseando-se na datação os maciços graníticos.

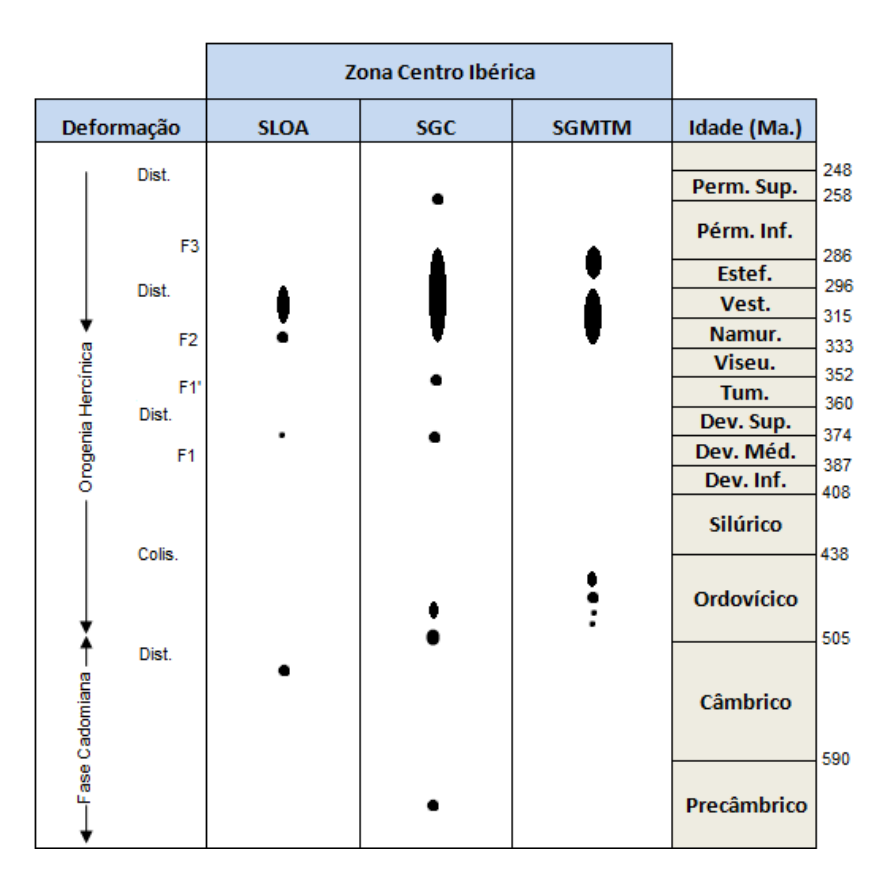


Figura II.3. 4. Relação entre as fases de deformação e a idade das rochas graníticas da ZCI. *Adapt.* Pinto *et al.* (1987).

#### II.3.4. Classificação das rochas graníticas

Ferreira et al. (1987) propõem uma classificação para os granitos da ZCI e ZGTM que tem como base integrar os conhecimentos de vários domínios com os dados de campo; esta classificação tem como referência a terceira fase de deformação Varisca (de idade intra-Vestefaliana) que afetou a ZCI. Esta classificação apresenta-se de forma simplificada na tabela II.3.2..

O facto de um granito apresentar (ou não) *fabric* de deformação ou magmático compatível com uma determinada fase é o principal critério que indica o seu posicionamento nesta classificação (Nogueira, 1997).

Tabela II.3. 2. Classificação dos granitos da ZCI (s.l.). Adapt. Ferreira et al. (1987).

GRANITOS					
Pré-orogénicos					
	ante-F₃	granitos de 2 micas ou biotíticos com restitos			
Sin-orogénicos	sin-F <sub>3</sub>	granitóides biotíticos com plagióclase cálcica e seus derivados			
		granitos de 2 micas ou biotíticos com restitos			
Tardi a pós-orogénicos (biotíticos com plagióclase cálcica)					

Atualmente, face aquilo que se conhece sobre os granitos instalados na ZCI esta é a classificação que mais se adequa para a descrição destas litologias e foi a adotada, na Folha 1 da Carta Geológica de Portugal na escala 1/200.000 e na Folha Norte da Carta Geológica de Portugal na escala 1/500.000, com as devidas alterações efetuadas permitidas pelo avanço e refinamento do conhecimento sobre a área.

A figura II.3.5. ilustra a distribuição dos granitóides variscos sin- a póstectónicos na ZCI relativamente à fase F<sub>3</sub> da deformação Varisca.

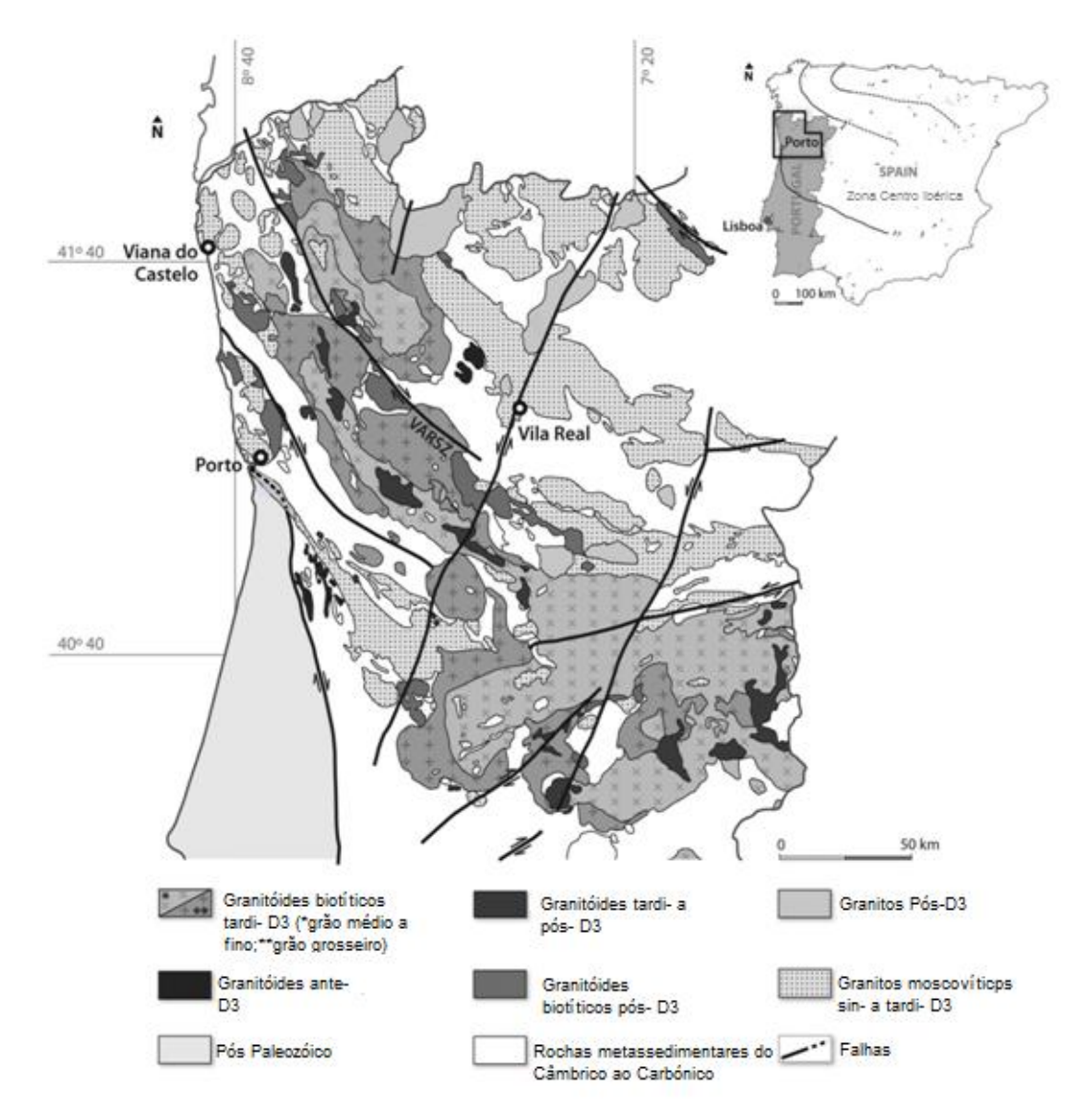


Figura II.3. 5. Distribuição dos granitóides sin- a pós-tectónicos na Zona Centro Ibérica relativamente à fase F<sub>3</sub> da orogenia Varisca. *Adapt*. Ferreira (1987).

O mapa de distribuição dos granitóides variscos na ZCI (*s.l.*) mostra que a instalação destas litologias foi influenciada por processos crustais anteriores à sua formação. Os granitos considerados sin-D<sub>3</sub> (*p.e.* granito de Vila Verde), sin- a tardi-D<sub>3</sub> (*p.e.* granito da Serra de Arga), tardi-D<sub>3</sub> (*p.e.* granito de Vieira do Minho) e tardi- a pós-D<sub>3</sub> (*p.e.* granito de Braga) apresentam uma direção de instalação, de grosso modo, NO-SE, desenhando de uma forma subtil aquilo que se considera ser a virgação das estruturas Variscas (Ribeiro, 1980). Os granitos considerados pós-D<sub>3</sub> (*p.e.* granito de Vila Pouca de Aguiar e granito do Gerês) apresentam uma direção de instalação NNE-SSO a NE-SO, esta direção permite inferir que a instalação destes granitos foi condicionada por fraturas frágeis com movimento sinistro, um exemplo deste fenómeno é a instalação do granito de Vila Pouca de Aguiar usando a falha Penacova-Régua-Verin e o do Gerês a falha Gerês -Lovios .



## III.1. Introdução

A distribuição dos filões mineralizados no N de Portugal e a origem destas mineralizações, são um tema igualmente estudado, por vários autores.

Cottard (1982) estudou os filões de quartzo mineralizados em ouro e verificou que estes se encontravam orientados, grosseiramente, NNE-SSE e NE-SO.

Almeida & Noronha (1988) e Couto (1993) estudaram o modo de ocorrência das mineralizações no N de Portugal, abordando as mineralizações de Sn-W e Au em Trás-os-Montes e de Sb-Au na região Dúrico-Beirã, respetivamente.

Noronha & Ramos (1993) elaboraram estudos que permitiram observar que, a distribuição dos filões mineralizados no N de Portugal não é aleatória, estando espacialmente associados a grandes zonas de cisalhamento dúcteis sin-D<sub>3</sub>. Segundo estes mesmos autores, estes filões mineralizados podiam ocorrer associados a diferentes litologias.

Nogueira & Noronha (1993) defendem que o papel dos granitos, para o caso das mineralizações auríferas, poderá ser o de ativador de células de circulação convectivas de fluidos.

Nogueira (1997) abordou, na sua tese de doutoramento, a questão da fonte primária dos elementos mineralizantes e do papel nos granitos na génese e circulação dos fluidos que transportam estes mesmos elementos.

Mateus & Noronha (2010) estudaram os sistemas mineralizantes epigenéticos na zona Centro Ibérica e observaram que existe uma relação entre estas mineralizações e os granitóides instalados durante o período meso a tardi-varisco.

Focando o estudo nas mineralizações auríferas portuguesas, autores como Couto (1993), Noronha & Ramos (1993), Nogueira & Noronha (1993), Noronha *et al.* (2000), Vallance *et al.* (2003), Boiron *et al.* (2003) e Mateus & Noronha (2010) descrevem estádios ou episódios temporais e, indicam ao longo das linhas de quadros paragenéticos os minerais que cristalizam em cada um desses estádios.

Bonnemaison & Marcoux (1990) propuseram um modelo para a formação das mineralizações auríferas ao qual designaram *shear zones auríferes*.

A principal forma de jazida das mineralizações no N de Portugal e Galiza é a filoniana. As mineralizações ocorrem, assim, quer sob a forma de filões aplitopegmatíticos quer sob a forma de filões quartzosos.

A distribuição espacial das mineralizações não é aleatória sendo notória a sua associação a alinhamentos (Mateus & Noronha, 2010) (figura III.1.1.).

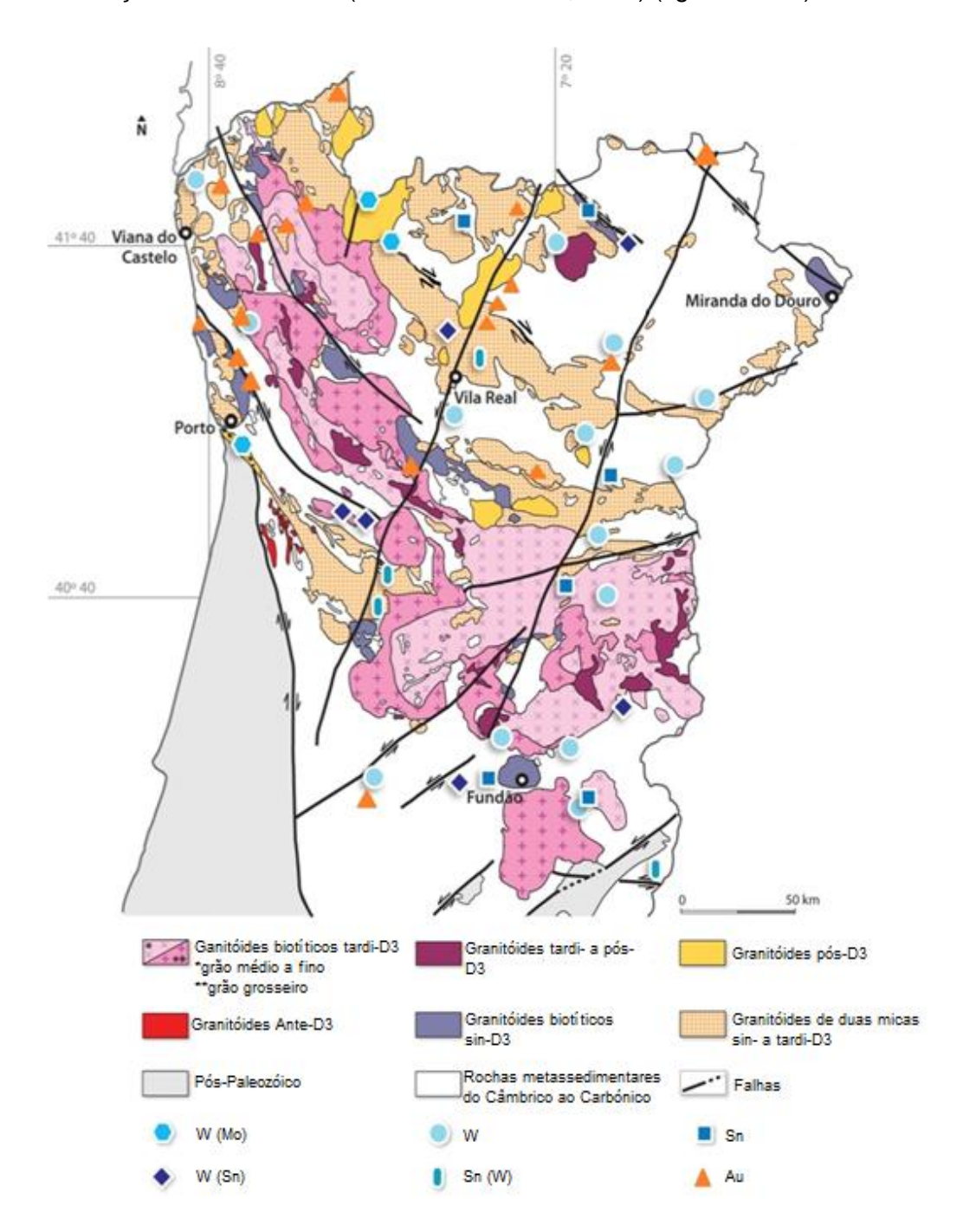


Figura III.1. 1. Distribuição das principais ocorrências de ouro (Au), estanho (Sn) e tungsténio (W) no NO da Península Ibérica. *Adapt*. Sant'Ovaia *et al.* (2013).

Os filões com mineralizações de ouro são, maioritariamente, subverticais e com direções que se distribuem por vários grupos (figura III.1.2.); segundo Noronha & Ramos (1993), os três principais grupos são:

- i. N040°E a N070°E (Portela das Cabras, **Grovelas**, V.N. Muía, Entre- Ambos-os-Rios, Penedono, Freixeda e Valongo);
- ii. N020ºE a N040ºE (Jales, Velhaquinhas, Vale de Campo, Vale de Égua e Penabeice);
- iii. N100°E a N130°E (Melgaço, Cerdeira, Três-Minas e Gralheira);
- iv. N020°O a N0 20°E (Arga e V. N. Muia).

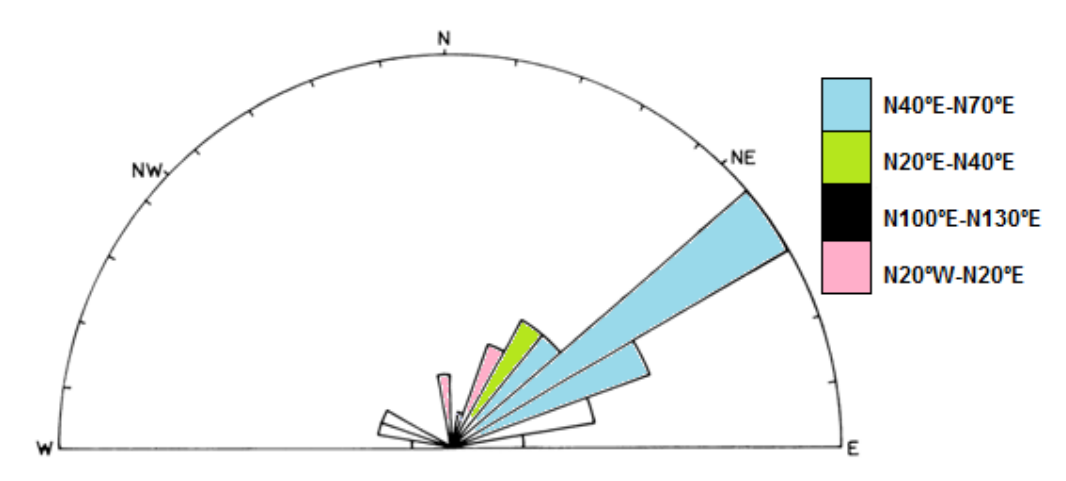


Figura III.1. 2. Diagrama de frequências das orientações das estruturas mineralizadas no NO de Portugal. A família N100ºE-N130ºE não se encontra representada no diagrama. *Adapt.* Noronha & Ramos (1993).

Embora estes filões estejam instalados em fraturas contemporâneas de D<sub>3</sub>, o seu preenchimento é no entanto mais tardio, sendo possível evidenciar em alguns casos uma deformação que varia de dúctil-frágil a frágil.

Noronha & Ramos (1993) sublinham a ocorrência de filões mineralizados associados a diferentes contextos geológicos, podendo ocorrer encaixados em rochas graníticas de diferentes tipos ou em rochas de natureza metassedimentar. Seguidamente, apresentam-se alguns exemplos de filões mineralizados em ouro encaixados em diferentes litologias:

- Granitos biotíticos tardi- a pós-tectónicos (Grovelas e Vila Nova de Muía);
- Granitos de duas micas sin-tectónicos (Melgaço, Entre-Ambos-os-Rios, Monte Faro, Jales e Penedono);

 Rochas metassedimentares paleozóicas (Arga, Portela de Cabras, Cerdeira, Gralheira, Três-Minas, Vale de Campo, Vale de Égua, Velhaquinhas, Penabeice, Freixeda e Valongo).

A existência de exemplos em que os filões cortam quer os granitos biotíticos tardi-tectónicos (**Grovelas**), quer metassedimentos do Estefaniano B-C (Valongo) leva a considerar estes filões de idade posterior a  $D_3$ , o que é comprovado pelo facto de existir uma relação espacial estreita com as falhas de orientação N010°E a N040°E, típicas das fases de deformação tardias da orogenia Varisca (referida anteriormente como *Fases tardias*,  $F_n$ ).

# III.2. Génese das mineralizações filonianas

As mineralizações reconhecidas em toda a ZCI (s.l.) revelam uma distribuição heterogénea, manifestando na sua maioria uma relação espacial com os granitóides instalados durante o período meso- a tardi-varisco, ou com as zonas de cisalhamento formadas e reativadas neste mesmo período de tempo (figura II.2.1.).

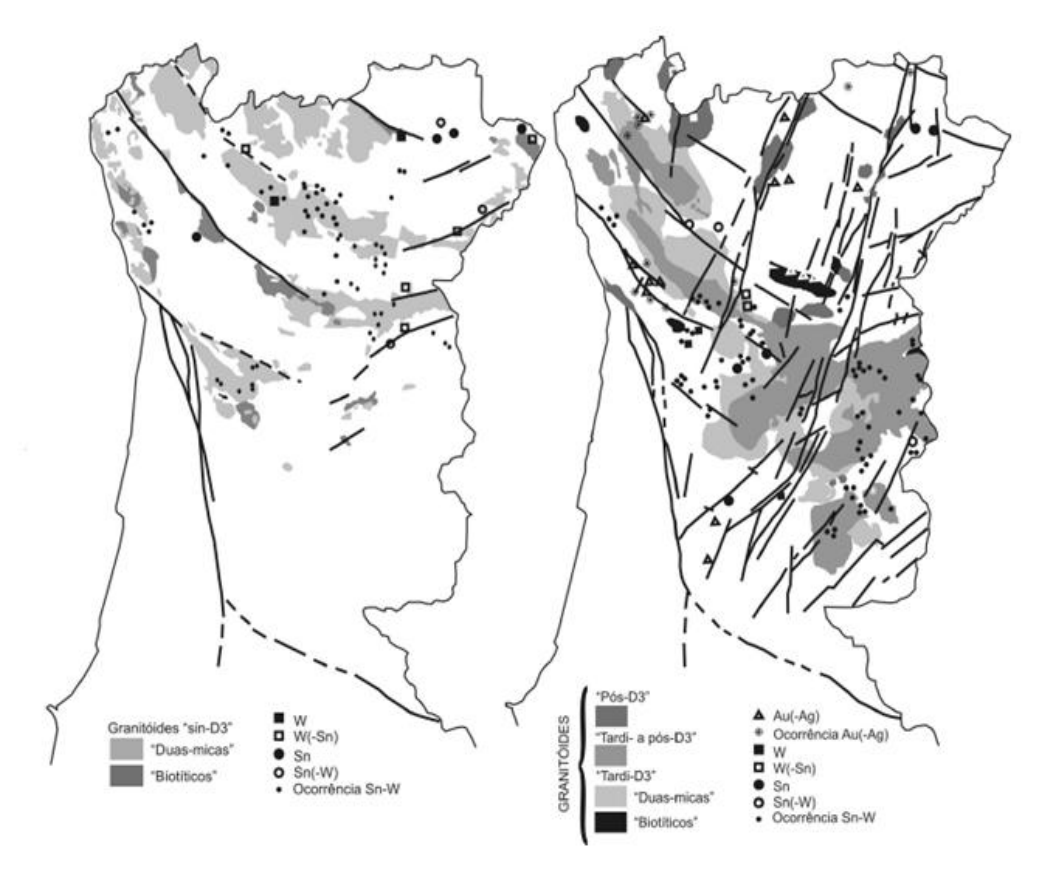


Figura III.2. 1. (A) Distribuição dos sistemas mineralizantes na ZCI (s.l.) e a sua relação espacial com os granitóides e zonas de cisalhamento sin-D<sub>3</sub> (A) e relação espacial com os granitóides tardi- a pós-D<sub>3</sub> e zonas de cisalhamento tardi-variscos (B). *Adapt.* Mateus & Noronha (2010).

Durante a terceira fase de deformação da orogenia Varisca, ocorreu como referimos a génese e instalação de um grande volume de granitóides, este fenómeno representa o principal efeito de um evento de alta temperatura relacionado com o momento de instalação dos terrenos alóctones, consequência da obducção de lâminas ofiolíticas (cerca de 300 Ma), com um pico térmico atingido entre os 340 M.A. e os 325 M.A. Simultaneamente, as condições atingidas nesta época foram propícias do ponto de vista de atividade hidrotermal, envolvendo diferentes fontes de fluidos em condições de P-T cada vez mais baixas segundo um *continuum* que alimentou estes sistemas durante um longo período de tempo, alguns deles com importância metalogénica.

O conhecimento dos fluidos existentes responsáveis pela formação dos diferentes precipitados hidrotermais reconhecidos em campos filonianos relacionados com granitóides ou com zonas de cisalhamento e falhas, permite deslindar vários conjuntos tendo em conta as suas caraterísticas químicas e condições de P-T de circulação. Esta informação em conformidade com os resultados obtidos através da análise da paragénese mineral e dados isotópicos, permite inferir as condições de evolução de cada sistema mineralizante. Estes estudos permitem ainda a compreensão das diferentes fontes dos fluidos circulantes na ZCI (s.l.) durante o período meso- a tardi-varisco. Face ao estado atual dos conhecimentos, sabe-se que os fluidos que circularam na ZCI, no período referido anteriormente, correspondiam a uma mistura em proporções variáveis de soluções aquosas de origem metamórfica, magmática e meteórica, podendo esta última apresentar modificações assinaláveis relacionadas com a interação direta e duradoura entre o fluido e o meio rochoso (Mateus & Noronha, 2010).

Vários autores têm feito esforços numa tentativa de explicar a génese de mineralizações filonianas. Fersman (1931), à luz de teorias modernas, tenta compreender a génese das mineralizações filonianas baseando-se em princípios de diferenciação magmática e em dados de natureza geoquímica, prevê uma zonalidade para os diferentes tipos de mineralizações associadas a rochas plutónicas, nomeadamente graníticas. Acompanhando a mesma linha de pensamento, Almeida & Noronha (1988) referem uma zonalidade lateral, perigranítica, para mineralizações de Sn-W e de Au em Trás-os-Montes; também Couto (1993) explica uma zonalidade para as mineralizações de Sb-Au da região Dúrico-Beirã. Nogueira (1997) aborda duas questões bastante pertinentes nesta matéria, "qual a fonte primária dos elementos?" e "qual o papel dos granitos na génese e circulação dos fluidos mineralizantes?". Relativamente à fonte primária dos elementos, existem duas hipóteses, uma primeira

que consistia na concentração dos elementos através de uma diferenciação magmática (Cerveira, 1952; Neiva, 1944b), para estes autores os metais com tendência siderófila e calcófila, como o ouro e a prata, iriam concentrar-se nos fluidos tardios, concentrando-se na fase súlfurea, em filões e veios e, os elementos com tendência oxífila, como o tungsténio e o estanho iriam ocorrer sob a forma de óxidos concentrando-se na fase silicatada; a segunda hipótese consistia na existência de uma crusta especializada em alguns elementos o que pode explicar uma concentração anómala sendo a diferenciação magmática um processo integrante num conjunto de processos geológicos convergentes, capazes de gerar jazigos minerais com concentrações tão anómalas. No caso das mineralizações auríferas, a sua reação com rochas grafitosas levou alguns autores a evocar estas rochas como fonte de elementos metálicos.

Quanto ao papel dos granitos na génese e circulação dos fluidos mineralizantes, as primeiras teorias consistiam em atribuir um papel principal aos granitos, afirmando que os fluidos mineralizantes eram resultado de processos de diferenciação magmática circulando depois através das fraturas, diaclases e falhas; posteriormente, o avanço no estudo das inclusões fluidas (IF) nos filões quartzosos levantaram dúvidas quanto à paternidade destes fluidos; através da geoquímica destas IF torna-se possível admitir a possibilidade destes fluidos serem de natureza metamórfica ou meteórica, ou resultado da mistura destes ou, ainda, de misturas destes com os fluidos tardi-magmáticos.

Alguns autores (Nogueira & Noronha, 1993) defendem que o papel dos granitos, para o caso das mineralizações auríferas, poderá ser o de ativador de células de circulação convectivas de fluidos.

# III.3. Paragénese mineral presente nas estruturas filonianas mineralizadas em ouro

Baseando-se na descrição petrográfica e caraterização das diferentes fases minerais presentes nas estruturas mineralizadas, bem como na caraterização das paragéneses minerais e, ainda, nas relações geométricas entre as diferentes fases, foi possível a diferentes autores definir os estádios de mineralização.

Focando o estudo nas mineralizações auríferas portuguesas, autores como Couto (1993), Noronha & Ramos (1993), Nogueira & Noronha (1993), Noronha *et al.* (2000), Vallance *et al.* (2003), Boiron *et al.* (2003) e Mateus & Noronha (2010) descrevem estádios ou episódios temporais e indicam ao longo das linhas de quadros paragenéticos os minerais que cristalizam em cada um desses estádios.

A designação atribuída a cada estádio varia entre os autores, pois cada autor carateriza determinado estádio segundo os aspetos que considera mais relevantes para a sua definição.

A correlação entre os diferentes estádios definidos por vários autores é sempre complicada, exigindo interpretações cuidadosas; parâmetros como o nível estrutural, a fonte dos elementos, a relação com as fases de deformação, as reações de alteração e remobilização influenciam de uma forma soberba o resultado final, podendo existir um modelo genético para cada caso. No entanto, na medida do possível deve-se tentar encontrar caraterísticas comuns que permitam criar um modelo global para as mineralizações filonianas.

Segundo estudos elaborados por Noronha et al. (2000), Vallance et al. (2003) e Mateus & Noronha (2010) para a génese das mineralizações auríferas em Portugal podemos considerar a existência de quatro estádios distintos de mineralizações com paragéneses minerais diferentes descritas seguidamente:

- i. Primeiro estádio "quartz stockwork and related greisens" (Vallance et al., 2003): relaciona-se com a formação de agregados de quartzo leitoso-acinzentado (QzI) localmente ricos em moscovite e turmalina (e contendo quantidades acessórias de apatite e arsenopirite). Os fluidos que participam neste episódio mineralizante são dominantemente aquosos com salinidade geralmente moderada e circulam em condições mínimas de temperatura ≈ 400±50°C e pressões < 5 kbar (Mateus & Noronha, 2010).</p>
- ii. **Segundo estádio –** "As-stage" (Vallance et al., 2003): fraturação do quartzo leitoso cristalizado no estádio anterior e ocupação destas fraturas com um quartzo límpido hialino (QzII), acompanhando a cristalização desta fase mineral temos a cristalização de fengite (FgI), arsenopitite (ApyI) e pirite (PyI) em pequenas quantidades. Os fluidos manifestam uma composição aquo-carbónica e salinidade baixa a moderada sob condições de P-T variáveis entre 2-3.5 kbar e 450-325±5°C (Mateus & Noronha, 2010).
- iii. **Terceiro estádio –** "Au-stage" (Vallance et al. (2003)): cristalização de um quartzo leitoso (QzIII) em fraturas que afetavam as fases minerais instaladas anteriormente, acompanhando o quartzo ocorre a cristalização de ouro nativo e eletrum associados a sulfuretos (galena, calcopirite e bismutinite), bismuto nativo e sulfossais de Pb-Bi-Ag. As fraturas frequentemente apresentam clorite resultante de alterações

hidrotermais. A composição química dos fluidos muda substancialmente com o arrefecimento progressivo do sistema, desde temperaturas próximas de 300°C a 150-120°C, sob condições de pressão que variam entre 2 a 0.5 kbar. Os primeiros fluidos dessa fase de cristalização apresentam características semelhantes aos atuantes no segundo estádio; consoante a temperatura diminui ocorre uma mistura dos fluidos metamórficos e meteóricos o que vai condicionar o quimismo do fluido a atuar na fase final deste episódio mineralizante. Estes últimos fluidos são essencialmente aquosos, de origem meteórica com salinidades muito baixas (Mateus & Noronha, 2010). O terceiro estádio hidrotermal é o que manifesta um maior interesse metalogénico e consequentemente económico.

iv. Quarto estádio – "post-ore stage" (Vallance et al., 2003): cristalização de uma quarta geração de quartzo euédrico (QzIV) não deformado ou fraturado, que sela diferentes famílias de veios ou filonetes, cuja cronologia relativa é difícil de tecer. Este estádio evolutivo afigura-se determinante à deposição de elementos como o Zn-Pb (Couto, 1993). Os fluidos aquosos envolvidos neste estádio são quimicamente muito diferentes dos anteriores, revelando salinidades moderadas a elevadas e enriquecimentos significativos em Ca e Mg. As condições de P-T estimadas para a sua circulação situam-se abaixo de 1 kbar e 200°C (Mateus & Noronha, 2010).

A tabela seguinte representa de uma forma simplificada as principais associações minerais nas jazidas auríferas da ZCI e ZGTM (tabela III.3.1.).

Tabela III.3. 1. Paragéneses minerais de algumas jazidas portuguesas. Adapt. Noronha & Ramos (1993). \*V-vestigios; \*\*X-pouco abundante; \*\*\*XX-abundante; \*\*\*\*XXX-muito abundante.

	Mineral	Valongo	Arga	Portela das cabras	Grovelas	Muía	Melgaço	Penedono (St. António)	Jales	Vale de campo	Freixeda
	Zircão		٧*	٧	V	٧	V	V	٧		
	Rútilo			V	V	V	V	V	V		V
	Albite							V	X**		
	Microclina		V	V	V	٧	V	V	Х		V
	Cassiterite	V							V		
	Volframite	V						X	Х		
	Scheelite				V		V	X	V		
	Pirrotite	X	Х	X	X		X	X	Х	X	X
	Arsenopirite	XX	XX***	XXX****	XXX	XXX	XXX	XXX	XXX	XXX	XXX
Estádio Ferro-	Pirite	XXX	XX	XX	XX	X	XX	XX	XX	XX	XX
Arsenífero	Bismuto					X	X	X	V		V
	Bismutinite					X	X	X	V		V
	Ouro	X		X	Х	X	Χ	X	Х		X
Estádio Zinco-	Blenda	XX	X				X	X	XX	X	X
cuprífero	Calcopirite	Х	Χ	X			X	X	XX	XX	X
	Galena	V	XX		XX		V	XX	XX	XXX	XX
	Bolangerite	Х							V		V
	Estanite	Х		V					V		V
	Tungstite			V							
	Bournite	V							V		X
Estádio Plumbo-	Jamesonite	XX							V		X
Antimonífero	Tetraedrite	X			Х					V	X
	Electrum	Х	Х		X			X	Х	X	X
	Arsenopirite	Х	X					X	Х		X
	Pirite	Х	X		Х		X	X	Х		X
	Marcassite	]			Х		X	X	Х		X
	Greenokite		V								
Estádio Antimonífero	Antimonite	XXX									
	Bertierite	XX									
	Electrum	Х									

# ENQUADRAMENTO DA ÁREA DE GODINHAÇOS

Capítulo IV

# IV.1. Enquadramento geográfico e geomorfológico

A área sobre a qual incidiu o estudo apresentado neste documento situa-se na região do Noroeste de Portugal, vulgarmente conhecida por Minho (figura IV.1.1.), esta localidade é limitada a norte pelo conselho de Ponte da Barca (distrito de Viana do Castelo) e a sul pelo conselho de Vila Verde (distrito de Braga).

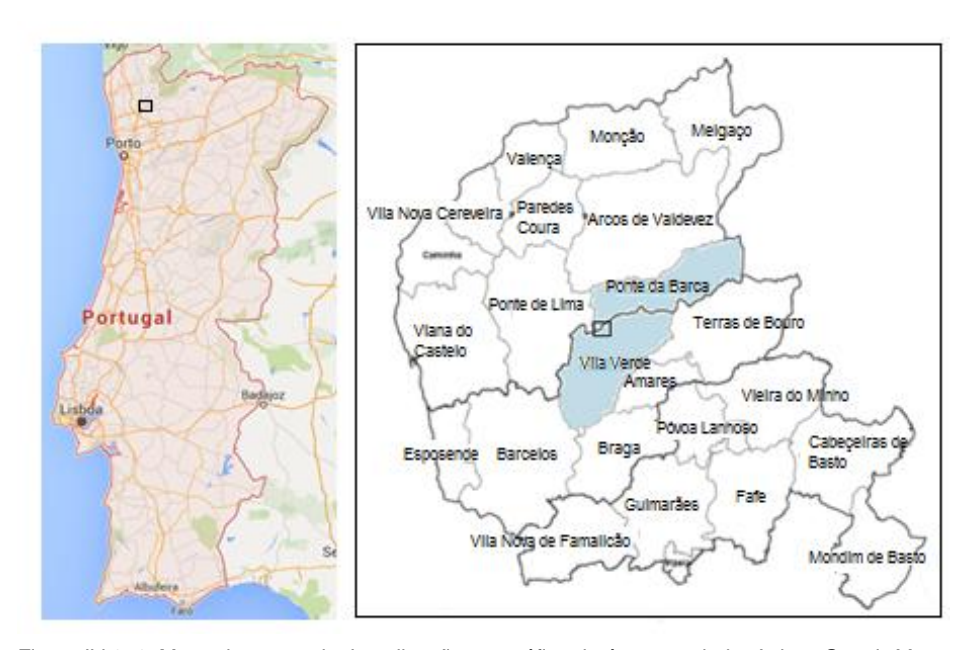


Figura IV.1. 1. Mapa da esquerda: Localização geográfica da área estudada. A dapt. Google Maps. Mapa da direita: distribuição dos concelhos do Norte de Portugal. Adapt. Consórcio Minhoin (http://www.minhoin.com/gca/?id=134; http://geoportal.lneg.pt/geoportal/mapas/index.html).

A ocorrência das estruturas mineralizadas, sobre as quais se efetuou um estudo mais detalhado, situam-se, a SO do Lugar de Godinhaços, freguesia do concelho de Vila Verde. A este lugar faz corresponder as coordenadas M=172.000 e P=527.000, na folha 42 da Carta Militar de Portugal, à escala 1/25.000, dos Serviços Cartográficos do Exército (figura IV.1.2.)

A área de Godinhaços encontra-se cartografada na Folha 5-B (Ponte da Barca) da Carta Geológica de Portugal, à escala 1/50.000, publicada pelos Serviços Geológicos de Portugal.



Figura IV.1. 2. Local onde se realizou o estudo das mineralizações. *Adapt.* Geomapas, LNEG (2015) (http://geoportal.lneg.pt/geoportal/mapas/index.html).

Geomorfologicamente é uma região marcada por um relevo acentuado e por vales de rios e ribeiros profundamente escavados, com forma em "V" típica de rios que se encontram numa fase de erosão ativa. Os rios Vez e Vade apresentam vales com forma de "U".

Os pontos mais elevados desta região são: Oural, Monte de S. Miguel o Anjo e Monte de S. Miguel, com cotas de 771 m, 661 m e 501 m, respetivamente. Segundo Lautensach (1988), estes relevos deverão pertencer à antiga superfície de aplanamento pliocénica da Meseta.

O entalhe da superfície de aplanamento pliocénica é marcado pela presença de vales dos rios, relativamente profundos. Os fundos de vale da região possuem cotas que variam entre os 250 m (Rio Neiva) e os 100 m (Rio Vade), ou menos, como é o caso dos rios Lima e Cávado, com cotas de 50 m.

Girão (1960) descreve a existência de pelo menos dois "Ciclos de Planalto" que se podem observar num perfil longitudinal dos rios, no caso, Lima, Vez, Cávado e Homem (figura IV.1.3.).

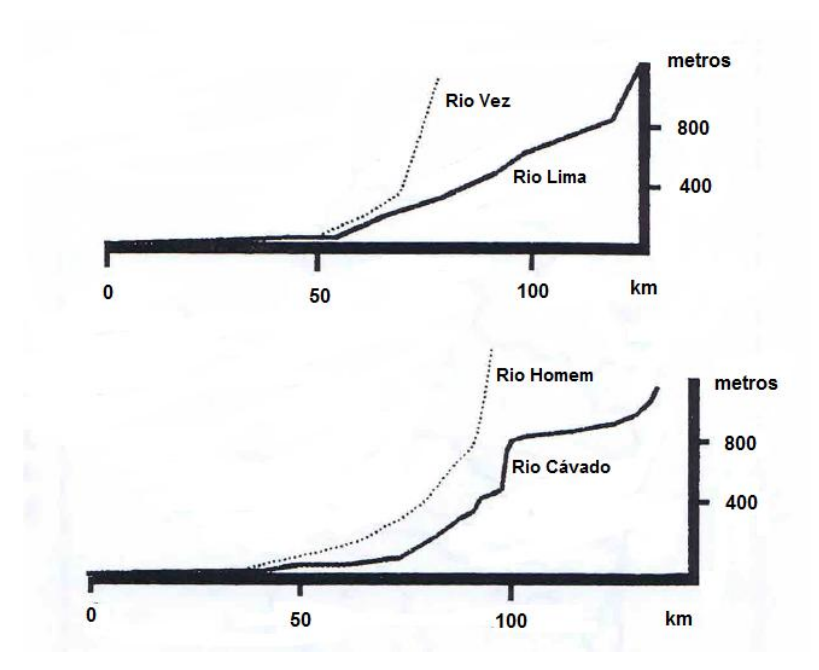


Figura IV.1. 3. Perfis longitudinais dos rios Lima, Vez, Cávado e Homem. *Adapt.* Girão (1960).

Nesta região os três principais rios são: o Lima, que corre a norte da área de Godinhaços, numa direção aproximadamente ENE-OSO, o Neiva que nasce a sudoeste da área de Godinhaços, e que corre num vale encaixado com direção ENE-OSO e o Cávado que corre a Sul da área em estudo, numa direção idêntica às anteriores. A presença de rios em vales encaixados e a constância das direções, juntamente com a presença de nascentes mineromedicinais segundo estes alinhamentos, levou vários autores a inferir que estas direções predominantes podem refletir uma deformação frágil a nível crustal (Cândido de Medeiros *et al.*, 1975). Além destes rios a área estudada encontra-se limitada, a este, pelo rio Vade que corre para norte num vale profundo encaixado com direção N-S; esta direção corresponde a um corredor de fraturação importante. Pode referir-se que estas duas direções principais, ENE-OSO e N-S, são praticamente constantes no Noroeste de Portugal, sendo responsáveis pelo escoamento superficial e pelas principais linha de água (figura IV.1.4.).



Figura IV.1. 4. Bacias hidrográficas, principais rios e seus afluentes, no NO de Portugal (*nucleoap.blogspot.com*).

A paisagem da região é incontornavelmente marcada pela presença de uma grande diversidade de rochas graníticas, que confere a estas regiões morfologias típicas desta litologia, podendo observar-se a disjunção esferoidal caraterizada pela presença de "bolas" de granito e ainda as extensas lajes graníticas.

Relativamente, à vegetação que se desenvolve nestas regiões podemos observar a presença de plantas rasteiras nos cumes, onde as camadas de solo apresentam espessuras muito reduzidas, o que contrasta com a grande diversidade de vegetação que ocorre ao longo dos vales e das linhas de água onde a espessura dos solos é consideravelmente maior; assim, a exploração agrícola encontra-se sempre condicionada, limitando-se assim às zonas de cobertura sedimentar aluvionar e eluvionar associadas às principais linhas de água.

A pluviosidade da região é das maiores a nível nacional, podendo atingir valores entre os 1.500 e 2.000 L/m<sup>2</sup>. A temperatura média anual é cerca de 13°C (ANEXO 1).

# IV.2. Enquadramento geotectónico

Sob o ponto de vista paleogeográfico e geotectónico a área de Godinhaços, encontra-se situada na Zona Galiza Trás-os-Montes (ZGTM), durante muito tempo esta zona foi considerada como subzona da Zona Centro Ibérica (ZCI) e designada por Galiza Média Tras-os-Montes (Julivert *et al.*, 1975) (figura IV.2.1.).

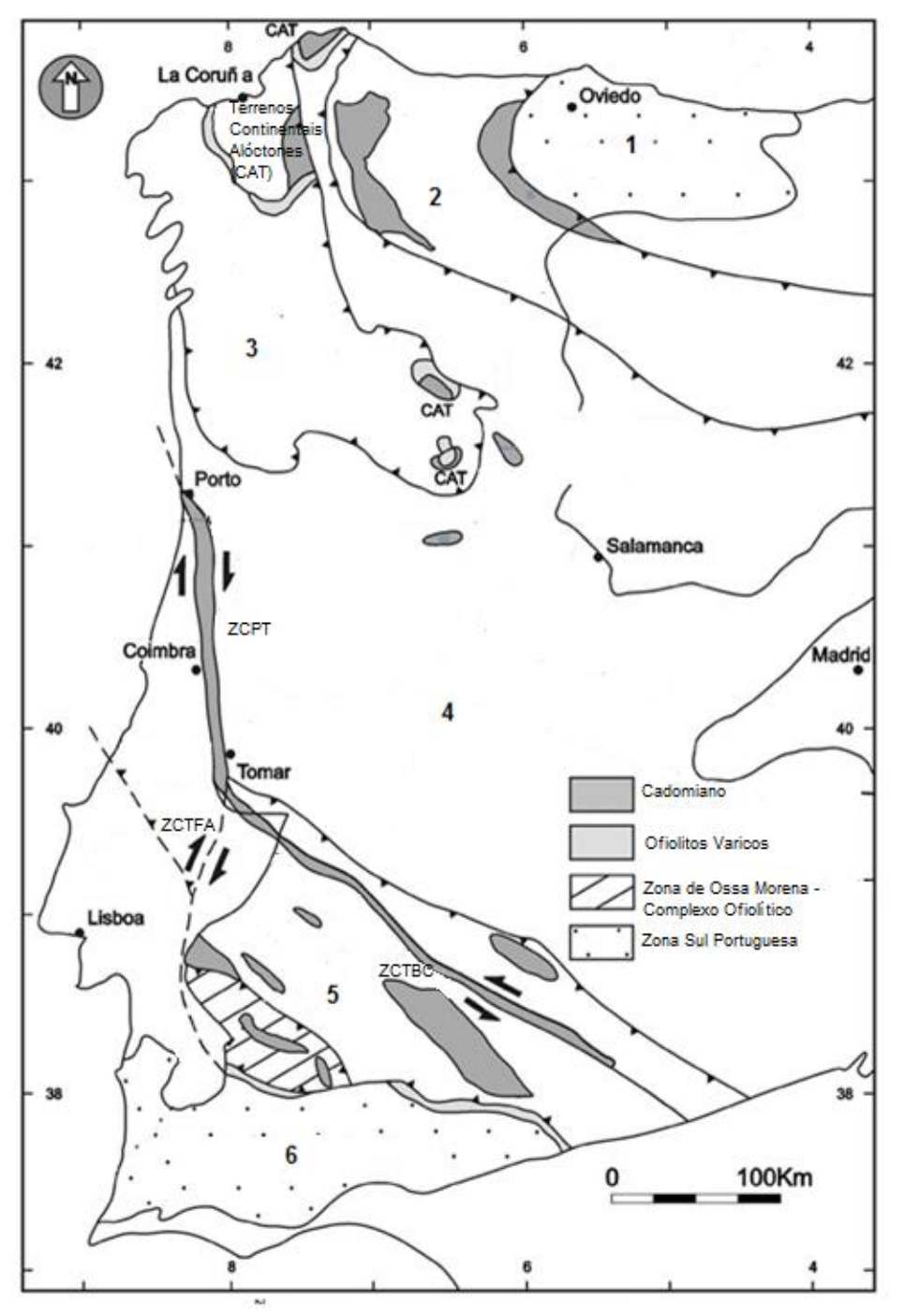


Figura IV.2. 1. Zonamento geotectónico do Maciço Hespérico. (1) Zona Cantábrica (ZC); (2) Zona Astúrico-Leonesa (ZAL); (3) Zona Galiza Trás-os-Montes (ZGTM); (4) Zona Centro Ibérica (ZCI); (5) Zona de Ossa Morena (ZOM); (6) Zona Sul Portuguesa (ZSP); ZCPT: Zona de cisalhamento Porto-Tomar; ZCTBC: Zona de cisalhamento Tomar-Badajoz-Córdova; ZCTFA: Zona de Cisalhamento Tomar-Ferreira do Alentejo. *Adapt.* Ribeiro *et al.*, 2009.

## IV.3. Geologia regional e local

A geologia de Portugal apresenta-se representada em mapas geológicos a várias escalas: a cartografia geológica na escala 1/500.000 divide Portugal continental em duas folhas, a folha Norte e a folha Sul (figura IV.3.1.A)); a cartografia geológica à escala 1/200.000 divide Portugal continental em oito folhas (figura IV.3.1.B)) e, por último, a cartografia à escala 1/50.000 que divide o país em 177 folhas (figura IV.3.1.C)). A área em estudo – área de Godinhaços – encontra-se representada na folha Norte na escala 1/500.000 publicada em 1992 pelos Serviços Geológicos de Portugal, na Folha 1 na escala 1/200.000 publicada em 1992 pelos Serviços Geológicos de Portugal, e na folha 5-B (Ponte da Barca) na escala 1/50.000 publicada em 1975 pelos Serviços Geológicos de Portugal. Estes documentos serviram de base para a descrição da geologia presente na área em estudo, primeiro de um ponto de vista regional e em segundo sob um ponto de vista local.

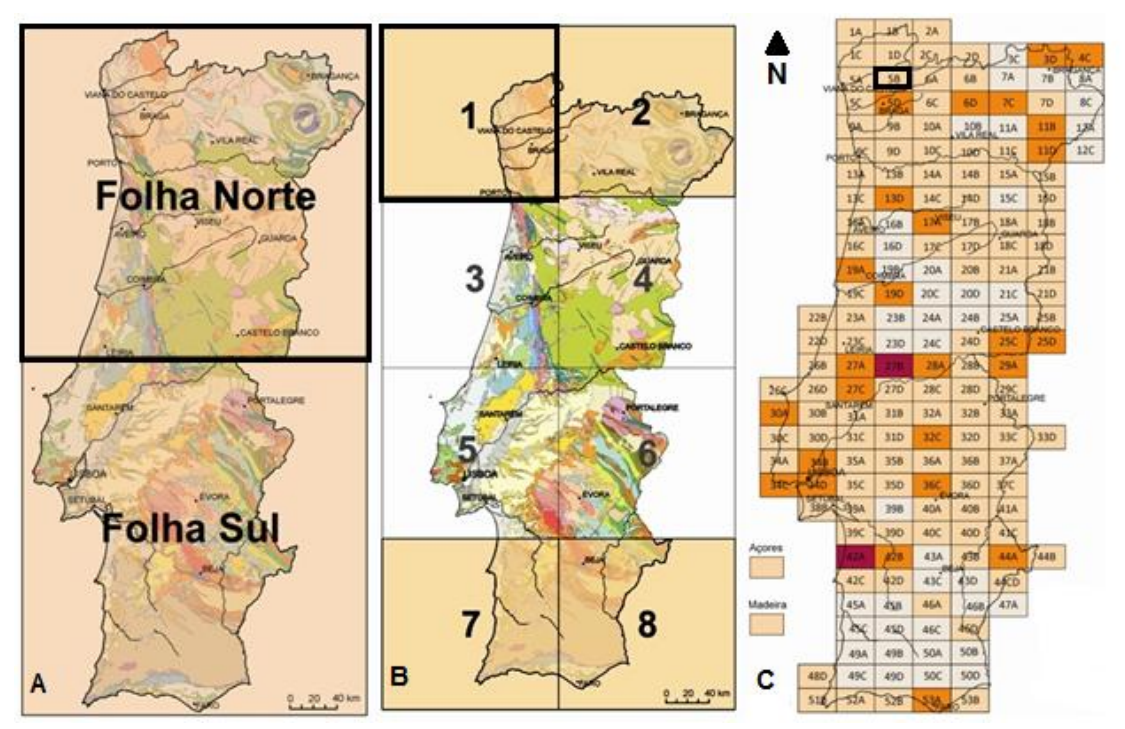


Figura IV.3. 1. Localização da área em estudo nos mapas cartográficos existentes. a) Divisão cartográfica de Portugal, na escala 1/500.000 (<a href="https://www.lneg.pt/servicos/215">www.lneg.pt/servicos/215</a>); b) Divisão cartográfica de Portugal na escala 1/200.000 (<a href="https://www.lneg.pt/servicos/142">www.lneg.pt/servicos/142</a>); c) Divisão cartográfica de Portugal na escala 1/50.000 (<a href="https://www.lneg.pt/servicos/139">www.lneg.pt/servicos/142</a>); c) Divisão cartográfica de Portugal na escala 1/50.000 (<a href="https://www.lneg.pt/servicos/139">www.lneg.pt/servicos/142</a>); c) Divisão cartográfica de Portugal na escala 1/50.000 (<a href="https://www.lneg.pt/servicos/139">www.lneg.pt/servicos/139</a>).

#### IV.3.1. Geologia Regional

Sob um ponto de vista de geologia regional, utilizaremos como base a notícia explicativa da folha 1 na escala 1/200.000 da Carta Geológica de Portugal publicada em Lisboa por Cabral *et al.* (1992) que abrange uma área totalmente coberta por cartografia geológica; esta cartografia abrange um setor compreendido entre o Douro e o Minho.

#### IV.3.1.1. Estratigrafia

A organização estratigráfica do setor entre Douro e Minho obedece, essencialmente, à definição da sequência de unidades litoestratigráficas. Sempre que possível, usa-se a conotação cronoestratigráfica que se baseia nas correlações litológicas e, sobretudo, assenta nas jazidas fossilíferas, frequentes mas mal conservadas devido à intensa deformação que se fez sentir durante a orogenia Varisca (Cabral *et al.*, 1992). Na tabela IV.3.1.. observa-se, esquematicamente, a organização destas unidades.

Tabela IV.3. 1. Organização dos terrenos correspondentes ao setor entre Douro e Minho. Adapt. Cabral et al. (1992).

UNID	IDADE PROVÁVEL			
ALÓCTONE	UV- UNIDADE DE VILA NUNE E VALENÇA	DEVÓNICO INFERIOR (?)  SILÚRICO: Landoveriano médio a superior		
	CARREAMENTO			
PARAUTÓCTONE	UMC – UNIDADE DO MINHO CENTRAL E OCIDENTAL	SILÚRICO (Landoveriano- Velonquiano)		
CARREAMENTO				
	UNIDADE SÃO PEDRO DE FINS - MIDÕES	CARBÓNICO: Estefaniano inferior		
	UNIDADE DE ERVEDOSA	CARBÓNICO: Vestefaliano D		
	UNIDADE DE BOUGADO	CARBÓNICO: Vestefaliano c (?)		
	FORMAÇÃO DE TELHEIRAS	DEVÓNICO: Siegeniano-Emsiano,		
AUTÓCTONE	(MEMBRO SUP, MEMBRO INF)	Gediano		
	FORMAÇÃO DE SOBRADO	DEVÓNICO INFERIOR (?)		
	("GRAUVAQUES DE SOBRADO")	SILÚRICO SUPERIOR		
	XISTOS CARBONOSOS	SILÚRICO: Venloquiano		
	SUPERIORES			
	XISTOS CARBONOSOS	SILÚRICO: Landoveriano		
	SUPERIORES	méd./sup.		

LACUNA				
	FORMAÇÃO DE SOBRIDO	SILÚRICO INFERIOR:		
	"GRAUVAQUES DE SOBRIDO"	Landoveriano inferior (?)		
AUTÓCTONE		ORDOVÍCIO SUPERIOR:		
		Ashgiliano (?)		
LACUNA				
	FORMAÇÃO DE VALONGO	ORDOVÍCICO: Lanvirniano-		
AUTÓCTONE		Landeiliano		
	FORMAÇÃO DE SANTA JUSTA	ORDOVÍCICO: Tremadociano (?) -		
		Arenigiano		
DISCORDÂNCIA				
AUTÓCTONE	FORMAÇÃO DE S. DOMINGOS	CÂMBRICO		
	FORMAÇÃO DE DESEJOSA			
	C.X.G. INDIFERENCIADO			

Na área abrangida pela Folha 1 da Carta Geológica de Portugal na escala 1/200.000, podemos distinguir três terrenos diferentes: os terrenos **autóctones** com litologias datadas desde o Câmbrico até ao Carbónico, os terrenos **parautóctones** e os terrenos **alóctones**.

Seguidamente, apresentamos de uma forma simplificada as principais caraterísticas destes terrenos.

#### A. Terrenos Autóctones

Os terrenos autóctones caraterizam-se pela presença de litologias que datam desde o Câmbrico até ao Carbónico.

O Câmbrico é representado pelo grupo do Douro, habitualmente conhecido por Complexo Xisto Grauváquico (CXG), este grupo está bem representado na região de Pinhão - S. João da Pesqueira, onde Sousa (1982) *in* Cabral *et al.* (1992) estabeleceu a base da divisão litoestratigráfica do Grupo do Douro (GD), e no antiforma de Valongo que entretanto se encontra separado do GD pelo granito de Guimarães – Castelo de Paiva.

O Ordovícico é também um período geológico bem representado nos terrenos autóctones vulgarmente conhecidos como "dorsal" da Península Ibérica; este período é caraterizado pela presença de três formações importantes: Formação de Santa Justa, Formação de Valongo e Formação de Sobrido.

Os períodos Silúrico e Devónico (provável) também se encontram representados nos terrenos autóctones em três formações: Xistos carbonosos inferiores, Xistos carbonosos superiores e Formação do Sobrado.

No soco hercínico pode-se também observar litologias que datam do Devónico, estas litologias estão bem definidas na Formação de Telheiras.

Finalmente, o último período representado nos terrenos autóctones, o Carbónico, materializado pela presença de três unidades litoestratigráficas: Unidade de Bougado, Unidade de Ervedosa e Unidade de S. Pedro Fins – Midões.

#### B. Terrenos Parautóctones

Face ao estado atual dos conhecimentos, a flecha de deslocação das unidades parautóctones pode atingir dezenas de quilómetros e das unidades alóctones as centenas de quilómetros (Ribeiro *et al.*, 1983; Ribeiro *et al.*, 1989, *in* Cabral *et al.*, 1992). Estas unidades resultam do empilhamento de terrenos que interrompem o processo de sedimentação do CXG e truncam os terrenos autóctones dando lugar, na sua frente, a novas sequências de *flysh* tanto mais recentes quanto se caminha no sentido da polaridade da cadeia, isto é, no sentido leste.

O parautóctone do Noroeste de Portugal encontra-se separado do autóctone por um carreamento basal – carreamento de Vila Verde e está representado pela Unidade do Minho Central e Ocidental que se sobrepõe à Formação de Santa Justa (Quartzito do Armoricano) localmente de fraca espessura; a sul da localidade de Vila Verde, instala-se sobre um nível de xistos ampelitosos e vai, sucessivamente, delaminando a Formação de Valongo e a Formação de Sobrido até ser intercetado pelo maciço granítico da Serra de Perre, e, mais para sul, pelo batólito granítico do Minho. Quanto à sequência litoestratigráfica desta unidade é caraterizada da base para o topo do seguinte modo: na base a unidade inicia-se por um nível de xistos ampelitosos a que se sobrepõem xistos negros andaluzíticos, contendo na parte superior níveis finos de liditos; sucede-se uma sequência monótona de xistos cinzentos, às vezes ligeiramente gresosos onde também é visível uma alternância de leitos centimétricos de filitos e metassiltitos, nodulares devido à presença de andaluzite.

#### C. Terrenos Aóctones

Estes terrenos estão representados no Minho por uma unidade, "Unidade de Vila Nune e Valença" que foi formalmente definida na região da Vila Nune-Mondim de Basto, aquando da elaboração da carta geológica de Mondim de Basto (Pereira & Ribeiro, 1983; Pereira, 1987, *in* Cabral *et al.*, 1992).

A Unidade de Vila Nune e Valença, carateriza-se da base para o topo, por uma sequência de quartzitos imaturos micáceos e xistentos com intercalações de quartzitos

compactos; vulcanitos intermédios-básicos em níveis dispersos; vulcanitos ácidos bandados ou, mais frequentemente, tufos e tufitos associados a níveis escarníticos; xistos superiores, essencialmente, pelíticos, ou compostos por alternâncias à escala centimétrica de filitos e metarenitos.

#### IV.3.1.2. Rochas graníticas

Grandes áreas do mapa geológico da Folha 1 na escala 1/200.000 são abrangidas por rochas granitóides Variscas que se diferenciam umas das outras através de caraterísticas como a textura, composição mineralógica e quimismo. A tabela IV.3.2. apresenta, esquematicamente, a distribuição dos granitóides Variscos no setor entre Douro e Minho; este quadro baseia-se em dados apresentados na notícia explicativa da Folha 1 na escala 1/200.000 da Carta Geológica de Portugal.

Tabela IV.3. 2. Esquematização dos granitóides presentes no setor entre Douro e Minho. Adapt. Cabral et al. (1992).

GRANITÓIDES VARISCOS			
Granitos de duas micas			
Sintectónicos relativamente a D2	Sub-autóctones		
	γ' <sub>2</sub> - Granito de grão fino de duas micas		
	<u>Autóctones</u>		
	γ' <sub>3z</sub> - Migmatitos, gnaisses granitos nodulares		
	<u>Sub-autóctones</u>		
	γ'₃- Granito de grão fino, biotítico		
	γ' <sub>3</sub> - Granito inomogéneo, de grão médio a fino		
	γ' <sub>3</sub> - Granito de grão médio, de duas micas, às vezes com restitos		
Sintectónicos relativamente a D3	γ' <sub>3</sub> - Granito de duas micas, de grão fino, às vezes conservando estruturas primárias e grão fino a médio		
	γ' <sub>3</sub> - Restitos granodioríticos às vezes com megacristais de biotite		
	<u>Alóctones</u>		
	ɣ'₃- Granito de grão médio de duas micas		
	γ' <sub>3</sub> - Granito de grão médio, de duas micas com esparsos megacristais		
	γ' <sub>3</sub> - Granito de grão médio ou grosseiro, de duas micas (		
	γ' <sub>3</sub> - Granito de grão grosseiro, de duas micas		
	${\gamma'}_3$ - Granito de grão médio, de duas micas, porfiróide		
	<u>Alóctones</u>		
Sin a tardi-tectónicos relativamente a D3	γ' <sub>4</sub> - Granito de grão grosseiro, moscovítico-turmalínico		
	γ' <sub>4</sub> - Granito de grão fino, de duas micas, porfiróide		

	γ' <sub>4</sub> - Granito de grão grosseiro de duas micas com raros megacristais			
Granitos biotíticos com plagioclase cálcica e seus diferenciados				
Ante a sin-tectónicos (relativamente a D3)	Série precoce  γ"1- Granodiorito porfiróide, biotíticos, com megacristais muito desenvolvidos  γ"1- Granitos e granodioitos de grão médio, porfiróides, com duas micas			
Sin a tardi-tectónicos (relativamente a D3)	γ" <sub>2</sub> - Granodioritos e quartzodioritos biotíticos, porfiróides ou com esparsos megacristais γ" <sub>2</sub> - Granito porfiróide de grão grosseiro essencialmente biotítico			
Tardi a pós-tectónico relativamente a D3 ( <u>Série tardia)</u>	<ul> <li>γ"<sub>3</sub>- Granodioritos e quartzodioritos biotíticos com rochas básicas associadas</li> <li>γ"<sub>3</sub>- Granito monzonítico de grão médio porfiróide com duas micas, essencialmente biotítico</li> <li>γ"<sub>3</sub>- Granito de grão fino a médio com esparsos megacristais com duas micas essencialmente biotítico</li> <li>γ"<sub>3</sub>- Granito de grão fino de duas micas, essencialmente biotítico</li> <li>γ"<sub>3</sub>- Microgranito de grão fino, às vezes turmaliníticos</li> </ul>			
Pós-tectónicos relativamente a D3	γ"'- Granito, às vezes, porfiróide, de grão fino, biotítico γ"'- Granito porfiróide, de grão médio, biotítico γ"'- Granito porfiróide, de grão grosseiro a médio, biotítico			

#### II.3.1.3. Filões e massas

- δ Rochas básicas: os filões deste tipo ocorrem com bastante frequência e em grande abundância, mas geralmente encontram-se alterados. A rocha mais típica destes filões é o lamprófiro (espersartito) podendo ocorrer outras fácies como o dunito (exemplo: Dunito de Lamas de Mouro).
- **q Quartzo:** o quartzo que ocorre um pouco por toda a carta apresenta-se fraturado e, por vezes, com aspeto brechóide.
- **y**ap **Pegmatito e Aplito-pegmatito:** ocorrem em geral em filões e apresentam uma textura xenomórfica granular, por vezes sacaroide, com cristalização simultânea de quartzo e feldspato, associando-se em geral moscovite. Como minerais acessórios temos biotite, cordierite, apatite, granada e turmalina.

**μγ - Pórfiro microdiorítico quartzífero:** ocorrem em filões e são rochas com uma textura porfírica de matriz feldspato-biotito-anfibólica acompanhada por quartzo recristalizado.

#### IV.3.2. Geologia Local

A geologia da área em estudo — **área de Godinhaços** — é representada essencialmente por granitos variscos. A descrição das litologias é baseada na notícia explicativa da Folha 1 na escala 1/200.000 da Carta Geológica de Portugal publicada em Lisboa por Cabral *et al.*, 1992, na Folha 5-B (Ponte da Barca) na escala 1/50.000 da Carta Geológica de Portugal publicada em Lisboa por Cândido de Medeiros *et al.*, 1975 e, a nomenclatura usada, nos mapas geológicos da área de Godinhaços, apresentados neste documento baseiam-se na legenda da Folha Norte na escala 1/500.000 da Carta Geológica de Portugal publicada em Lisboa em 1992. A cartografia geológica de pormenor é baseada num projeto coordenado por J. Farinha em 2002.

Seguindo uma ordem do mais recente para o mais antigo, a área de Godinhaços é representada pelas seguintes litologias:

#### II. 3.2.1. Moderno

**Aluviões atuais (a):** na região de Duas Igrejas, o rio Neiva apresenta um vale largo e coberto por estes depósitos recentes de sedimentos não consolidados.

#### II.3.2.2. Rochas graníticas

i. Granito de duas micas de grão médio indiferenciado (sin-D<sub>3</sub>), Granito de Vila Verde (γ'<sub>3</sub>): segundo a notícia explicativa da Folha 5-B (Ponte da Barca) à escala 1/50.000, este granito é designado por granito não porfiróide de grão médio ou grosseiro a médio - γ<sub>m</sub>; na notícia explicativa da Folha 1 na escala 1/200.000 da Carta Geológica de Portugal o granito é classificado como granito de grão médio, de duas micas com esparsos megacristais - γ'<sub>3</sub>. Este granito contacta em toda a sua extensão com o granito de Braga. A passagem do granito de Vila Verde para o granito de Braga é gradual por desaparecimento ou rarefação dos megacristais de feldspato. Este granito encontra-se por vezes muito alterado. É constituído essencialmente por quartzo, feldspato potássico e oligoclase; é pouco biotítico e contém, também, alguma moscovite além dos minerais acessórios comuns. Segundo J. Farinha (2002) este granito apresenta

orientação, tendo uma foliação magmática incipiente com direção dominante NE-SO e pendor dominante para sul. Nestes granitos instalaram-se filões de quartzo, por vezes bandados e com sulfuretos onde domina a arsenopirite.

- ii. Granito monzonítico de grão grosseiro porfiróide (tardi a pós-D<sub>3</sub>), Granito de Ponte da Barca (x"3b): segundo a notícia explicativa da Folha 5-B (ponte da Barca) na escala 1/50.000 este granito é designado por granito porfiróide de grão grosseiro ou médio a grosseiro -  $\gamma_{\pi g;}$  na notícia explicativa da Folha 1 na escala 1/200.000 da Carta Geológica de Portugal o granito é classificado como granito monzonítico de grão médio porfiróide com duas micas, essencialmente biotítico - γ"3. Este é o granito mais representativo da região. Trata-se de um granito, monzonítico, de duas micas com biotite dominante. Os feldspatos são em geral brancos ou acinzentados. As dimensões dos megacristais são variáveis, podendo uma secção retangular atingir, por vezes 7x5 cm<sup>2</sup>. Mostra sinais de deformação traduzidas, principalmente, pela presença de quartzo com estrutura suturada e extinção ondulante e por deflexões mais ou menos intensas, dos planos de macla das plagióclases e dos planos de clivagem das micas. O feldspato mais abundante é a plagióclase, em megacristais ou como constituinte da matriz.
- iii. Granito monzonítico de grão médio com raros megacristais (tardi a pós-D<sub>3</sub>), Granito de Braga (γ"<sub>3c</sub>): segundo a notícia explicativa da Folha 5-B (ponte da Barca) na escala 1/50.000 este granito é designado por granito porfiróide de grão médio ou fino a médio γ<sub>πm;</sub> na notícia explicativa da Folha 1 na escala 1/200.000 da Carta Geológica de Portugal o granito é classificado como granito de grão fino a médio com esparsos megacristais com duas micas essencialmente biotítico γ"<sub>3.</sub> O granito é geralmente caraterizado como sendo porfiróide, de grão médio a fino biotítico. Trata-se de um granito calco-alcalino com plagióclase do tipo andesina. Os megacristais deste granito são de pequenas dimensões. A moscovite é escassa, comparando com a quantidade de biotite, e ocorre ao longo das superfícies de clivagem da biotite. Por processos de alteração é frequente a transformação da biotite em clorite e epídoto.
- iv. Granito moscovítico-biotítico de grão fino (tardi a pós-D<sub>3</sub>), Granito de S. Mamede (γ''<sub>3d</sub>): segundo a notícia explicativa da Folha 5-B (Ponte da Barca) na escala 1/50.000 este granito é designado por granito não

porfiróide de grã fino -  $\gamma'_{f;}$  na notícia explicativa da Folha 1 na escala 1/200.000 da Carta Geológica de Portugal, o granito classifica-se como granito de grão fino de duas micas, essencialmente biotítico -  $\gamma''_{3}$ . A textura é xenomórfica granular. A quantidade de feldspato potássico e de moscovite é superior comparativamente, às rochas referidas anteriormente. Segundo J. Farinha (2002) os filões e filonetes de quartzo são raros neste granito, mas quando existem apresentam-se com uma orientação NE-SE, subverticais e desprovidos de sulfuretos.

#### IV.3.2.3. Rochas filonianas

**Filões de quartzo (q):** Entre os filões de quarto mais importantes, destacam-se os de Godinhaços-Pedregais com cerca de 2 a 3 km de extensão, orientados na direção NE-SO e encaixados em parte no granito de duas micas de grão médio indiferenciado (sin-D<sub>3</sub>), Granito de Vila Verde e no Granito monzonítico de grão médio com raros megacristais (tardi a pós-D<sub>3</sub>), Granito de Braga. O quartzo presente nestes filões está intensamente fraturado com aspeto brechóide não consolidado. Notam-se, tanto nos filões, como no granito, pequenas falhas, com orientação e inclinação idêntica à dos filões, algumas com enchimento argiloso e lisos de falhas.

Filões de rochas básicas (δz): Os filões básicos apresentam-se em quantidades consideráveis em toda a área, tomando especial atenção o filão que acompanha o filão de quartzo na zona de Godinhaços. Estes filões são constituídos por rochas de textura porfírica. A matriz, formada por redes de plagióclases e anfíbolas, rodeia alguns fenocristais idiomórficos de anfíbola, podendo atingir 1 mm. A plagióclase com cerca de 40% de moles de Na, encontra-se bastante alterada. Nestes filões ocorre, ainda que em pequenas quantidades clorite, calcite e minerais opacos. A presença de elevada percentagem de minerais máficos, o aparecimento de duas gerações de anfíbolas e o carácter porfírico produzido pela ocorrência de fenocristais ferromagnesianos idiomórficos, permitem classificar esta rocha como lamprófiro de composição diorítica.

O mapa apresentado na figura seguinte representa o mapa geológico elaborado para a área de Godinhaços.

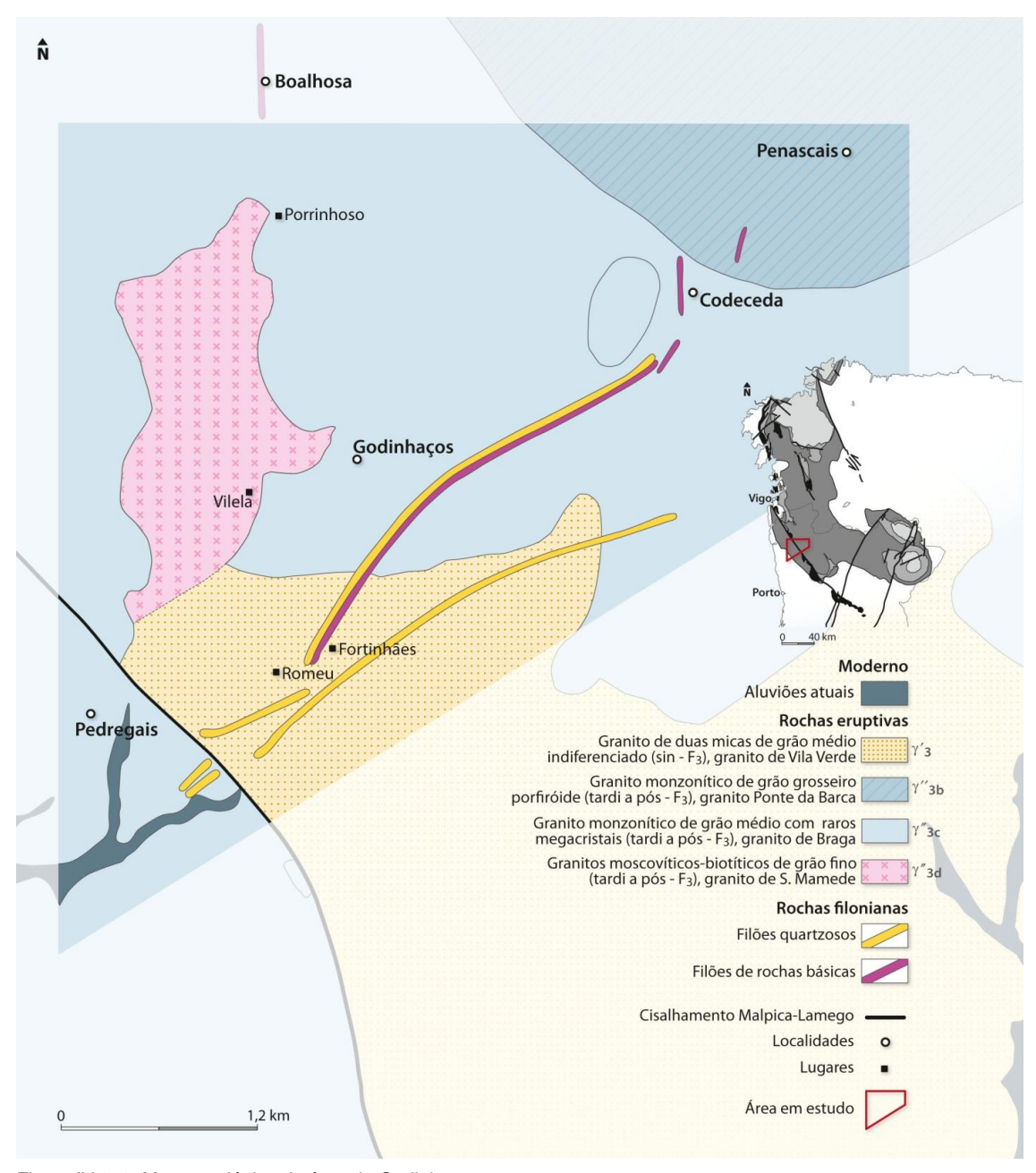


Figura IV.3. 2. Mapa geológico da área de Godinhaços.

# ESTUDO DA ÁREA DE GODINHAÇOS

CAPÍTULO V

# V.1. Introdução

Para a realização da parte prática desta dissertação foram usadas várias metodologias que permitiram caraterizar, sob o ponto de vista petrofísico e petrográfico, as rochas graníticas da área de Godinhaços, mais precisamente, o granito de S. Mamede e de Vila Verde. As metodologias, os respetivos equipamentos, a amostragem elaborada na área de Godinhaços e os resultados obtidos serão desenvolvidos nos capítulos seguintes.

# V.2. Levantamento geológico

Para o reconhecimento da geologia da área em estudo –área da Godinhaços-recorreu-se à cartografia geológica já existente; as duas principais cartas utilizadas para este efeito foram a Folha 5B (Ponte da Barca) na escala 1/50.000 da Carta Geológica de Portugal por Cândido de Medeiros *et al.* (1975) e correspondente notícia explicativa e o mapa de cartografia geológica de pormenor na escala 1/2.500 elaborado por J. Farinha (2002).

#### V.2.1. Metodologia

Dos diferentes indícios de mineralizações reconhecidos nesta região e descritos, por Nogueira (1997), escolheram-se as que se encontram representadas em Godinhaços para a realização dos estudos. No campo observou-se a presença de afloramentos graníticos pouco alterados e de fácil acesso o que facilitou, em parte, a amostragem do local para posterior estudo em laboratório.

Após se escolherem os locais com as condições ideais para a recolha de amostras de qualidade, procedeu-se ao levantamento da atitude de algumas estruturas visíveis no maciço. Na tabela V.2.1. encontram-se descritas as atitudes de algumas diaclases medidas no terreno com o auxílio de uma bússola.

Tabela V.2. 1. Atitude de alguns planos de diaclasamento presentes nas litologias instaladas na área de Godinhaços.

LITOLOGIA	IDENTIFICAÇÃO	ATITUDE DO PLANO	RETA MAIOR DECLIVE
Granito de Braga	SM4	N080°E;45°NO	45°→N350°E
	SM9	N060°E;SUBV	90°→N330°E
		N060°E;SUBV	90°→N330°E
Granito de Vila Verde	SM12	N094ºE;SUBV	90°→N004°E
	SIVITZ	N064ºE;SUBV	90°→N334°E
		N048°E;40°NO	40°→N318°E
		N070ºE;VERT	90°→N340°E
	SM17	N170ºE;50ºO	50°→N160°E
		N078º;VERT	90°→N348°E
Granito de Braga		N060ºE;VERT	90°→N330°E
		N066ºE;74ºO	74°→N336°E
		N160°;50°O	50°→N250°E
		N158°;70°O	70°→N148°E
		N100°;80°NE	80°→N010°E
		N-S;50°O	50°→N270°E
	SM19	N130º;85ºSO	85°→N220°E
Granito de S. Mamede		N060°;70°SE	70°→N150°E
		N130º;VERT	90°→N40°E
	SM21	N040°;50°SE	50°→N130°E
	31VIZ 1	N020°;40°SE	40°→N110°E

O estudo estatístico do diaclasamento no maciço fornece-nos boas informações relativamente ao estado de fraturação do maciço e qual a família ou famílias de diáclases dominantes na área em estudo, questão que se desenvolverá mais adiante.

#### V.2.2. Resultados

O DIPS, desenvolvido pela *Rocscience*, é um dos programas mais utilizados para o tratamento estatístico de dados geológicos de descontinuidades e identificação preliminar de situações potenciais de instabilidade estrutural de maciços rochosos. Sendo o DIPS é um programa de desenho, análise e apresentação de dados estruturais através de técnicas de projeção estereográfica, foi o software utilizado neste trabalho para o estudo estatístico do diaclasamento.

No DIPS quando preenchemos as tabelas fornecidas temos que ter em atenção que as atitudes digitadas são as retas de maior declive correspondentes a cada plano de descontinuidade. Na tabela V.2.1. encontram-se registadas as atitudes correspondentes aos planos de descontinuidade medidos no campo. Visto que este estudo se baseou na recolha de vinte descontinuidades, este estudo pode não ser representativo do que realmente se passa a nível regional, mas de qualquer das formas já nos permite ter uma ideia de qual(ais) a(s) família(as) de diaclases mais frequente(s).

Na figura V.2.1. apresenta-se um estereograma com a distribuição das zonas de isodensidades de pólos, e observa-se a existência de duas zonas de isodensidades mais expressivas.

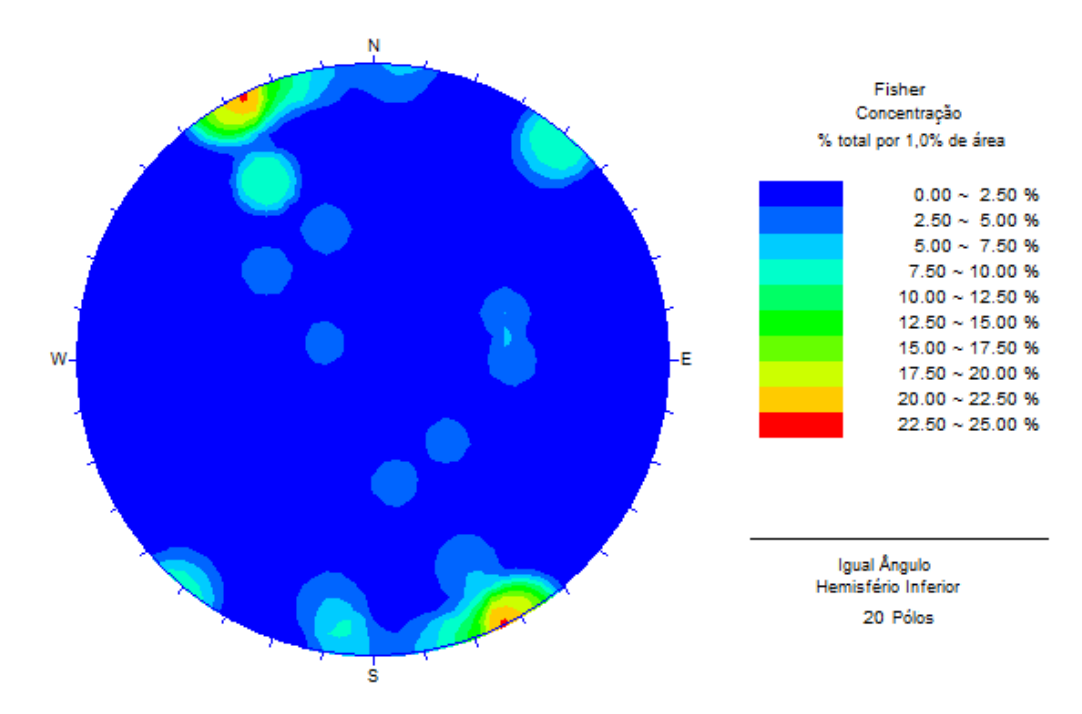


Figura V.2. 1. Estereograma representativo da distribuição das zonas de isodensidades de pólos.

O estereograma que se encontra ilustrado na figura V.2.2. representa a projeção dos pólos correspondentes a cada descontinuidade.

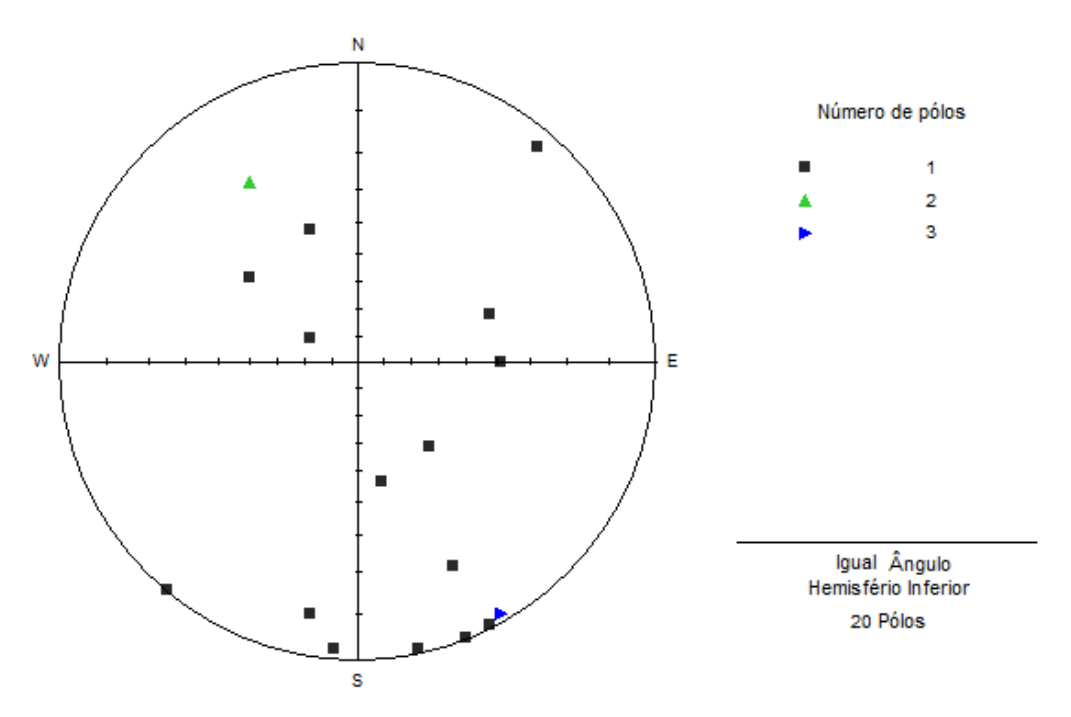


Figura V.2. 2. Projeção dos pólos representativos das descontinuidades.

O estereograma anterior permitiu concluir, segundo estas medições, as duas famílias de diáclases que se encontram com maior abundância na área de Godinhaços. A representação destas duas famílias encontra-se ilustrada na figura V.2.3.

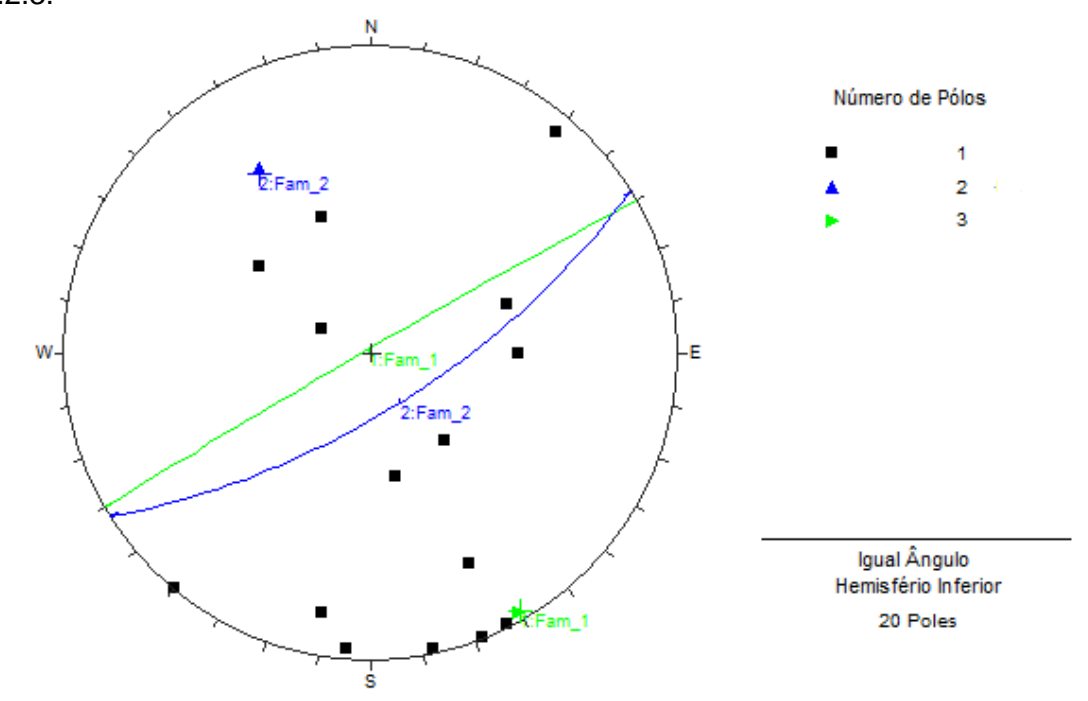


Figura V.2. 3. Representação das duas famílias de diaclases com maior expressividade na área de Godinhaços.

Na tabela V.2.2. encontram-se registadas as atitudes das duas famílias de diáclases projetadas no estereograma representado na figura anterior.

Tabela V.2. 2. Atitudes	das famílias	de diaclasamento	mais expressiva	s na área d	le Godinhacos.
. 450.4 1.2.2.7 1.114400		40 4140140411101110	0745.000.14		io oouii ii iaqoo.

	ATITUDES			
Identificação	Pólos Plano de diaclasament			
Fam_1	2°→N150°E N040°E;88°NO			
Fam_2	21°→N328°E	N058ºE;69ºSE		

O diagrama de rosetas apresentado seguidamente reforça a ideia de que as famílias de diáclase dominantes na área de Godinhaços são as referidas na tabela V.2.2.

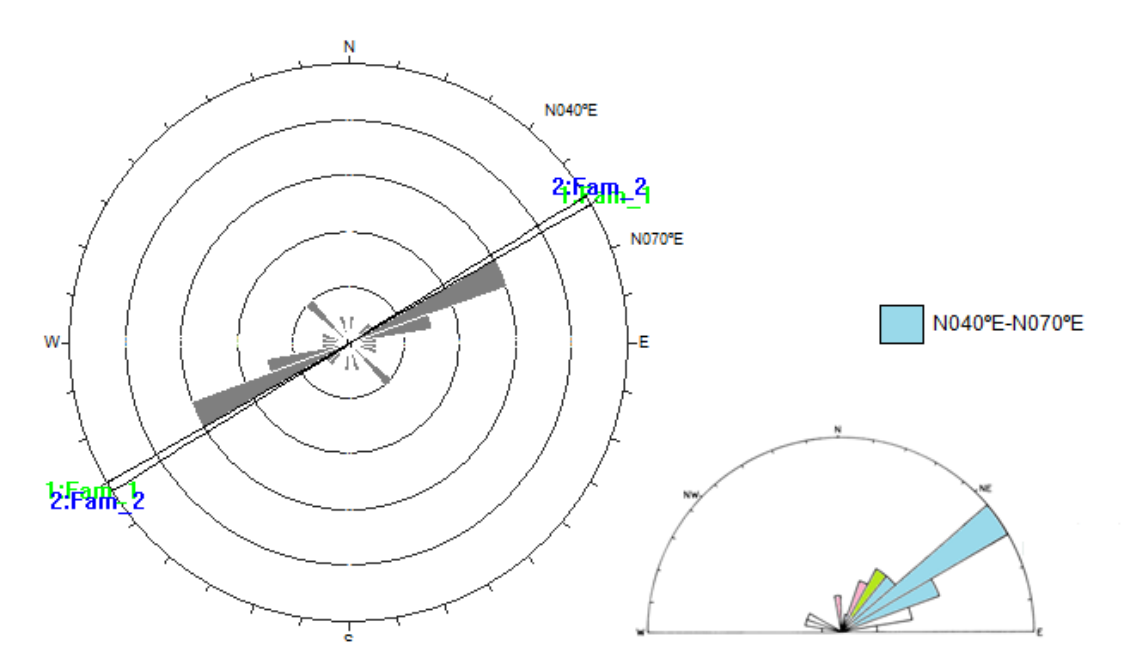


Figura V.2. 4. Diagrama de rosetas das descontinuidades da área de Godinhaços. Canto inferior direito: diagrama das orientações das estruturas mineralizadas no NW de Portugal. *Adapt*. Noronha & Ramos (1993).

# V.3. Estudo petrofísico

# Introdução

Tendo em conta o objetivo a que se propõe esta dissertação – caraterização da anisotropia de suscetibilidade magnética (ASM) nos granitos (s.l.) cortados por filões quartzosos mineralizados em ouro – percorreu-se toda a área, tentando encontrar locais onde os afloramentos reunissem as melhores condições para o estudo da ASM. Em Godinhaços observa-se a presença de conjuntos de filões quartzosos orientados, grosseiramente, NNE-SSO e NE-SO (figura V.3.1.) tendo sido estas estruturas que funcionaram como ponto de partida para a recolha das amostras.

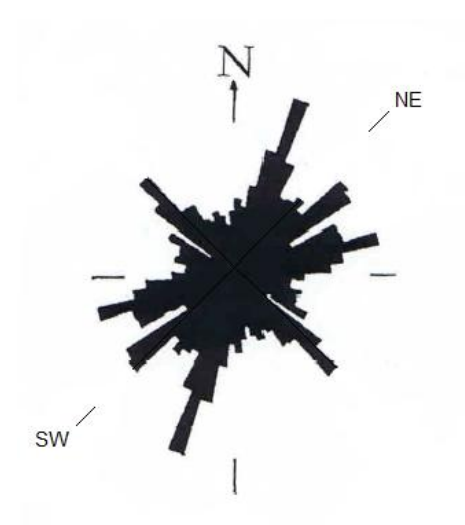


Figura V.3. 1. Orientação dos filões de quartzo mineralizados em ouro (Au) no Norte de Portugal. *Adapt.* Cottard (1982).

#### Conceitos teóricos

A anisotropia de suscetibilidade magnética (ASM) é uma técnica com elevada importância no estudo estrutural de granitóides que não apresentam evidências macroscópicas de deformação, pois permite determinar a orientação da foliação e da lineação em rochas com baixa anisotropia (Sousa *et al.*, 2011).

A suscetibilidade magnética, K (unidades SI=4π unidades CGS), de um corpo está diretamente relacionada com a magnetização induzida, M, e o campo magnético externo, H a que o corpo está sujeito e expressa-se, segundo a fórmula matemática M=KH. Segundo Bouchez (1997), *granite is never isotropic*, sendo assim o estudo da anisotropia da suscetibilidade magnética nas rochas graníticas pertencentes à área de Godinhaços, será representada por um tensor simétrico de 2ª ordem da forma: M<sub>i</sub>=K<sub>ij</sub>H<sub>j</sub> (i,j=1,2,3) em que M<sub>i</sub> traduz a magnetização na direção i, H<sub>j</sub> representa o campo indutor efetivo na direção j. O sólido geométrico representativo daquele tensor é um

elipsóide triaxial (figura V.3.2.). Medindo a magnetização induzida em três direções ortogonais acede-se aos termos diagonais e simétricos do tensor. A diagonalização desta matriz permite obter três vetores  $K_{11}$ ,  $K_{22}$ ,  $K_{33}$ . A intensidade desses vetores próprios e a sua orientação (direção e inclinação) no referencial geográfico fornecem os semieixos do elipsóide da ASM tal que:  $K_{11}=K_1$  ( $K_{máx}$ ),  $K_{22}=K_2$  ( $K_{int}$ ),  $K_{33}=K_3$  ( $K_{min}$ ) com  $K_1 \ge K_2 \ge K_3$  (Sant'Ovaia & Noronha, 2005).

Bouchez (1997) afirma que existe uma correlação entre o *fabric* mineral da rocha e o elipsóide de suscetibilidade magnética (K), sendo o eixo maior do elipsóide, K<sub>1</sub> paralelo à lineação magnética e o eixo menor, K<sub>3</sub> perpendicular à foliação magnética.

Os valores dos eixos de suscetibilidade descrevem o elipsóide da ASM (figura V.3.3.) (Gomes & Sant'Ovaia, 2015), assim:

- Se K₁≈K₂≈K₃, a forma geométrica será uma esfera e a suscetibilidade uma propriedade isotrópica;
- Se K₁>K₂ e K₂≈K₃, estes dois eixos distribuir-se-ão na mesma direção, criando um fabric linear, e o elipsóide é prolato (em forma de charuto);
- Se K₁≈K₂ e K₂>K₃, os primeiros distribuem-se num plano, criando um fabric foliado, e o elipsóide é oblato (achatado, com uma forma discoidal).
- Se K₁>K₂>K₃, o elipsóide é plano-linear.

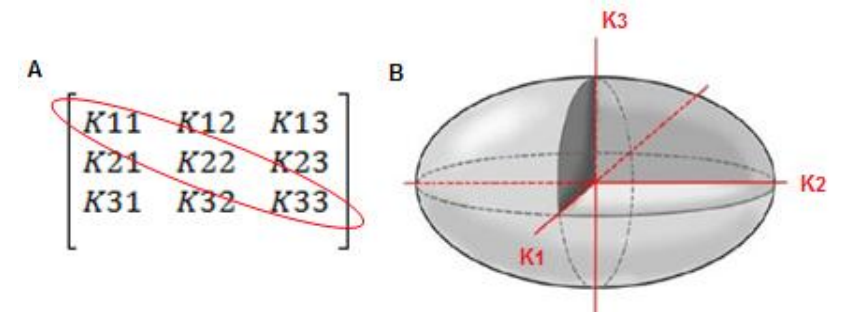


Figura V.3. 2. A: tensor simétrico de 2ª ordem representativo da suscetibilidade magnética, K; B: elipsóide triaxial representativo do tensor simétrico de 2ª ordem.

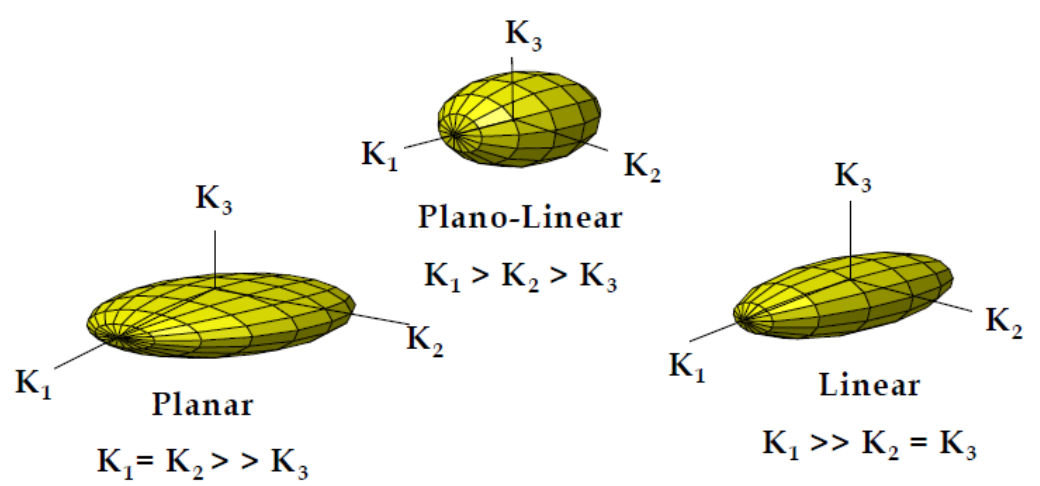


Figura V.3. 3. Modelos de elipsóides de anisotropia de suscetibilidade magnética. *Adapt.* Gomes & Sant'Ovaia (2015).

O ferro é o principal elemento responsável pelo sinal magnético emitido pela rocha quando sujeita a um campo magnético externo (H); assim a rocha pode apresentar um comportamento ferromagnético (s.l.) (isto é, inclui o ferromagnetismo (s.s.), o antiferromagnetismo e o ferrimagnetismo), paramagnético ou diamagnético (figura V.3.4.). O paramagnetismo é caraterizado por uma suscetibilidade magnética positiva, K<sub>para</sub>, promovida pelo ferro contido nos silicatos presentes na rocha. Nos granitos, as fases minerais responsáveis por este comportamento são a biotite, moscovite e a anfíbola e, como minerais acessórios, temos a piroxena, granada, cordierite, epídoto e a turmalina, contudo podemos conter também óxidos, que no caso seria a ilmenite. A hematite e a goethite apresentam um comportamento antiferromagnético com valores de suscetibilidade magnética, Kantiferro, inferiores aos paramagnéticos. O ferromagnetismo (s.l.), K<sub>ferro</sub>, apresenta uma suscetibilidade magnética positiva quando sujeita a um campo magnético induzido, voltando ao zero quando este campo magnético, elevado, deixa de atuar sobre o corpo. A magnetização residual (M<sub>r</sub>), ou remanescente, serve como base para estudos de paleomagnetismo. Nos granitos, o principal mineral responsável por este comportamento é a magnetite. Finalmente, o diamagnetismo comporta valores de suscetibilidade magnética negativos, Kdia, as fases minerais responsáveis por este comportamento são aquelas em que o ferro não faz parte da sua estrutura cristalina (cerca de 80% dos minerais constituintes de um granito), de que são exemplo o quartzo, o feldspato entre outros. A suscetibilidade magnética média de um granito é caraterizada pelo somatório de todas as suscetibilidades magnéticas medidas: K=K<sub>para</sub>+K<sub>ferro</sub>+K<sub>antiferro</sub>+K<sub>dia</sub>≈K<sub>para</sub>+K<sub>ferro</sub>, pois K<sub>antiferro</sub> e K<sub>dia</sub> apresentam valores insignificativos.

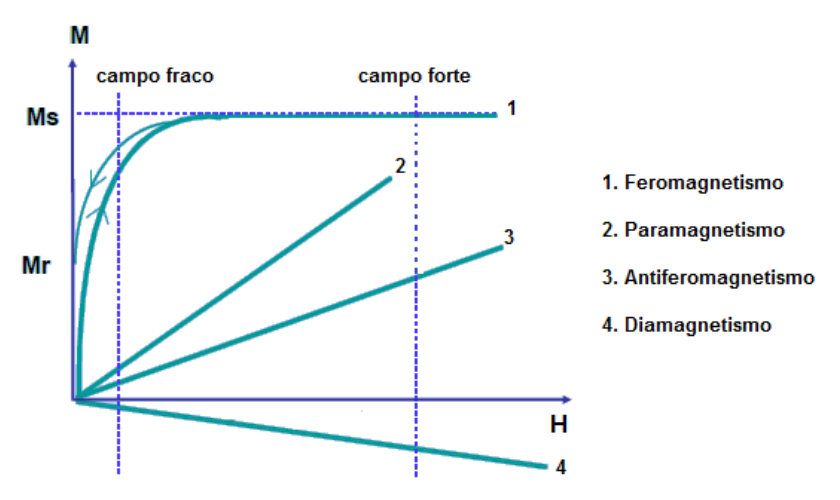


Figura V.3. 4. Suscetibilidade magnética (K); magnetização (M) em função do campo magnético externo induzido (H); Ms: magnetização de saturação, Mr: magnetização remanescente. *Adapt.* Bouchez (1997).

A ordem de grandeza da suscetibilidade magnética de uma rocha está diretamente relacionada com a composição mineralógica dessa mesma rocha, assim se medirmos a suscetibilidade magnética duma rocha com comportamento paramagnético, esta apresentará valores de K≈K<sub>para</sub> com uma ordem de grandeza de 10<sup>-6</sup> SI, enquanto que numa rocha com comportamento ferromagnético (*s.l.*) obterá valores de K≈K<sub>ferro</sub> com uma ordem de grandeza de 10<sup>-3</sup> SI, como se pode verificar na figura V.3.5.

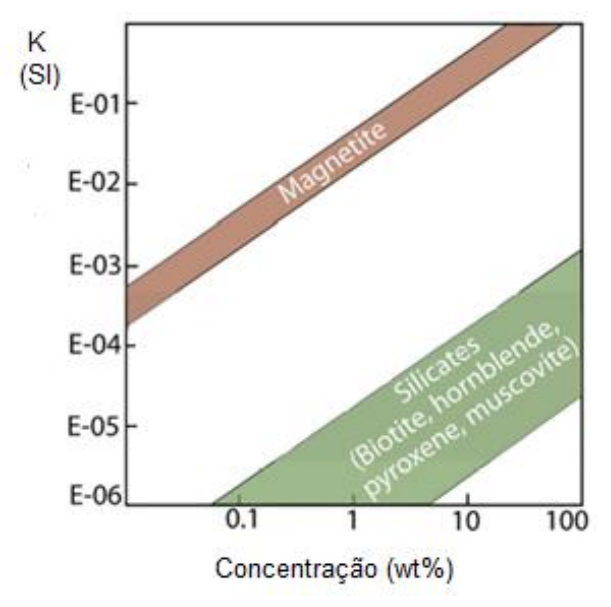


Figura V.3. 5. Relação entre a suscetibilidade magnética (K, SI) e a percentagem de ferro expresso em percentagem em peso (wt%). *Adapt.* Parés (2015).

Baseado em estudos petrográficos efetuados em minerais opacos presentes em lâminas de granito, Ishihara (1977) dividiu os granitóides em dois grandes grupos os "magnetite-bearing magnetite-series" ou "magnetite-type" e os "magnetite-free ilmenite-series" ou "ilmenite-type" (figura V.3.6.), esta classificação assenta na composição mineralógica de cada rocha, assim temos:

- "Magnetite-series": magnetite (0.1-2 vol. %), ilmenite, hematite, pirite, esfena, epídoto e biotite (elevada Mg/Fe);
- "Ilmenite-series": ilmenite (menos de 0.1 vol. %), pirrotite, grafite, moscovite e biotite (baixa Mg/Fe).

Ishihara (1977) considera que a génese dos granitóides de cada série se concebeu a níveis estruturais diferentes, assim para a série da magnetite considera-se

que esta se terá gerado a níveis estruturais profundos (manto superior e crusta inferior) e que não teve nenhum contacto com a fronteira do Carbono, em contrapartida, para a série da ilmenite considera-se uma génese a um nível estrutural mais elevado (crusta continental média a inferior) com interferência e mistura de rochas metamórficas e sedimentares a vários níveis durante a sua formação.

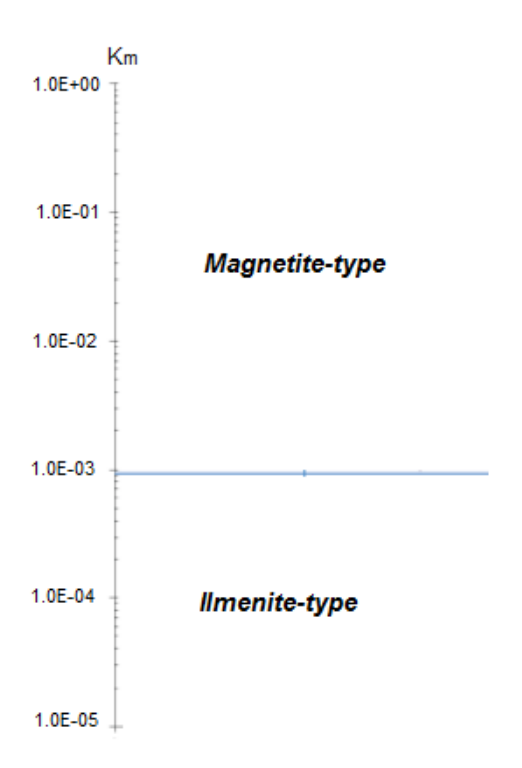


Figura V.3. 6. Relação entre a suscetibilidade magnética média (Km) e as séries graníticas propostas por Ishihara (1977).

#### **Aplicações**

Os estudos de anisotropia de suscetibilidade magnética (ASM) são elaborados com diversos objetivos e permitem dar resposta a questões de investigação em áreas distintas da Geologia, de que são exemplo o estudo das rochas ígneas, sedimentares e metamórficas, os seus processos de formação e de deformação (Gomes & Sant'Ovaia, 2015). Possibilitam, ainda, num sentido mais amplo, responder a questões de Paleogeografia e de Tectónica.

Borradaile & Henry (1997) descreveram as principais aplicações do estudo da ASM, estas encontram-se sumarizadas seguidamente:

Ferramenta versátil para a descrição do petrofabric da rocha;

- Capacidade de inferir a orientação-distribuição dos minerais responsáveis pela emissão do sinal magnético nas rochas, isto é, dá-nos informações direcionais como a lineação (// a K₁) e foliação (<sup>⊥</sup> a K₃) magnéticas;
- Permite-nos tecer conclusões relacionadas com a tectónica que atua sobre as rochas;
- No caso das rochas graníticas, possibilita-nos, em alguns casos, identificar a trajetória de fluxo do magma, a geometria do corpo granítico e a deformação dominante nessa fácies;
- No caso das rochas sedimentares, proporciona a determinação de direções de paleocorrentes.

### V.3.1. Amostragem

A amostragem da área em estudo tinha como objetivo principal o estudo da anisotropia da suscetibilidade magnética (ASM) nas fácies graníticas instaladas na região. Este estudo implica a recolha de uma amostra orientada numa superfície granítica o menos alterada possível. Para a recolha destas amostras recorreu-se à utilização de uma sonda mecânica portátil com broca de cabeça diamantada (figura V.3.7.) que permite a recolha de amostras cilíndricas orientadas com medidas standard que nunca ultrapassam os 2,5 cm de diâmetro e raramente atingem os 10 cm de comprimento. A marcação da orientação é efetuada *in situ* indicando nas amostras qual o lado do carote que é voltado para o exterior e o seu posicionamento no terreno, com indicação do plano vertical (figura V.3.8.). No livro de campo anotamos para além do número da amostra a orientação do furo indicando o seu azimute e inclinação (figura V.3.9.).



Figura V.3. 7. Material utilizado para a amostragem elaborada na área em estudo; A: Bomba de água para refrigeração da sonda mecânica; B: Sonda mecânica com broca de ponta diamantada; C: Ferramentas utilizadas para a manutenção da sonda; D: Combustível; E: Água para refrigerar a sonda mecânica.

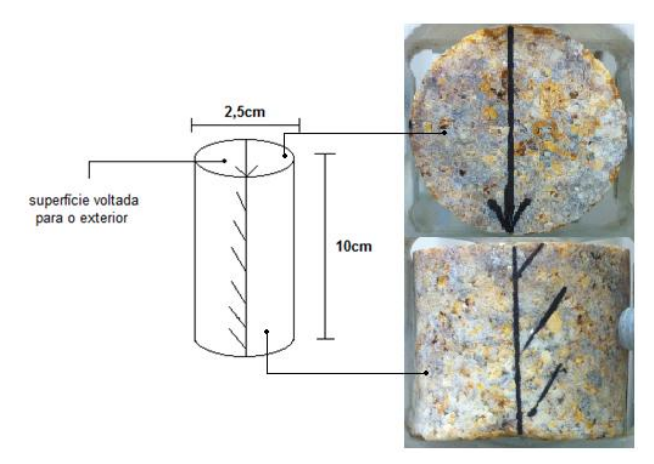


Figura V.3. 8. Carote cortado pela sonda mecânica com a marcação do plano vertical e da superfície voltada para o exterior.



Figura V.3. 9. Medição da atitude do furo no local de amostragem.

Na tabela V.3.1. encontram-se descritos os dados relativos à atitude dos furos de amostragem, dados estes recolhidos *in situ*.

Tabela V.3. 1. Orientação dos furos de amostragem onde foram retirados os carotes para o estudo de ASM; S.O.: amostras sem orientação.

PONTO GPS	LOCAL	AMOSTRA ID	ORIENTAÇÃO DA AMOSTRA  (azimute → inclinação)
	41°42'29"N 8°28'38"O	GD1	38º→N151ºE
41°42'29''N		GD2	33°→N170°E
8°28'38''O		GD3	32→N170°E
		GD4	22º→N112ºE

		GD5	8°→N112°E
		GD6	S.O.
		SB1	0°→N344°E
		SB2	10°→N0°E
41°42'18''N 8°28'45''O	SM12	SB3	0°→N010°E
		SB4	0°→N350°E
		SB5	60°→N340°E
		GD7	8°→N0°
		GD8	10°→N002°E
41° 42'24"N 8°28'48"O	SM13	GD9	40°→N000°
		GD10	14°→N080°E
		DG11	40°→N076°E
		GD12	2°→N000°
41°42'24"N	SM14	GD13	2º→N004°E
8°28'42''O	SW14	GD14	0°→N002°E
		GD15	0°→N008°E
			26°→N088°E
41°42'33''N	SM15	GD17	26°→N082°E
8°28'40"O	31113	GD18	20°→N076°E
		GD19	20°→N074°E
		GD20	36°→N230°E
41°42'42''N	SM16	GD21	30°→N230°E
8°28'29"O	SIVITO	GD22	30°→N234°E
		GD23	32°→N234°E
41°42'24''N	ENTRE SM16-SM17	GD24	S.O.
8°28'49"O		GD25	S.O.
		GD26	0°→N170°E
41°42'29"N	SM17	GD27	0°→N170°E
8°28'15"O	SIVI I I	GD28	0°→N170°E
		GD29	10°→N170°E

	41°42'59"N 8°28'24"O	GD30	S.O.
		GD31	32°→N360°E
8°28'24"O		GD32	40°→N060°E
		GD33	50°→N060°E
		GD34	40°→N080°E
		GD35	40°→N320°E
41°42'29''N 8°28'36''O	SM21	GD36	34°→N320°E
0 20 30 0		GD37	36°→N320°E

Após o reconhecimento da área em estudo e das litologias aflorantes tentou-se, sempre que possível, amostrar todas as fácies graníticas instaladas na área de Godinhaços (figura V.3.10.).

Algumas amostras recolhidas para ASM foram posteriormente cortadas e utilizadas para a realização de lâminas delgadas através das quais se efetuaram estudos petrográficos, estudos estes que abordaremos mais adiante.

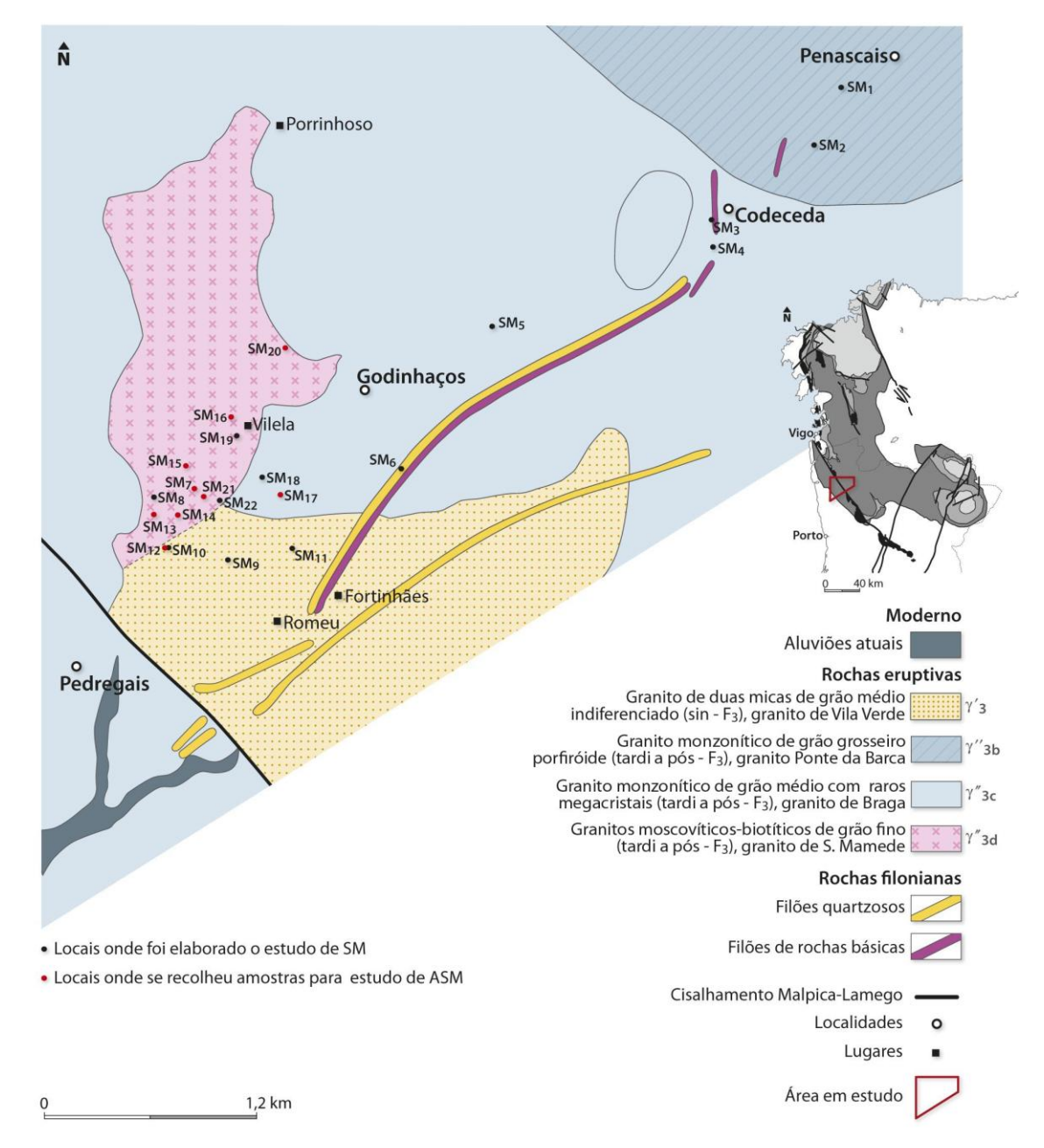


Figura V.3. 10. Mapa geológico com a localização dos locais amostrados para o estudo de ASM e de suscetibilidade magnética na área de Godinhaços (legenda adaptada da Folha 1 da Carta Geológica de Portugal à escala 1/500.000).

### V.3.2. Preparação das amostras

Uma boa amostragem no campo seguida de uma cuidadosa preparação das amostras em laboratório permite a obtenção de resultados reais e fidedignos que nos permite, ainda que ligeiramente, participar no avanço do conhecimento da Geologia do N de Portugal. As amostras foram preparadas e estudadas no Departamento Geociências, Ambiente e Ordenamento de Território (DGAOT) na Faculdade de Ciências da Universidade do Porto (FCUP) recorrendo a diferentes procedimentos consoante os estudos a realizar.

#### V.3.2.1. Metodologia

Após a amostragem dos carotes de granito orientados e identificados *in situ*, estes foram transportados para o laboratório de Geologia da FCUP para sofrerem um conjunto de procedimentos importantes e indispensáveis para que o estudo da ASM seja possível e credível.

Os procedimentos necessários para o tratamento e obtenção de amostras para ASM encontram-se descritos seguidamente:

- i. Corte das amostras: as amostras colhidas no campo pela sonda mecânica portátil apresentam dimensões variáveis no seu comprimento podendo atingir, ainda que raramente, os 10 cm; relativamente, às dimensões do diâmetro não variam muito dos 2,5 cm (valor standard). No laboratório, as amostras foram cortadas usando uma serra elétrica (figura V.3.11.), de forma a obtermos pequenos carotes com dimensões o mais aproximadas possível das dimensões standard (2,5 cm de diâmetro e 2,2 cm de comprimento) ideais para o porta-amostras do equipamento onde se vão realizar os estudos de ASM.
- ii. Identificação das amostras: após o corte das amostras procedeu-se à identificação cuidadosa dos novos carotes para posteriormente avançarmos para o estudo de ASM. As amostras cortadas apresentam agora para além da identificação inicial (exemplo GD33) uma numeração específica que se encontra registada em pormenor na tabela V.3.2.
- iii. Orientação das amostras: depois do corte das amostras procedeu-se, novamente, à remarcação da orientação de cada carote, pois este dado é fundamental para os estudos efetuados posteriormente.



Figura V.3. 11. A: Aparelho de corte das amostras (Baldor.Reliancer industrial motor VL3501-50); B: Fixador do carote para posterior corte, com dimensões standard (2,5 cm de diâmetro e 2 cm de comprimento); C: Serra elétrica instalada no interior do aparelho de corte. Equipamento disponibilizado no Laboratório de Geologia do DGAOT (FCUP).

Tabela V.3. 2. Identificação das amostras após corte dos carotes no laboratório do DGAOT.

LOCAL	IDENTIFICAÇÃO AMOSTRAS	IDENTIFICAÇÃO APÓS CORTE	LOCAL	IDENTIFICAÇÃO AMOSTRAS	IDENTIFICAÇÃO APÓS CORTE
		GD1A		GD17	GD17A
	GD1	GD1B			GD17B
		GD1C		GD18	GD18A
	GD2	GD2			GD18B
SM7	GD3	GD3		GD19	GD19A
	GD4	GD4A		9019	GD19B
	GD4	GD4B		GD20	GD20A
	GD5	GD5A		GD20	GD20B
	GD5	GD5B		GD21	GD21A
	GD6	GD6	SM16	GD21	GD21B
	SB1	SB1A	S	GD22	GD22
		SB1B		0000	GD23A
		SB2A		GD23	GD23B
	SB2	SB2B	ENTRE SM16-	GD24	GD24
SM12	SB3	SB3	SM17	GD25	GD25
	SB4	SB4		GD26	GD26
	CDF.	SB5A	SM17	GD27	GD27A
	SB5	SB5B		GD28	GD28
	007	GD7A		ODOS	GD29A
CM40	GD7	GD7B		GD29	GD29B
SM13	DG8	GD8A	CM20	GD30	GD30A
	DG6	GD8B	SM20	GD30	GD30B

	GD9	GD9A		GD31	GD3A
	GD9	GD9B		GD31	GD31B
	GD10	GD10A		GD32	GD32A
	GD10	GD10B		GD32	GD32B
	GD11	GD11A		GD33	GD33A
	וושט	GD11B		GB33	GD33B
	GD12	GD12		GD34	GD34A
	GD13	GD13A			GD34B
SM14	9013	DG13B			-
	GD14	GD14A		GD35	GD35A
	GD14	GD14B			GD35B
	GD15	GD15	SM21	GD36	GD36A
SM15	GD16	GD16A		GB00	GD36B
OW 13	3510	GD16B			GD37A
				GD37	GD37B

#### V.3.3. Anisotropia de suscetibilidade magnética (ASM)

A técnica do estudo da anisotropia de suscetibilidade magnética (ASM) permite uma análise sistemática de um maciço granítico, proporcionando dados direcionais (foliação e lineação magnética) que podem ser comparados com os da foliação e lineação magmática, dependendo do estado de deformação da rocha. Para além disso, obtêm-se também, parâmetros quantitativos que estão relacionados com a composição química e com a taxa de deformação que sofreram as rochas (Sant'Ovaia, 2006).

Borradaile & Henry (1997) descrevem as principais aplicações do estudo da anisótropia de suscetibilidade magnética.

Sant'Ovaia & Noronha (2005), Sant'Ovaia (2006), Sant'Ovaia *et al.* (2013) estudaram os granitos variscos, tendo obtido resultados sobre os *fabrics* magnéticos, caraterísticas petrofísicas e suscetibilidade magnética, respetivamente.

### V.3.3.1. Metodologia

Na área de Godinhaços foram elaborados estudos de anisotropia de suscetibilidade magnética (ASM) onde foi possível avaliar/observar, em laboratório, diversos fatores que não eram visíveis à escala de afloramento, estes dados foram, posteriormente, tratados e representados em mapas, onde a visualização de diferentes aspetos era mais óbvia; foram então elaborados mapas representativos dos seguintes tópicos:

- Suscetibilidade magnética;
- Foliações magnéticas;
- Lineações magnéticas;
- Parâmetro T, forma do elipsóide;
- Parâmetro P, anisotropia magnética.

Uma rede de amostragem que cubra os afloramentos da área em estudo é extremamente importante para a validação estatística dos dados obtidos. Assim, a metodologia utilizada foi a da realização de uma amostragem mais intensiva nas zonas onde era evidente a presença de mineralizações auríferas; assim sendo, o granito que apresenta uma amostragem mais vincada é o granito de S. Mamede. Em cada estação de amostragem elaboraram-se pelo menos quatro furos de amostragem recolhendo-se quatro testemunhos, utilizando uma sonda portátil. No laboratório, os testemunhos foram cortados perpendicularmente ao seu eixo maior, obtendo-se, sempre que possível, dois cilindros individuais (2,2 cm de altura e 2,5 cm de diâmetro). Cada estação está, assim, representada em média por 8 amostras.

Então o estudo da anisotropia de suscetibilidade magnética (ASM) baseia-se nas medições feitas em 58 amostras para o granito de S. Mamede, 8 amostras para o granito de Vila Verde e 7 amostras para o granito de Braga.

As amostras obtidas para o estudo de ASM, foram transportadas para o laboratório onde se encontrava instalado o aparelho para a elaboração deste estudo, antes de se iniciar as medições de ASM mediu-se a altura e o diâmetro de cada cilindro usando um paquímetro (figura V.3.12.) posteriormente, inseriram-se os valores obtidos numa folha de cálculo (*Microsoft Excel*) que calculou o volume de cada cilindro (tabela V.3.3.)



Figura V.3. 12. Paquímetro (Mitutoyo) usada para a medição do comprimento e diâmetro de cada cilindro (DGAOT, FCUP).

Tabela V.3. 3. Volumes medidos em laboratório para cada cilindro (DGAOT, FCUP).

AMOSTRA	ALTURA	DIÂMETRO	VOLUME
ID	(cm)	(cm)	(cm³)
GD1A	2.07	2.45	9.76
GD1B	1.96	2.425	9.05
GD1C	2	2.43	9.28
GD2	2.09	2.365	9.18
GD3	2.1	2.24	8.28
GD4A	1.74	2.465	8.30
GD4B	2.075	2.4	9.70
GD5A	2.065	2.465	9.85
GD5B	2.5	2.5	9.52
GD6	2.44	2.44	8.56
GD7A	2.12	2.44	9.91
GD7B	1.975	2.45	9.31
GD8A	2.035	2.465	9.71
GD8B	2	2.42	9.20
GD9A	2.11	2.455	9.99
DG9B	1.8	2.45	8.49

GD10A	2.095	2.43	9.72
GD10B	1.81	2.435	8.43
DG11A	10.85	2.46	5.16
DG11B	2.01	2.425	9.28
GD12	2.13	2.465	10.16
GD13A	2.145	2.445	10.07
DG13B	1.7	2.47	8.15
GD14A	2.075	2.455	9.82
GD14B	1.805	2.47	8.65
GD15	2.12	2.445	9.95
GD16A	1.77	2.46	8.41
GD16B	2.11	2.46	10.03
GD17A	2	2.455	9.47
GD17B	1.755	2.44	8.21
GD18A	2.1	2.45	9.90
GD18B	1.455	2.46	6.92
GD19A	1.79	2.465	8.54
GD19B	2.19	2.465	10.45
GD20A	2.11	2.465	10.07
GD20B	1.82	2.46	9.13
GD21A	1.91	2.957	13.12
GD21B	2.05	2.55	10.47
GD22	2.075	2.45	9.78
GD23A	1.9	2.45	8.96
GD23B	2.15	2.44	10.05
GD24	1.77	2.455	8.38

GD25	2.1	2.33	8.95
GD26	2.06	2.42	9.48
GD27A	2.075	2.44	9.7
GD27B	1.975	2.45	9.31
GD28	2.14	2.435	9.97
GD29A	2.12	2.47	10.16
GD29B	1.71	2.39	7.67
GD30A	2.075	2.445	9.74
GD30B	2.09	2.49	10.18
GD31A	2.19	2.46	10.41
GD31B	1.79	2.47	8.58
GD32A	2.11	2.45	9.95
GD32B	2.115	2.43	9.81
GD33A	2.08	2.465	9.93
GD33B	2.02	2.44	9.45
GD34A	2.08	2.42	9.57
GD34B	1.97	2.45	9.29
GD35A	2.015	2.46	9.58
GD35B	1.51	2.435	7.03
GD36A	2.11	2.465	10.07
GD36B	1.665	2.46	7.91
GD37A	2.13	2.445	10.00
GD37B	2.135	2.45	10.07
SB1A	2.09	2.445	89.81
SB1B	1.825	2.445	8.57
SB2A	2	2.43	9.28
SB2B	1.73	2.45	8.16
SB3	2.06	2.405	9.36
SB4	2.095	2.455	9.92

SB5A	2.145	2.465	10.24
SB5B	1.89	2.465	9.02

Após obtermos os volumes correspondentes a cada cilindro, marcou-se com uma caneta permanente as linhas indicadoras das três posições que cada cilindro tem que passar para que a medição da ASM seja correta; para esta tarefa usamos um objeto que apresenta as ranhuras corretas para que a marcação destas linhas indicadoras seja bem executada (figura V.3.13.).



Figura V.3. 13. Material necessário para a marcação das linhas indicadoras.

Após a marcação destas linhas indicadoras em cada cilindro, iniciou-se a medição dos parâmetros de ASM usando o *Kappabridge* KLY-4S (figura V.3.14.) acoplado a este aparelho temos um computador equipado com um programa de tratamento automático dos ficheiros de dados (Sufar), que calcula as médias para cada estação dos seguintes fatores: suscetibilidade (K), intensidades e orientações dos eixos  $K_1$ ,  $K_2$  e  $K_3$  ( $K_1 \ge K_2 \ge K_3$ ), de anisotropia magnética, P com P%=( $P_{k1/k3}$ -1)x100 do parâmetro de forma do elipsóide, T com T=[ $2ln(K_2/K_3)/ln(K_1/K_3)$ ]-1, da lineação magnética (paralela à direção de  $K_1$ ) e da foliação magnética (azimute e inclinação do plano perpendicular a  $K_3$ ). Seguidamente, encontram-se descritos os passos necessários para que a medição dos parâmetros de ASM seja o mais correta possível.



Figura V.3. 14. Equipamento de medição da ASM. A: local onde a amostra é sujeita a um campo magnético (H); B: amostrador (vista de cima); C: fonte de alimentação do aparelho de medição de ASM, Kappabridge KLY-4S do Departamento de Geologia, FCUP.

## Procedimentos necessários para a medição da ASM

i. Calibrar o aparelho usando um cilindro com 10 cm³ de volume com uma suscetibilidade conhecida e universal. De forma a evitar erros nas medições, e visto tratar-se da medição de propriedades magnéticas, devese evitar a presença (na sala de medição) de aparelhos que criem campos eletromagnéticos. A cada medição é necessário inserir o volume correspondente ao cilindro em estudo (figura V.3.15.).



Figura V.3. 15. Inserção do volume do cilindro em estudo na base de dados do programa Sufar.

ii. O Kappabridge KLY-4S executa quinze medições em diferentes posições, em que doze são simétricas duas a duas. As 3 posições que não possuem medição simétrica são as correspondentes aos eixos principais do sistema de coordenadas da amostra (figura V.2.16.).

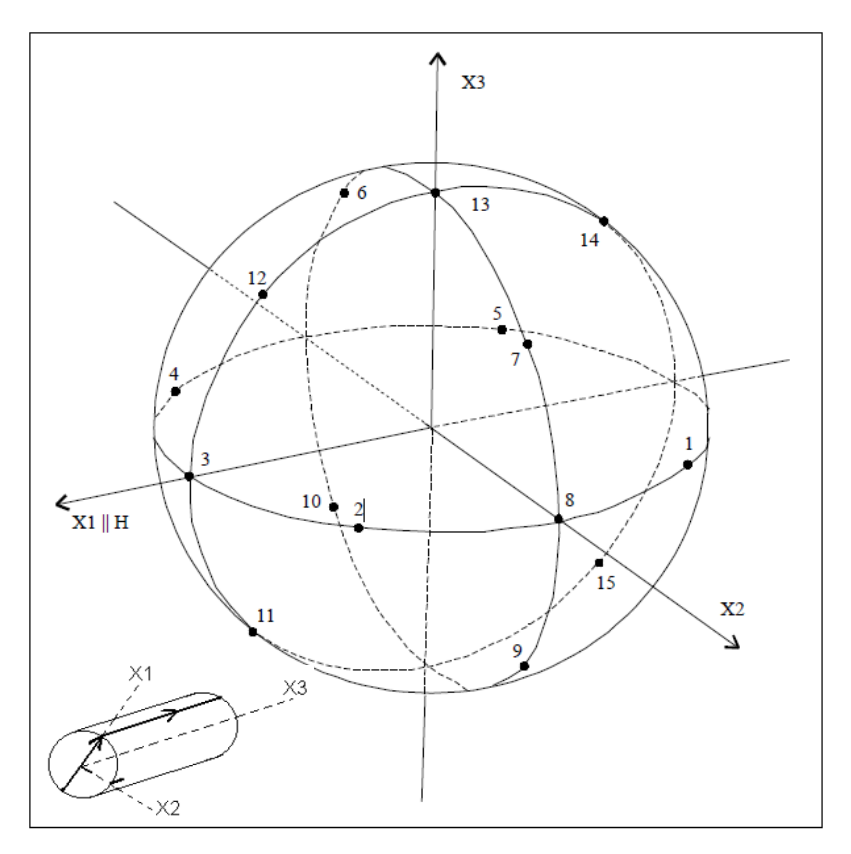


Figura V.3. 16. Esquema representativo das 15 posições de medição. *Adapt.* Pamplona (2001).

Para que as medições sejam executadas da forma mais precisa possível o cilindro tem que ser inserido no amostrador do *Kappabridge* KLY-4S, em três posições diferentes (figura V.3.17.).

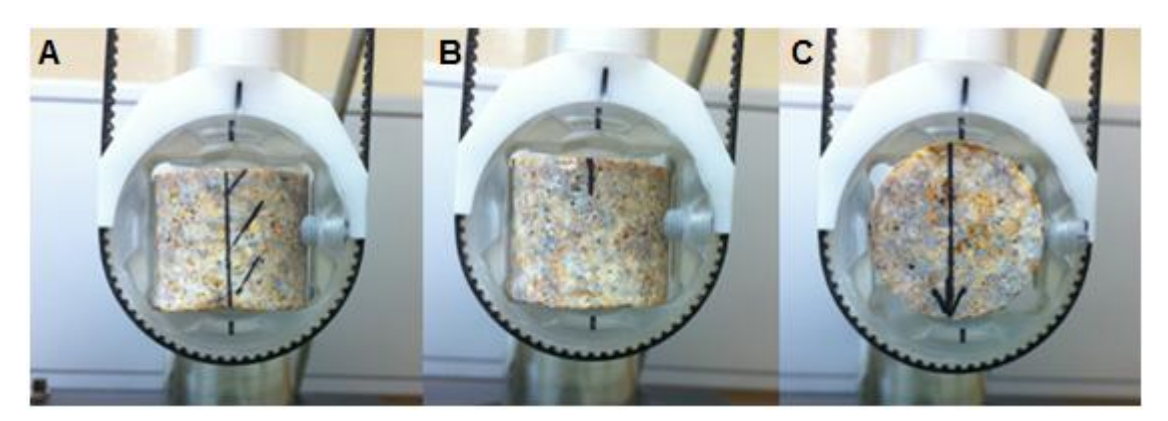


Figura V.3. 17. Posições do cilindro em estudo. A: posição 1; B: posição 2; C: posição 3.

A medição só inicia quando no programa Sufar é dada a ordem para tal; quando temos o cilindro na posição 1, significa que o campo magnético induzido (H) (no caso em estudo, é de 300 A/m) atingirá a amostra numa direção perpendicular a  $K_3$  e, consequentemente, paralela a  $K_1$ ) (figura V.3.18.). O comando que temos de acionar para que a medição tenha seguimento é o Ax1 através da tecla F1. Para as restantes posições o procedimento é o mesmo, mas usando o comando correspondente a cada posição (figura V.3.19.).

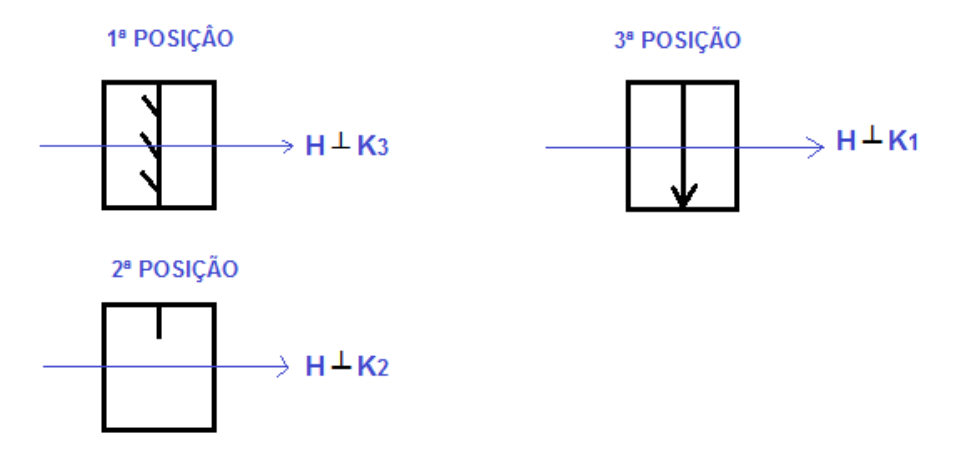


Figura V.3. 18. Relação entre o campo magnético induzido (H) e a posição do cilindro no amostrador.

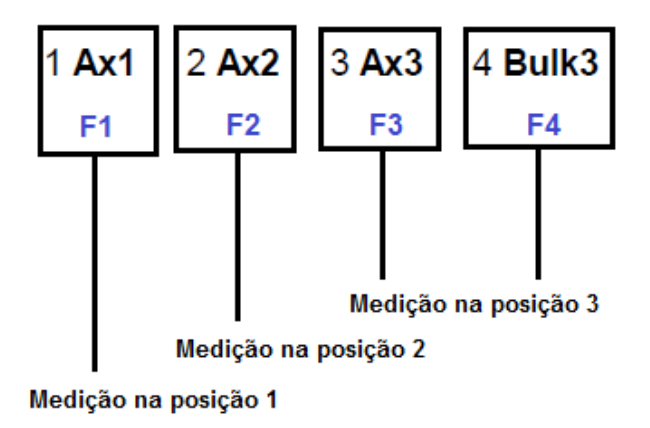


Figura V.3. 19. Comandos necessários para a realização das medições de ASM, nas três posições obrigatórias.

iii. Após as medições nas três posições descritas anteriormente é necessário inserir na base de dados do programa alguns dados, como o nome da amostra (specimen name/enter new file/?), a atitude do furo onde foi retirado o cilindro (2 sampling angles?) e o número de sistemas tectónicos existentes (number of tectonic systems), neste campo preenchemos sempre com o valor zero pois não era um fator que interessa-se para o estudo em causa (figura V.3.20.), para isso usamos o comando F5. Este procedimento permite guardar os dados obtidos; o documento apresenta uma extensão .ran (figura V.3.21.), que será posteriormente analisado noutro programa designado Anisoft42.

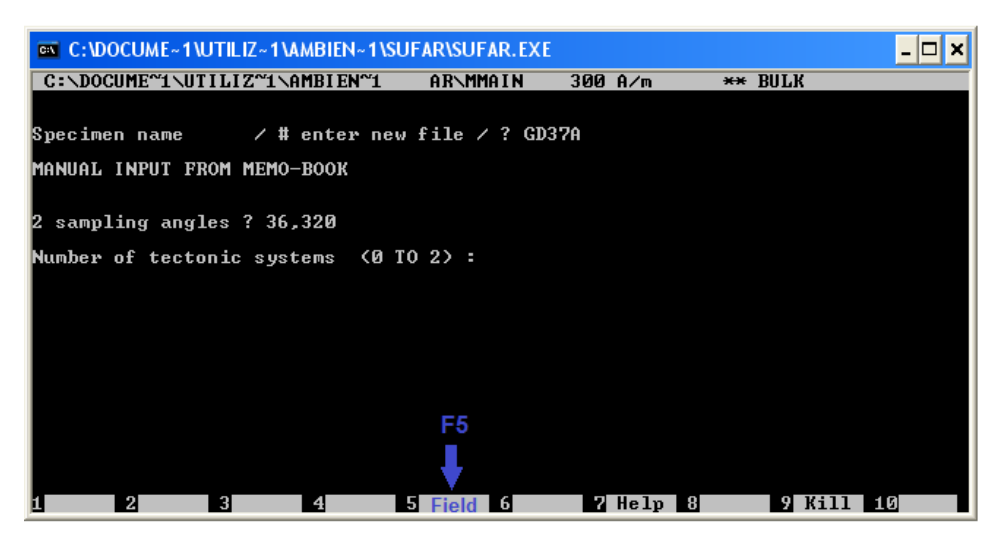


Figura V.3. 20. Inserção de dados na base de dados do Sufar, no caso relativas ao cilindro GD37A.

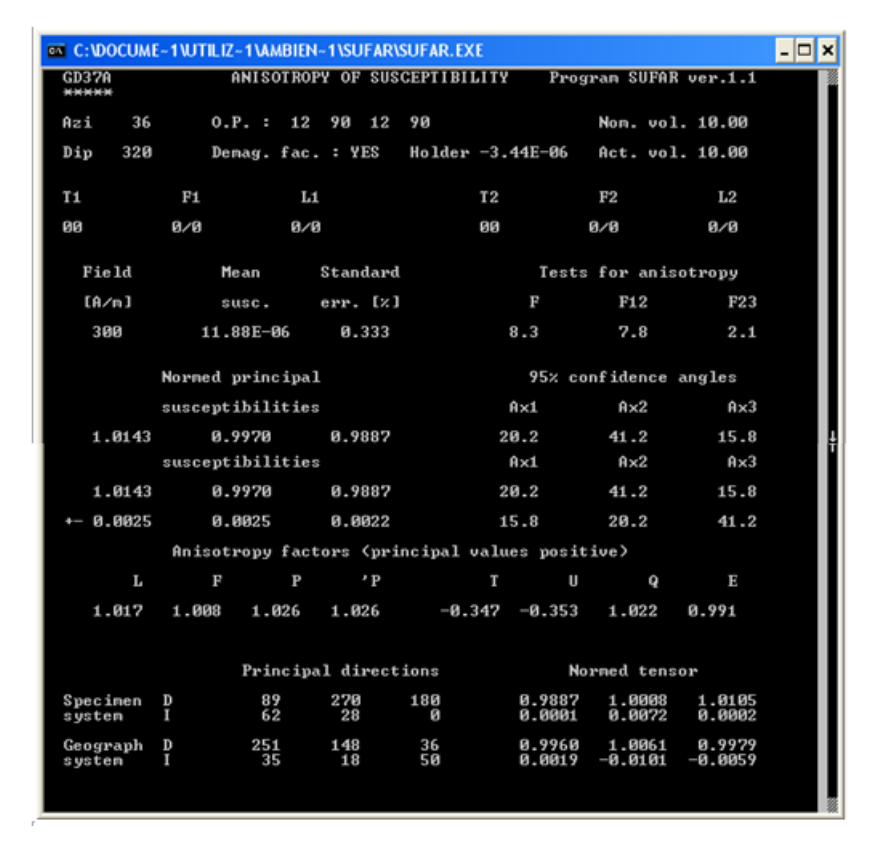


Figura V.3. 21. Ficheiro com extensão .*ran* com o reporting dos dados obtidos nos estudos de ASM.

Todo o procedimento de tratamento da amostra para a medição de ASM foi baseado no documento elaborado pela AGICO (2004) para auxiliar os utilizadores do *Sufar*.

# Análise dos dados obtidos pelas medições efetuadas pela Kappabridge KLY-4S e traduzidas pelo Sufar

Com as medições da ASM já elaboradas é necessário analisar estatisticamente os dados, para isso, usamos o programa de tratamento de dados designado *Anisoft42* (figura V.3.22.) este programa fornece-nos:

- Representação dos tensores (K<sub>1</sub>, K<sub>2</sub>, K<sub>3</sub>) numa rede estereográfica;
- Apresenta os valores médios de
  - Suscetibilidade magnética, K;
  - o Parâmetro P, anisotropia magnética;
  - Parâmetro T, forma do elipsóide.

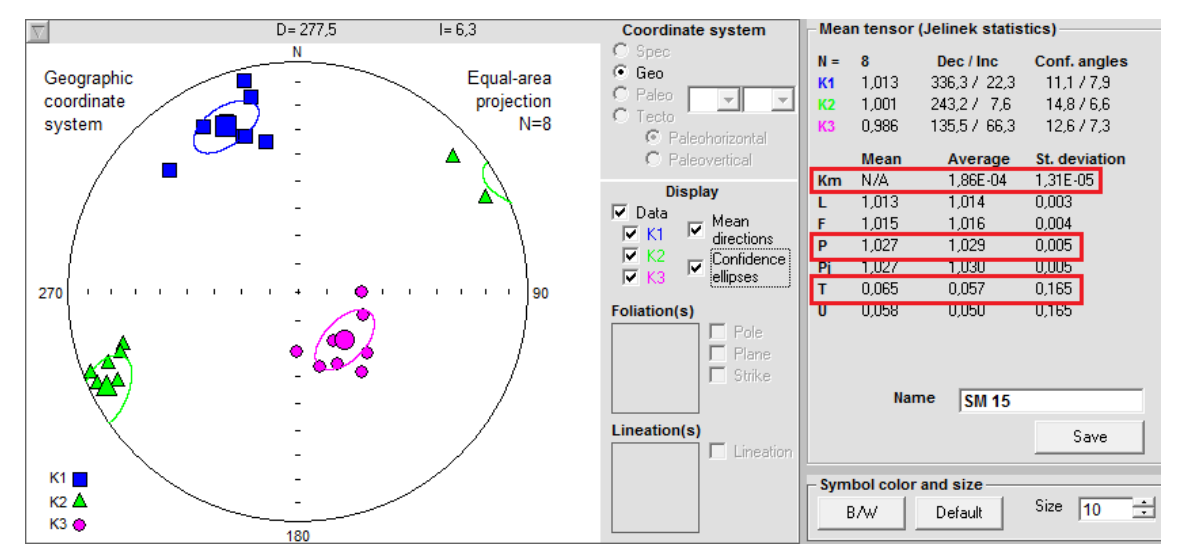


Figura V.3. 22. Representação dos dados no programa Anisoft42 no caso da amostra recolhida em SM15 (rede estereográfica de igual área).

#### V.3.3.2. Resultados

Na tabela V.3.4. apresentam-se registados os valores obtidos para a suscetibilidade magnética medida a partir dos estudos de ASM, estes estudos foram elaborados sobre os cilindros recolhidos em cada ponto amostrado.

Tabela V.3. 4. Valores de suscetibilidade magnética obtidos a partir dos estudos de ASM.

LITOLOGIA	LOCAL	Suscetibilidade Magnética (K, 10 <sup>-6</sup> SI)		
		Média	Intervalo de Variação	
GRANITO DE S. MAMEDE	SM7	90	53 a 274	
	SM13	115	73 a 179	
	SM14	18	9 a 33	
	SM15	186	179 a 209	
	SM16	50	44 a 42	
	SM20	85	50 a 137	
	SM21	31	11 a 61	
GRANITO DE VILA VERDE	SM12	84	24 a129	
GRANITO DE BRAGA	SM17	108	69 a 158	

As medições da anisotropia de suscetibilidade magnética efetuadas no DGAOT permitiram obter resultados importantes. Através dos estudos de ASM foi possível obter os seguintes parâmetros:

- 1. Lineações e Foliações magnéticas;
- 2. Parâmetro T, forma do elipsóide;
- 3. Parâmetro P, anisotropia magnética.

#### 1. Lineações e foliações Magnéticas

O estudo da ASM permite obter resultados sobre as lineações e foliações da rocha em estudo. Após as análises elaboradas em cada cilindro, analisaram-se os dados no *Anisoft42*; este programa permitiu visualizar os estereogramas representativos de cada ponto amostrado, em cada estereograma é possível visualizar as direções dos três eixos principais:  $K_1$  ( $K_{min}$ ),  $K_2$  ( $K_{int}$ ) e  $K_3$  ( $K_{máx}$ ) com  $K_1 \ge K_2 \ge K_3$ .

Na figura V.3.23. encontra-se representado o mapa geológico com os pontos amostrados na área de Godinhaços, associado a cada ponto temos os estereogramas obtidos pelo *Anisoft42*.

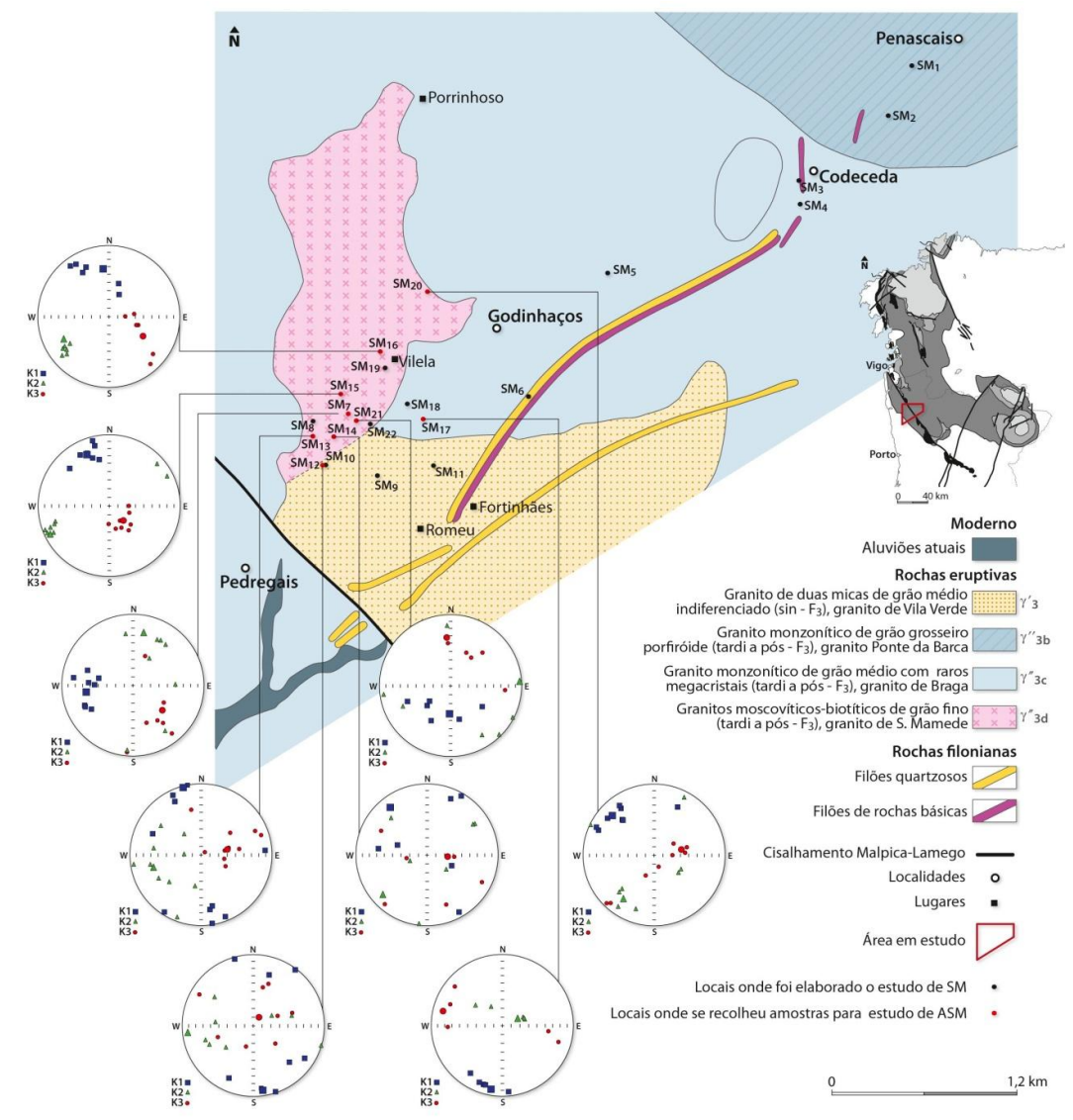


Figura V.3. 23. Mapa geológico com a representação dos estereogramas pertencentes a cada ponto amostrado na área de Godinhaços.

Bouchez (1997) afirma que existe uma correlação entre o *fabric* mineral da rocha e o elipsóide de suscetibilidade magnética, sendo o eixo maior do elipsóide, K<sub>1</sub> paralelo à lineação magnética e o eixo menor, K<sub>3</sub> perpendicular à foliação magnética.

Assim, após obtermos os estereogramas de cada ponto amostrado podemos inferir as foliações e lineações da rocha em estudo. Na tabela V.3.5. encontram-se registadas as atitudes das foliações e lineações magnéticas.

Tabela V.3. 5. Atitudes das lineações e foliações magnéticas.

LITOLOGIA	LOCAL	K <sub>1</sub> (10 <sup>-6</sup> SI), LINEAÇÃO MAGNÉTICA (//K <sub>1</sub> )	K₃ (10 <sup>-6</sup> SI)	FOLIAÇÃO MAGNÉTICA ( <sup>⊥</sup> K₃)
GRANITO DE S. MAMEDE	SM7	34°→N262°E	44°→N131°E	N041ºE;46ºNO
	SM13	2°→N345°E	59°→N079°E	N169ºE;31ºSO
	SM14	16°→N322°E	66°→N094°E	N004ºE;24ºNO
	SM15	22°→N336°E	66°→N136°E	N046ºE;24ºNO
	SM16	32°→N353°E	44°→N120°E	N030ºE;46ºNO
	SM20	20°→N314°E	58°→N078°E	N168ºE;32ºNE
	SM21	8°→N183°E	32°→N355°E	N265ºE;58ºSE
GRANITO DE VILA VERDE	SM12	8°→N172°E	79°→N035°E	N125ºE;11ºSO
GRANITO DE BRAGA	SM17	10°→N190°E	15°→N283°E	N193ºE;75ºNE

Após obtenção das atitudes das lineações e foliações magnéticas foi possível projeta-las num mapa geológico georreferenciado, para verificar se existe alguma relação entre estas atitudes e a tectónica atuante nesta área.

As lineações magnéticas revelam as direções preferenciais dos minerais com sinal magnético. A figura V.3.24. representa as lineações magnéticas obtidas pelos estudos de ASM nos pontos amostrados na área de Godinhaços. As foliações magnéticas representam planos segundo os quais se orientam os minerais com comportamento magnético. Na figura V.3.25. encontra-se representado o mapa com a projeção das foliações magnéticas obtidas segundo os estudos da anisotropia de suscetibilidade magnética, realizados nas amostras recolhidas no campo.

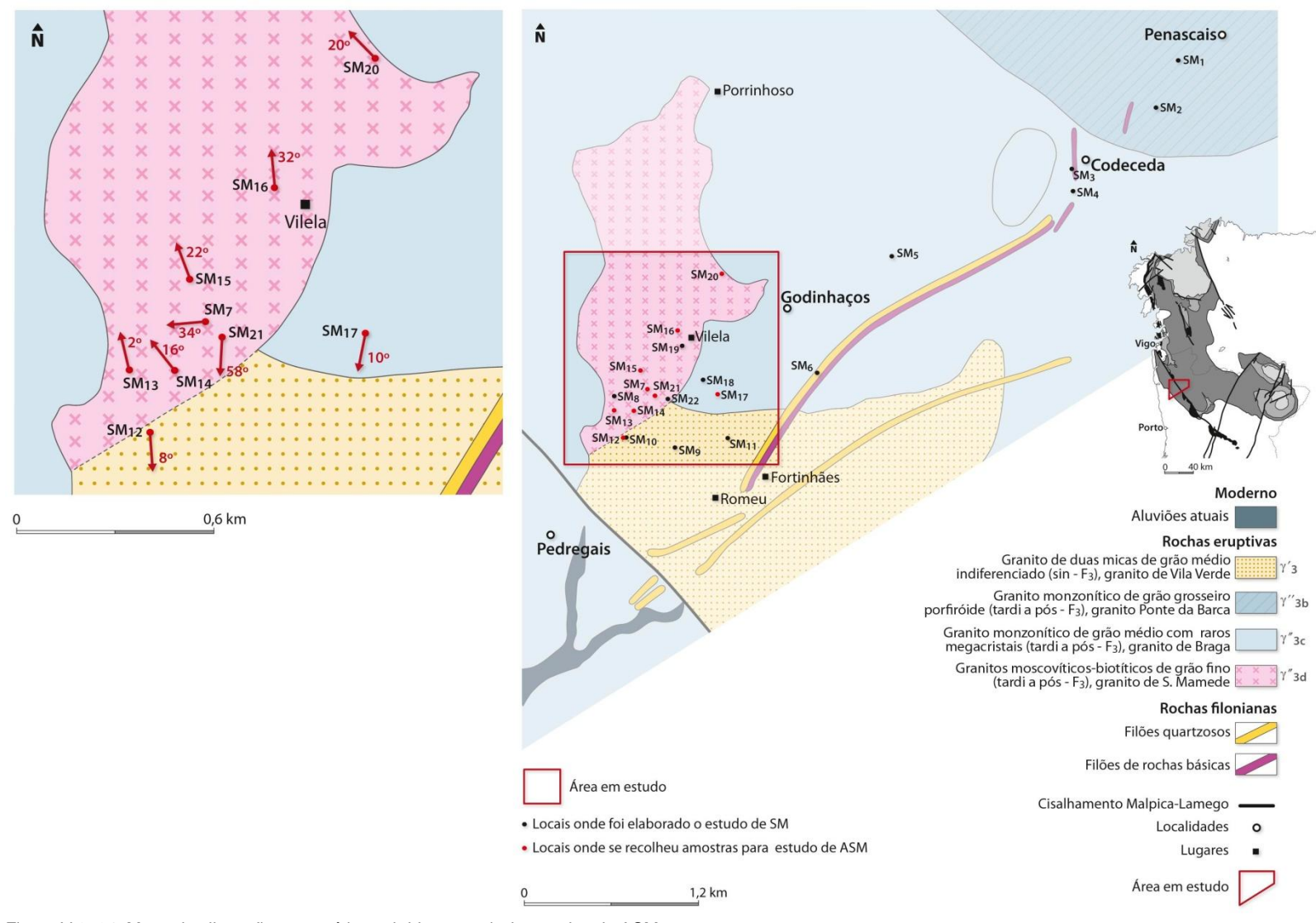


Figura V.3. 24. Mapa das lineações magnéticas obtidas a partir de estudos de ASM.

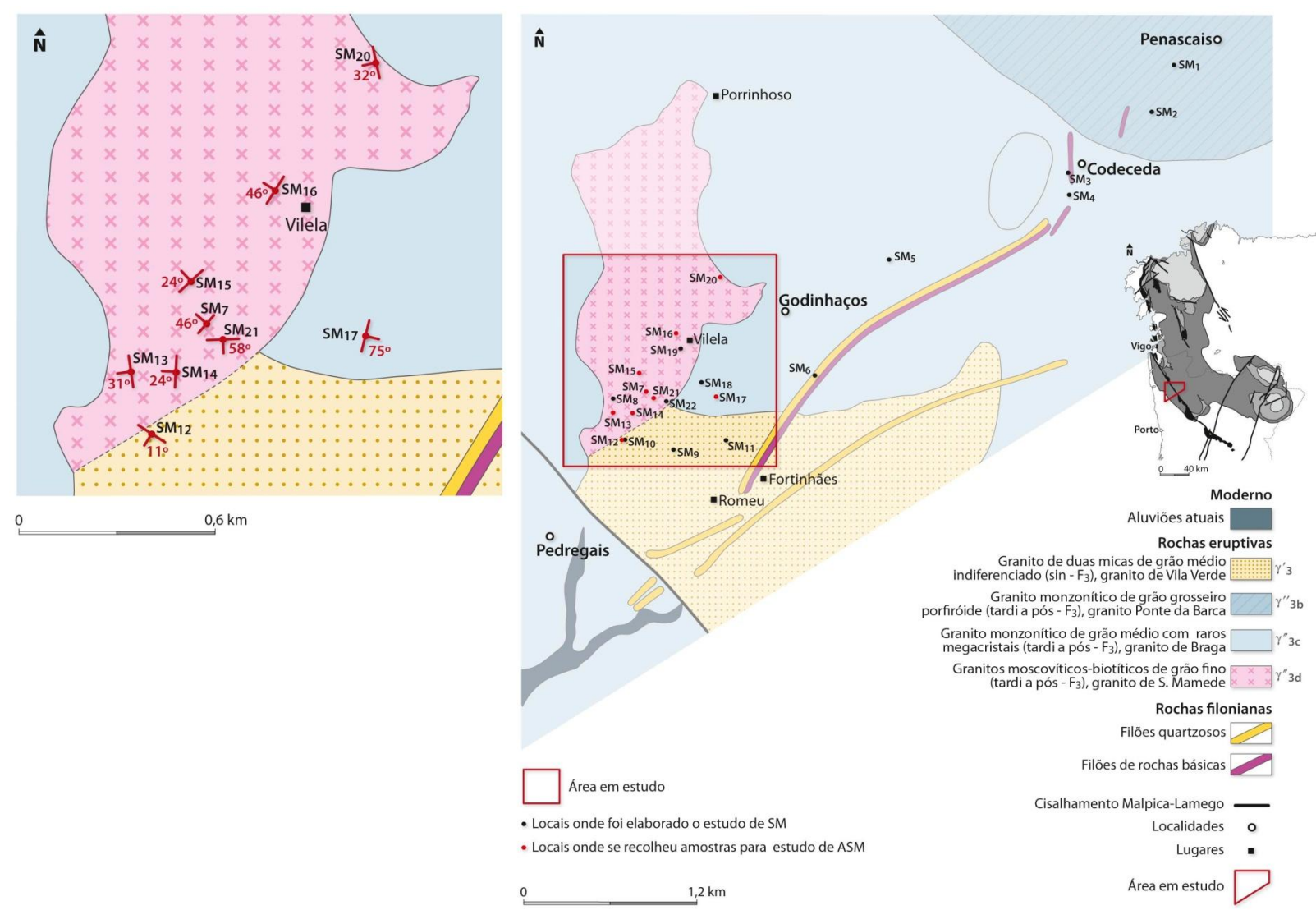


Figura V.3. 25. Mapa das foliações magnéticas obtidas a partir de estudos de ASM.

## 2. Parâmetro T, forma do elipsóide

Para a caracterização da forma do elipsóide de ASM, utilizou-se o parâmetro T (JELINEK, 1981, *in* Sant'Ovaia & Noronha (2005)), considerando-se que o elipsóide é achatado (*oblate*) quando 0<T≤1 e constrito (*prolate*) quando -1≤T<0 (figura V.3.26.).

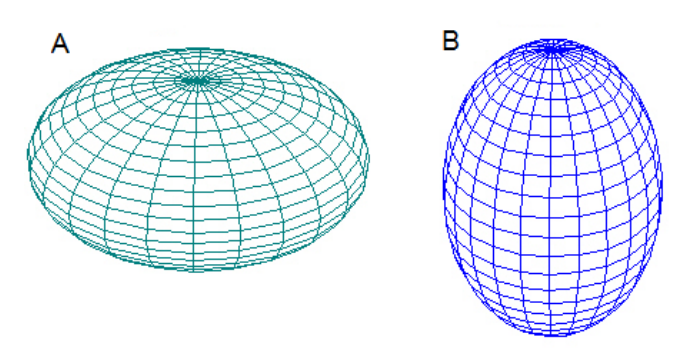


Figura V.3. 26. Parâmetro T, forma do elipsóide. A: Elipsóide achatado (*oblate*); B: Elipsóide constrito (*prolate*) (*www.pballew.net/arithme9.html*).

Através dos estudos de ASM foi possível obter o parâmetro T de cada cilindro estudado, na tabela seguinte encontram-se registados os valores do parâmetro T para cada ponto de amostragem.

Tabela V.3. 6. Dados relativos ao parâmetro T, forma do elipsóide, para as amostras estudadas.

LITOLOGIA	LOCAL	FORMA DO ELIPSÓIDE (T)							
LITOLOGIA	LOCAL	Média	Intervalo de Variação						
	SM7	-0,089	-0,026 a 0,367						
	SM13	0,332	-0,461 a 0,924						
GRANITO DE S.	SM14	0,023	-0,402 a 0,498						
MAMEDE	SM15	0,057	-0,094 a 0,324						
	SM16	0,531	0,321 a 0,663						
	SM20	0,266	-0,094 a 0,712						
	SM21	-0,152	-0,776 a 0,877						
GRANITO DE VILA VERDE	SM12	0,072	-0,149 a 0,321						
GRANITO DE BRAGA	SM17	0,310	0,074 a 0,543						

Os dados do parâmetro T relativos às amostras estudadas foram projetados num mapa geológico de forma a obter a distribuição deste parâmetro (figura V.3.27.).

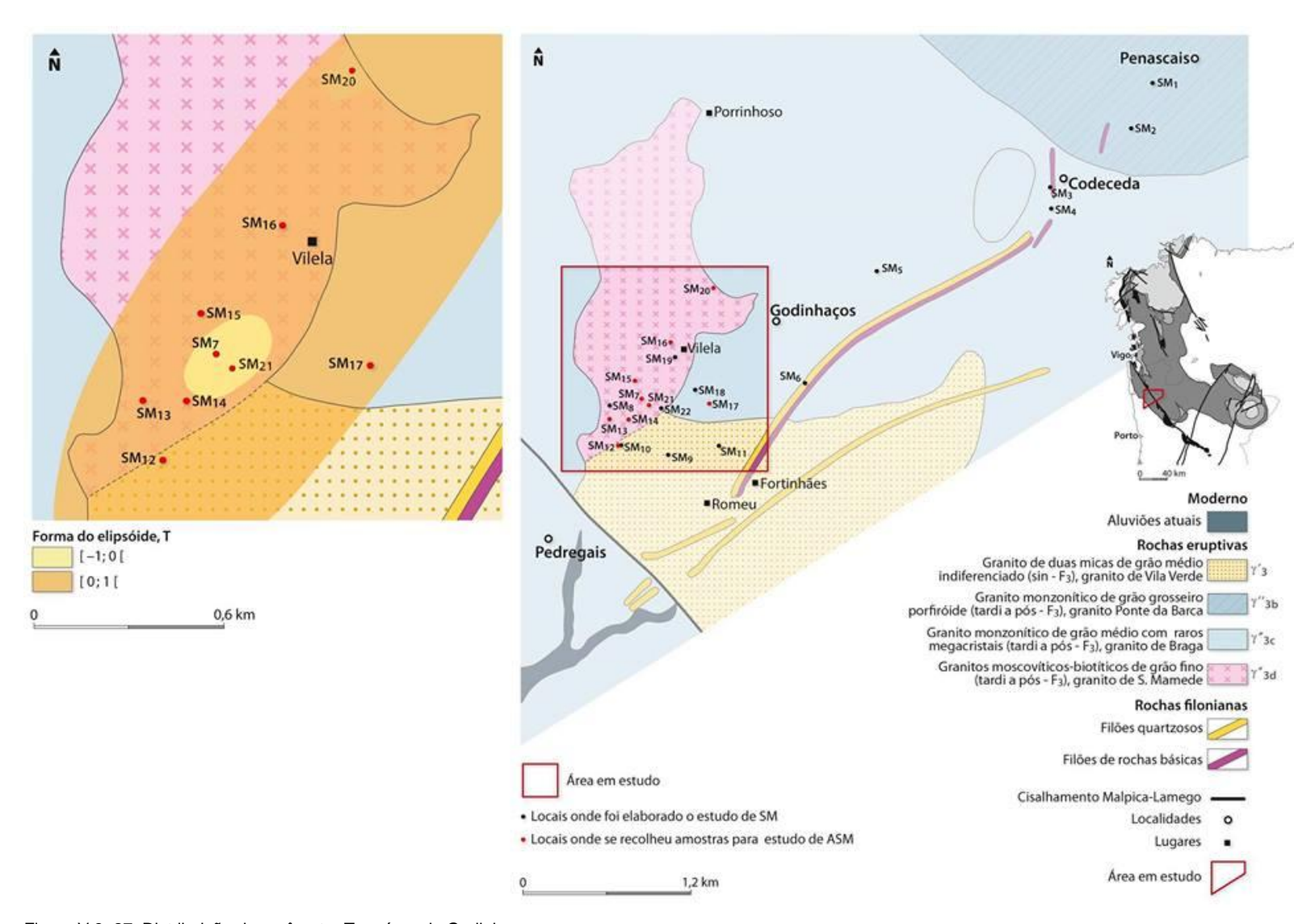


Figura V.3. 27. Distribuição do parâmetro T na área de Godinhaços.

## 3. Parâmetro P, anisotropia magnética

O parâmetro P é a razão entre os eixos de suscetibilidade máxima e mínima, representando o grau total de anisotropia (Sant'Ovaia *et al.*, 2014).

Através dos estudos de ASM foi possível obter o parâmetro P de cada cilindro estudado, na tabela seguinte encontram-se registados os valores deste parâmetro para cada amostra analisada.

Tabela V.3. 7. Dados relativos ao parâmetro P, anisotropia magnética, para as amostras estudadas.

LITOLOGIA	LOCAL		OTROPIA (P)	P% = (Р <sub>К1/К3</sub> -1)х100	
	200/12	Média	Intervalo de Variação		
	SM7	1,026	1,016 a 1,035	2,6	
	SM13	1,031	1,017 a 1,054	3,1	
GRANITO DE S.	SM14	1,035	1,017 a 1,079	3,5	
MAMEDE	SM15	1,029	1,022 a 1,035	2,9	
	SM16	1,046	1,029 a 1,060	4,6	
	SM20	1,009	1,005 a 1,011	0,9	
	SM21	1,026	1,012 a 1,040	2,6	
GRANITO DE VILA VERDE	SM12	1,030	1,024 a 1,040	3	
GRANITO DE BRAGA	SM17	1,039	1,019 a 1,090	3,9	

Os dados obtidos do parâmetro P% relativos às amostras estudadas foram projetados num mapa geológico de forma a obter a distribuição deste parâmetro na área em estudo.

O mapa apresentado, seguidamente, ilustra a distribuição do parâmetro de anisotropia magnética na área em estudo.

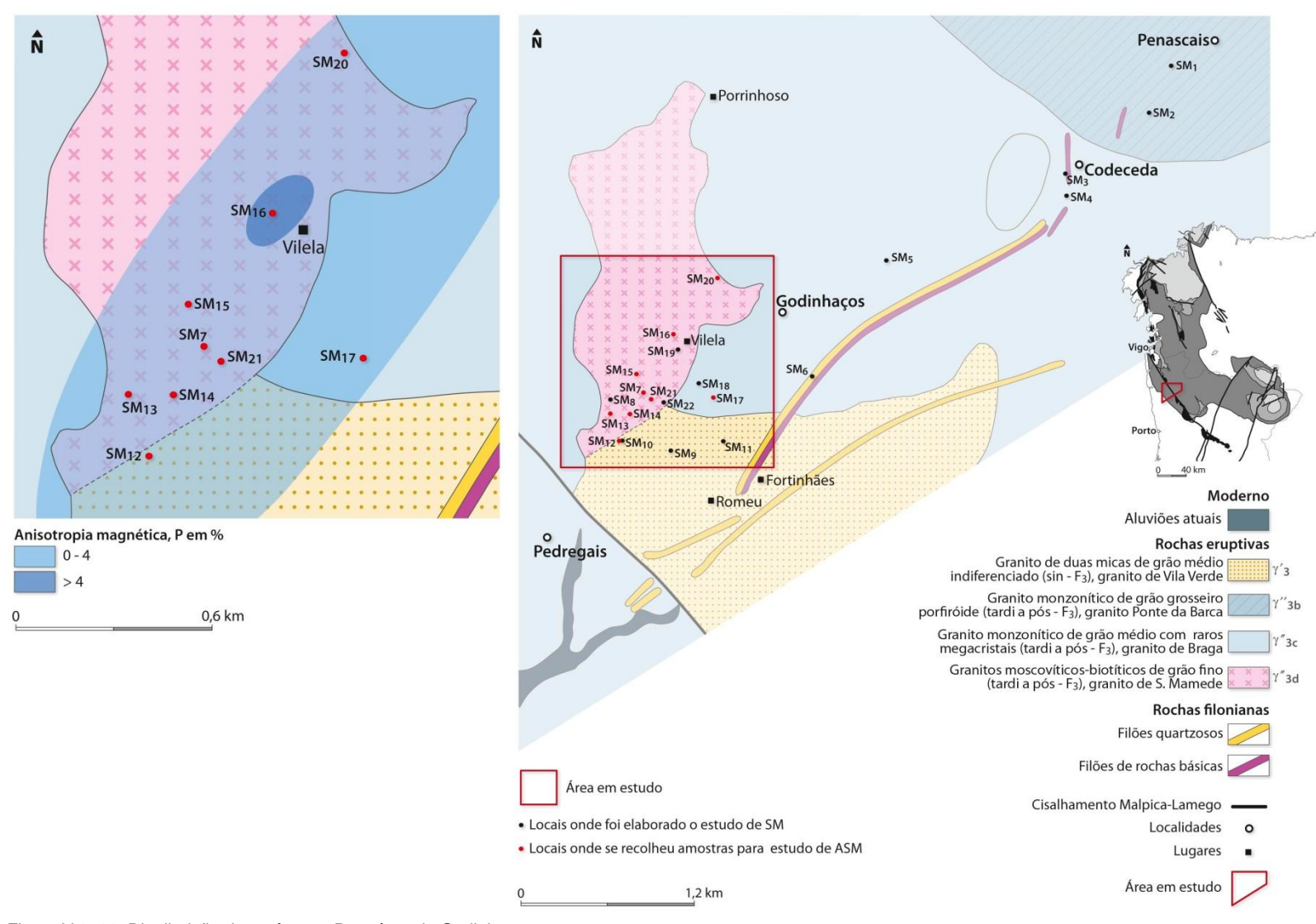


Figura V.3. 28. Distribuição do parâmetro P na área de Godinhaços.

# V.3.4. Suscetibilidade magnética

### V.3.4.1. Metodologia

Com o objetivo de se elaborar um mapa capaz de demonstrar regionalmente a variação do fator suscetibilidade magnética (K, 10<sup>-6</sup> SI), foram recolhidos valores de suscetibilidade magnética (K) no campo, com o auxílio de um suscetibilímetro portátil (KT-10) (figura V.3.29.). Para cada local, mediu-se entre dez a doze pontos, e retirouse, posteriormente, o valor mais elevado e o mais baixo e realizou-se a média com os restantes pontos. Assim, foram recolhidos valores de K em dez pontos situados no granito de S. Mamede, seis pontos no granito de Braga, quatro pontos no granito de Vila Verde e dois pontos no granito de Ponte da Barca, o que no total contempla trezentos e setenta e oito medições; este mapa de suscetibilidade será apresentado mais adiante. Na tabela V.3.8. encontram-se registados os valores de K medidos em cada ponto.



Figura V.3. 29. Suscetibilímetro portátil (KT-10) pertencente ao DGAOT, FCUP.

Tabela V.3. 8. Dados de suscetibilidade magnética medidos em afloramento com auxílio de um suscetibilímetro portátil (KT-10). n.a.: não amostrado.

LOCAL	COORDENADAS		ALTITUDE						K (x1	0 <sup>-6</sup> SI)						Km (x10 <sup>-</sup>	OBSERVAÇÕES	
			(m)	M <sub>1</sub>	M <sub>2</sub>	M <sub>3</sub>	M <sub>4</sub>	M <sub>5</sub>	M <sub>6</sub>	M <sub>7</sub>	M <sub>8</sub>	M <sub>9</sub>	M <sub>10</sub>	M <sub>11</sub>	M <sub>12</sub>	<sup>6</sup> SI)	OBOLINVAÇOLO	
	41°43'42''N	8°26'0.31"O	368	160	112	197	126	161	145	117	87	135	109	164	154	138		
	41°43'32''N	8°26'006''O	398	64	70	83	110	162	180	74	106	202	242	136	185	131		
SM3	41°43'18''N	8°26'31"O	417	115	97	121	114	227	98	219	170	222	177	181	188	161		
SM4	41°43'13.548"N	8°26'31"O	443	151	155	152	66	90	160	155	142	100	n.a.	n.a.	n.a.	135		
				166	230	179	220	173	149	196	200	245	180	195	214	195		
SM5	41°42'58''N	8°27'25"O	367	44	47	41	20	34	48	30	29	50	45	35	47	40	Filão aplito-pegmatítico com direção N40°.	
SM6	41°42'32''N	8°27'47''O	320	198	119	220	125	84	181	127	123	136	105	109	140	136		
SM7	41°42'29''N	8°28'3"O	458	148	115	119	100	111	80	114	130	140	143	117	150	123		
SM8	41°42'27"N	8°28'48''O	38	173	174	128	187	239	282	168	150	125	109	92	240	169		
				18	41	50	77	143	80	75	71	52	18	29	23	49	Filonetes de quartzo centimétricos em caixa de falha com direção N60°-70°.	
SM9	41°42'15''N	8°28'29''O	335	60	81	89	84	117	114	120	130	120	88	60	60	93	Medidas elaboradas a 20 cm do muro do filão mineralizado (atitude N20-40°;50-56°S).	
S.III.S	41 42 10 10	0 20 20 0	. 333	97	127	182	153	189	159	187	123	106	136	100	128	140	Medidas elaboradas num plano paralelo ao filão anteriormente referido.	
				463	479	237	330	171	455	297	n.a.	n.a.	n.a.	n.a.	n.a.	356	Medidas elaboradas num plano mineralizado com arsenopirite visível macroscopicamente.	

SM10	41°42'18''N	8°28'44''O	-	134	119	100	187	111	101	115	100	115	120	104	123	114	
SM11	41°42'18''N	8°28'14''O	-	201	180	220	184	136	120	196	126	137	100	160	120	156	
SM12	41°42'18''N	8°28'45''O	334	240	200	150	122	160	166	185	165	174	210	160	191	176	
SM13	41°42'24"N	8°28'48"O	377	70	74	91	74	78	100	100	105	78	106	92	107	83	Localidade com presença de estruturas filonianas orientadas N60° com espessuras compreendidas entre os 2-10 cm.
				113	101	120	99	106	120	115	95	140	90	130	125	102	
SM14	41°42'24"N	8°28'42''O	440	50	47	45	57	77	35	45	73	61	63	33	63	54	
SM16	41°42'42''N	8°28'29''O	430	53	95	46	95	42	84	89	78	93	85	87	70	78	
SM17	41°42'29''N	8°28'15"O	345	57	85	90	100	93	120	125	57	60	80	70	40	81	
SM18	41'42°33''N	8°28'20''O	395	120	111	131	180	99	200	140	199	137	129	153	166	146	
			-	72	75	50	45	70	48	81	60	200	140	80	47	72	
SM20	41°42'59''N	8°28'24"O	-	150	150	95	200	80	80	85	86	81	85	84	90	99	Banda ferruginosa com orientação N44º.
				164	100	90	98	200	80	92	80	200	n.a.	n.a.	n.a.	118	
SM21	41°42'29"N	8°28'36''O	463	164	100	80	200	200	90	98	80	92	80	n.a.	n.a.	113	Banda moscovítica no encosto do filão. Flanco O da CORTA 1
				44	55	70	28	10	58	60	n.a.	n.a.	n.a.	n.a.	n.a.	49	Flanco E da CORTA 1

				35	22	57	81	58	30	27	71	67	32	52	55	49	Flanco O da CORTA 2
				97	35	26	40	34	29	35	18	35	23	26	18	30	Flanco E da CORTA 2
				87	60	38	79	72	78	72	51	22	65	61	33	51	Flanco O da CORTA 3
				90	35	37	35	37	41	79	70	74	94	38	20	54	Flanco E da CORTA 3
	440.40200211	00002020		60	60	60	81	114	74	89	120	88	84	117	130	86	Flanco O da CORTA 4
	41°42'29"N	8°28'39"O		97	187	127	123	182	106	153	136	100	159	128	189	140	Flanco E da CORTA 4
SM22	41°42'27"N	8°28'32"O	430	34	58	39	66	45	50	55	52	47	46	n.a.	n.a.	49	

Tabela V.3. 9. Código de cores.

CÓDIGO DE CORES	SIGNIFICADO
	Valores mínimos e máximos afastados da média global.
	Medições elaboradas em estruturas diferentes (filões, Filonetes, encosto de filões, etc).
	Medições elaboradas em cortas (definidas por J. Farinha (2002)).

#### V.3.4.2. Resultados

A recolha de valores de suscetibilidade magnética (K) no campo, com o auxílio de um suscetibilímetro portátil, permitiu criar um mapa que representa a variação deste parâmetro a uma escala regional. Após o cálculo dos valores médios de suscetibilidade magnética (registados na tabela V.3.8.) medidos em cada litologia, procedeu-se à projeção destes num mapa geológico previamente georreferenciado. A projeção destes valores permitiu visualizar uma zonalidade regional composta por três zonas com valores de suscetibilidade magnética diferentes. A figura V.3.30. representa o mapa de suscetibilidade magnética à escala regional.

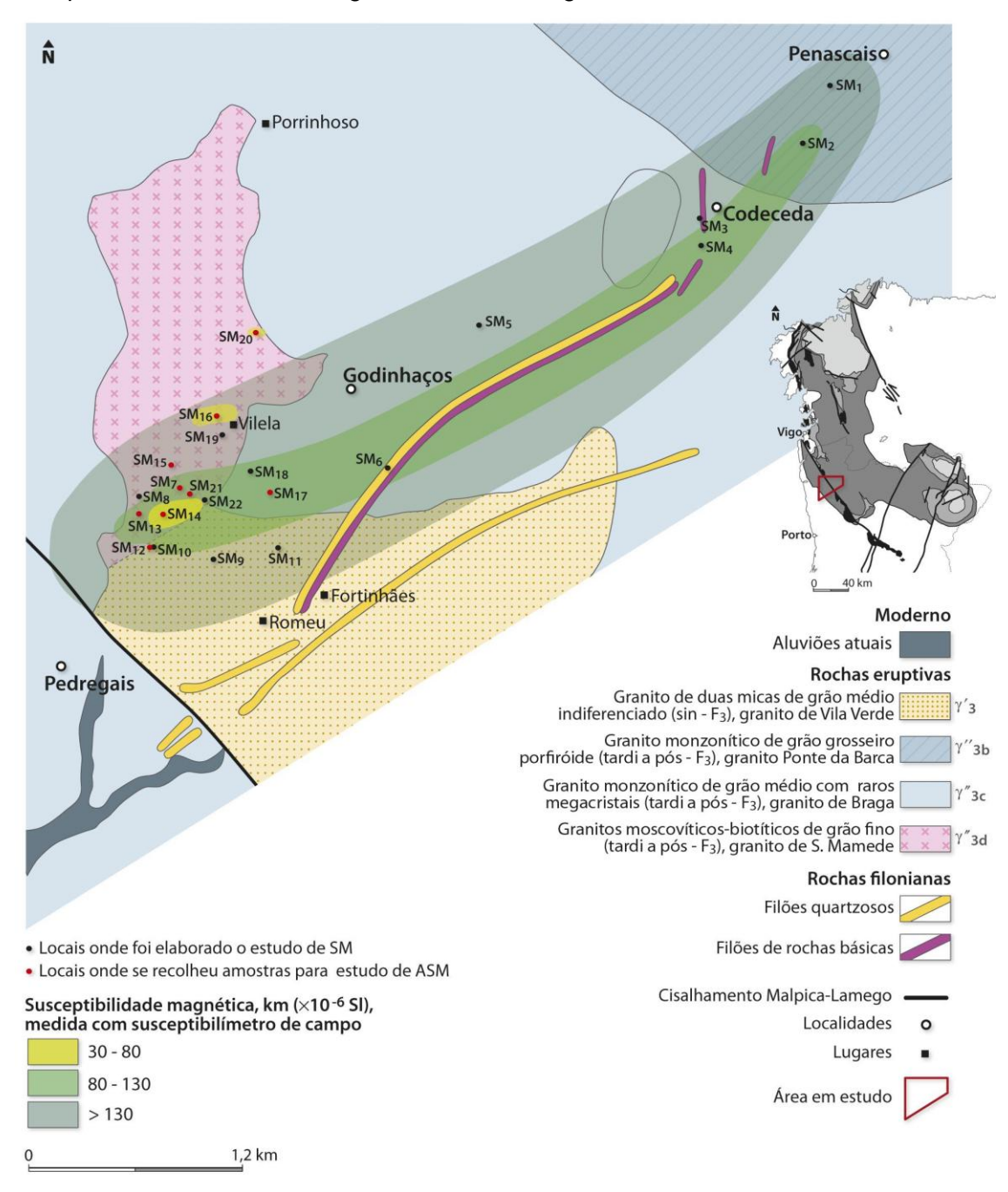


Figura V.3. 30. Zonalidade da suscetibilidade magnética, K (10<sup>-6</sup> SI) à escala regional.

Após a realização do mapa de suscetibilidade magnética a uma escala regional achamos necessário realizar um mapa a uma escala mais ampliada, que representasse um zoom da área onde se observa o contacto entre granito de S. Mamede e o granito de Vila Verde. Os valores usados para a realização deste mapa incluem valores medidos com o suscetibilímetro portátil e valores medido nos cilindros onde se realizaram os estudos de ASM no laboratório do DGAOT. A tabela seguinte representa os valores utilizados para este mapa.

Tabela V.3. 10. Suscetibilidade magnética, K (10<sup>-6</sup> SI) medida no contacto entre o granito de S. Mamede e o granito de Vila Verde (s.m. pontos sem recolha de amostra para estudos de ASM).

SUSCETIBILIDADE MAGNÉTICA

		K (1	0 <sup>-6</sup> SI)	
LITOLOGIA	PONTO	Suscetibilímetro portátil	Medidor ASM	OBSERVAÇÕES
	SM9	115	s.m.	
Granito de	SM10	114	s.m.	
Vila Verde	SM11	156	s.m.	As situações em que o valor de
	SM12	176	84	suscetibilidade magnética medida a partir dos estudos de ASM é
	SM13 SM14	102	115	inferior ao valor obtido pela medição com o suscetibilímetro
Granito de S.		54	18	portátil deve-se, ao facto de, o
Mamede	SM15	s.m.	186	estudo de ASM ter sido elaborado num cilindro com alteração
	SM16	78	50	hidrotermal mais expressiva (caso do ponto SM12, SM14 e SM21).
Granito de	SM17	81	108	,
braga	SM18	146	s.m.	Os valores de
	SM20	70	85	suscetibilidade magnética representados no mapa
Granito de S. Mamede	SM21	140	31	V.3.32.
	SM22	49	s.m.	

O mapa seguinte representa a suscetibilidade magnética medida no contacto entre os granitos de S. Mamede e Vila Verde. Neste mapa é possível visualizar a continuidade da zonalidade da suscetibilidade magnética numa escala que representa uma área de estudo mais pequena.

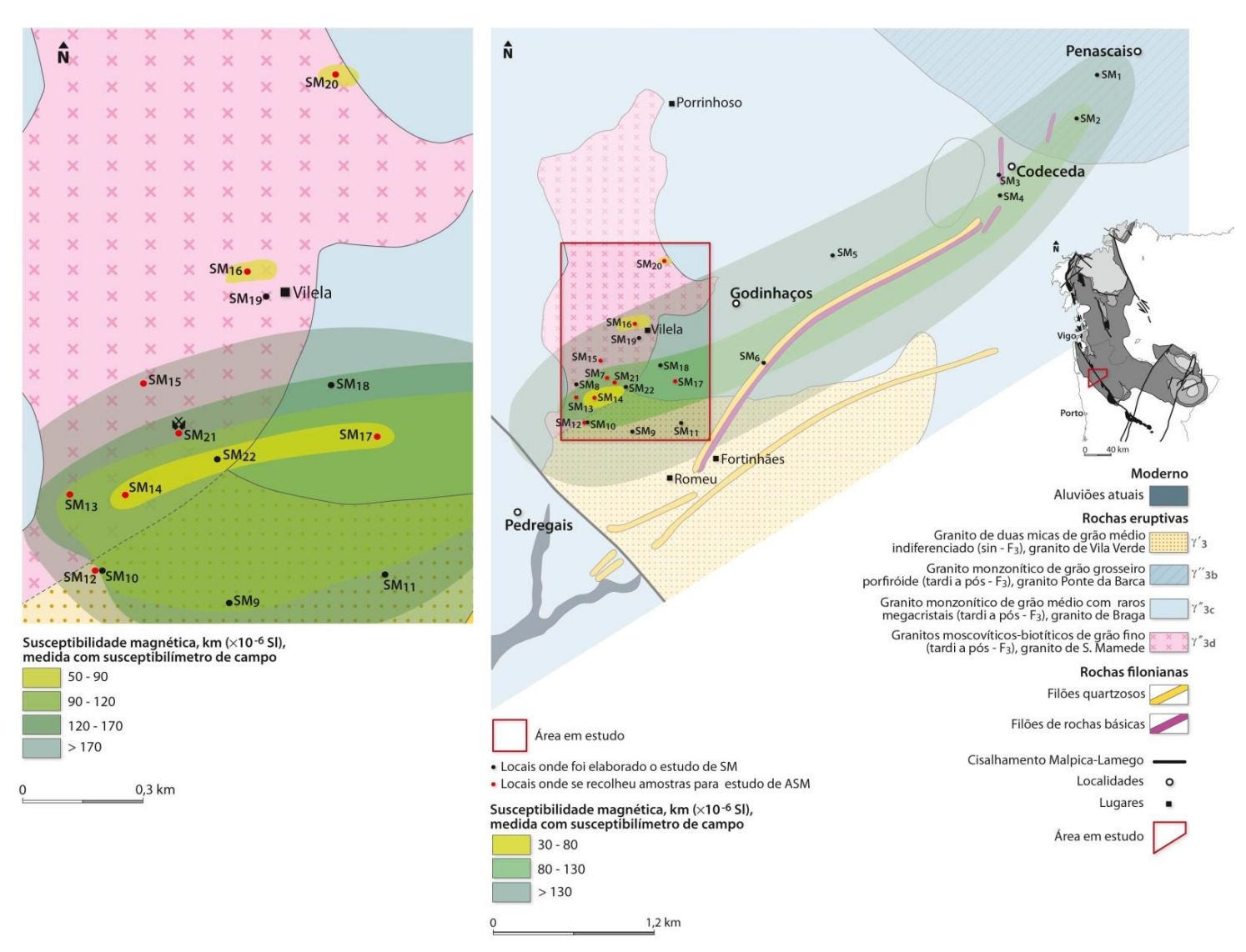


Figura V.3. 31. Zonalidade da suscetibilidade magnética, K (10-6 SI) medidas no contato entre os granitos S. Mamede e Vila Verde.

J. Farinha (2002) cartografou a área representada pelo ponto SM<sub>21</sub>, reconhecendo a existência de quatro cortas; na corta número quatro observa-se a existência de um filão cuja atitude é N020°;40°SE. Neste filão é visível a presença de sulfuretos (arsenopirite). Efetuaram-se medidas de suscetibilidade magnética nas quatro cortas (valores registados na tabela V.3.8.), estes valores foram projetados e o resultado destas medições encontra-se representado na figura V.3.32.

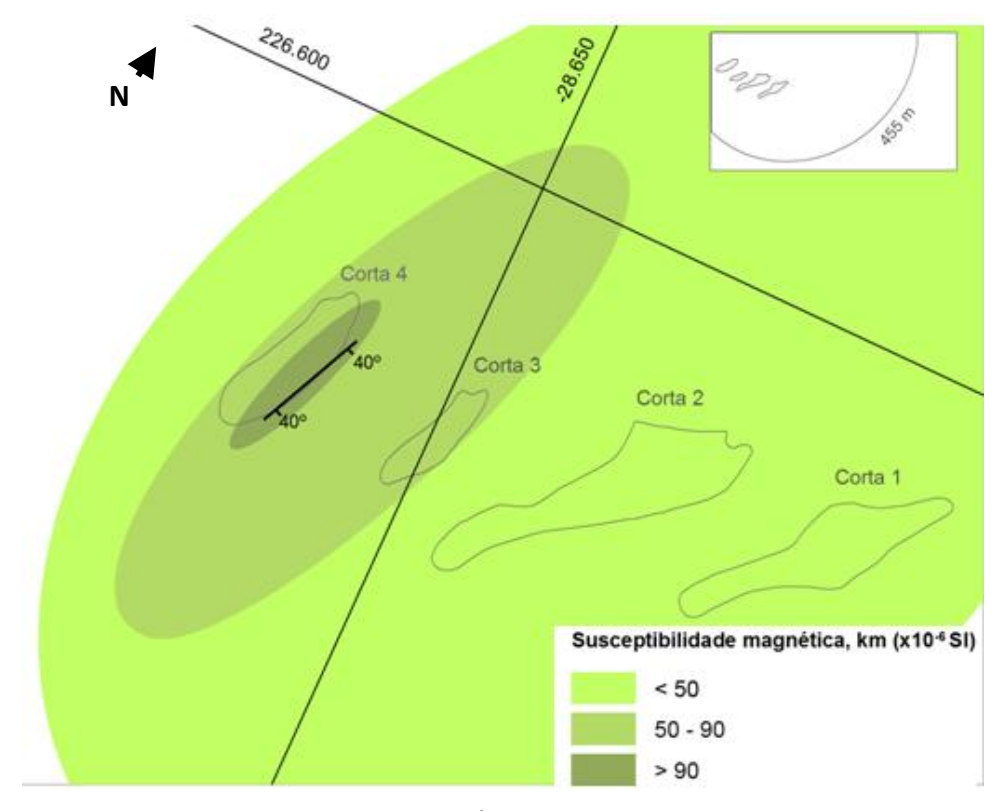


Figura V.3. 32. Suscetibilidade magnética, K(10<sup>-6</sup> SI) medida nas cortas (SM21).

## V.4. Estudo petrográfico

"O estudo petrográfico de uma rocha implica uma série de observações rigorosas que pretendem, em geral, descrever a composição mineralógica, a forma, dimensões e relações mútuas dos constituintes (textura), a alteração e deformações sofridas, etc. Os estudos mineralógico e petrográfico são importantes pois, com base neles, muitas vezes, pode-se compreender melhor o comportamento das rochas em relação a algumas propriedades físico-mecânicas" (Queiroz, 2013).

### V.4.1. Metodologia

#### V.4.1.1. Petrogafia

A análise petrográfica realizada para esta dissertação tem como principal objetivo a identificação da mineralogia presente na rocha, a forma e dimensão das fases cristalinas e relação entre elas, observar os tipos de alteração hidrotermais e as deformações registadas nos cristais fazendo um paralelismo com os dados obtidos no estudo da ASM.

O estudo petrográfico baseou-se em obras publicadas sobre o tema ao longo dos tempos; para a identificação das fases minerais presentes nas lâminas delgadas usamos a obra publicada por MacKenzie & Guilford (1996) que refere os minerais presentes nas rochas passíveis de serem identificados ao microscópio e a obra de Raith et al. (2014); para uma melhor identificação das texturas presentes nas lâminas em estudo debruçamos a nossa atenção sobre a obra publicada por MacKenzie et al. (1982) que estuda as texturas caraterísticas das rochas ígneas; finalmente, para avaliar da melhor forma a deformação apresentada pelos minerais demos especial atenção à obra de Blenkinsop (2002) que interpreta as deformações apresentadas pelos minerais.

As observações foram feitas no Laboratório de Ótica do DGAOT, utilizando um microscópio LEICA *DMLSP* (figura V.4.2.), acoplado ao microscópio existia um computador onde se encontrava instalado um programa – *Leica Application Suite*, LAS EZ versão 2.0.0, que estava diretamente ligado à máquina fotográfica incorporada no microscópio. Este programa permite fotografar o que estamos a visualizar e, possibilita o melhoramento da imagem através da inserção de filtros; finalmente, permite inserir uma escala na imagem para que a dimensão do que está a fotografar seja evidente.



Figura V.4. 1. Microscópio LEICA DMLSP utilizado para os estudos de petrografia elaborados no DGAOT (FCUP).

## V.4.2. Resultados

O estudo petrográfico apresentado nesta dissertação consistiu na análise de lâminas delgadas elaboradas a partir dos cilindros usados para o estudo da ASM; estas lâminas pertencem a dois tipos de granitos diferentes, o granito de S. Mamede e o granito de Vila Verde.

O granito de S. Mamede (γ"<sub>3d</sub>) (segundo Cândido de Medeiros *et al.* (1975), *Mancha a NOROESTEde Godinhaços* (γ'<sub>f</sub>)), trata-se, na maioria dos casos, de um granito de grão fino, de duas micas. A textura é xenomórfica granular. O feldspato potássico e a moscovite apresentam-se em grandes quantidades. As plagióclases encontram-se muito alteradas. Deste granito é por nós descrita uma fácies que corresponde ao que designamos por granito de "Duas Igrejas".

O granito de Vila Verde (γ'<sub>3</sub>) (segundo Cândido de Medeiros *et al.* (1975), Granito não porfiróide de grão médio ou grosseiro a médio (granito de Vila Verde) (γ<sub>m</sub>)), este granito encontra-se rodeado pelo granito de Braga (γ''<sub>3c</sub>), a transição entre estas duas fáceis é gradual e observa-se o desaparecimento ou rarefação dos megacristais de feldspato. Esta fácie granítica é constituída essencialmente por quartzo, feldspato potássico e oligóclase; é pouco biotítico e contém, também, alguma moscovite além dos minerais acessórios comuns.

O granito de S. Mamede encontra-se limitado a sul pelo granito de Vila Verde  $(\gamma'_3)$ ., e ambos são rodeados pelo granito de Braga  $(\gamma''_{3c})$ , A transição entre todas estas fácies é gradual.

# V.4.2.1. Granito de S. Mamede (y"3d)

Observações em amostra de mão: Este granito apresenta uma tonalidade clara, leucocrata de textura fanerítica de grão fino; quanto ao tamanho relativo dos minerais a rocha apresenta-se como equigranular. À vista desarmada observam-se minerais félsicos de que são exemplo o quartzo, o feldspato potássico e a plagióclase, é evidente a presença de minerais máficos não identificáveis à vista desarmada. Observa-se a presença de óxidos de ferro e de moscovite em pequenos grãos, eventualmente secundária. Em amostra de mão, a amostra não apresenta qualquer orientação. A figura V.4.3. representa o granito de S. Mamede a várias escalas.

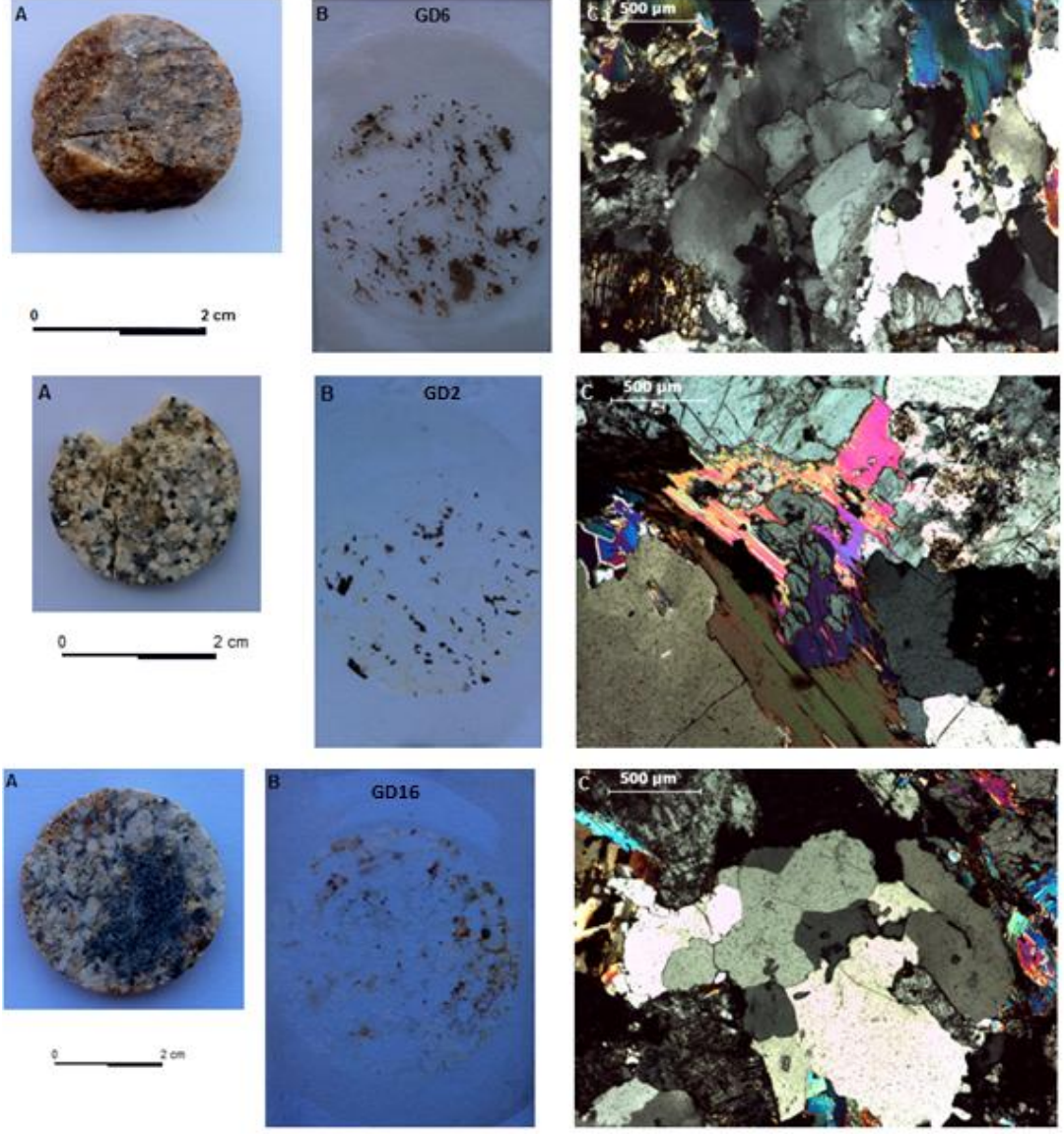


Figura V.4. 2. Granido de S. Mamede ilustrado a várias escalas. A: cilindro de granito do qual se obteve a lâmina delgada para o estudo petrográfico (B); C: imagem microscópica em nicóis cruzados (GD6, GD2, GD16).

Observações em lâmina delgada: a observação microscópica revela tratar-se de uma rocha de textura granular, caraterizada, em termos de grau de cristalinidade, como holocristalina e do tipo hipidiomórfica. É constituída pelos minerais essenciais quartzo (Qz), feldspato potássico (Fk) e plagióclase (PI); como minerais acessórios apresenta biotite (Bi), moscovite (Mo), andaluzite (Alz), zircão (Zr) e opacos. Verificase também a presença de minerais de alteração hidrotermal resultantes de alterações hidrotermais, como a sericite (Sc) (sericitização) e a clorite (CI) (cloritização).

O quartzo (Qz) ocorre sob a forma de grãos de tendência subédrica a anédrica de dimensão variável. Estes cristais ocorrem, frequentemente, em agregados inequigranulares e equigranulares com presença de subgranulação. Estas fases minerais apresentam deformação intracristalina evidenciada pela presença de catáclase dos grãos, bordos suturados e extinção ondulante (figura V.4.4.).

O feldspato potássico (Fk) evidenciado nesta lâmina é a microclina, esta fase mineral ocorre segundo grãos bem desenvolvidos de dimensão considerável, subédricos a euédricos; por vezes, apresenta pequenas inclusões de moscovite de granulometria fina. A microclina evidencia alteração hidrotermal devido à presença de sericite no seio dos seus cristais (figura V.4.5.A.).

A plagioclase (PI) ocorre em cristais euédricos a subédricos de orientação aleatória onde á possível observar a macla polissintética bem definida. Apresenta alteração evidente e frequente do tipo sericitização, onde a plagióclase dá origem a um mineral de alteração a sericite (figura V.4.5.B.).

A biotite (Bi) ocorre nesta amostra segundo grãos subédricos. É frequente encontrar halos pleocróicos no seio da biotite, este facto deve-se à presença de minerais com caraterísticas radioativas, como é o caso do zircão (Zi) (figura V.4.6.). Nesta amostra a biotite apresenta dois tipos de alteração hidrotermal que consiste, uma delas na substituição da biotite pela clorite e outra na substituição da biotite pela moscovite secundária (figura V.4.7.). Assim sendo, a moscovite e a clorite apresentam-se sempre associadas às biotites presentes nesta rocha, segundo grãos, essencialmente anédricos, típicos deste fenómeno.

A clorite (CI) apresenta-se em grãos sem forma definida, anédricos; o aparecimento desta fase mineral deve-se à alteração hidrotermal da biotite, sendo considerado um mineral acessório de alteração hidrotermal (figura V.4.7.B.).

A moscovite (Mo) ainda que surja como um mineral acessório ocorre com bastante frequência, sob a forma de cristais euédricos a subédricos com a clivagem típica bem marcada. Como já referido anteriormente, esta mica apresenta-se associada à biotite como um mineral de alteração hidrotermal (figura V.4.7.C.).

A andaluzite (Alz) ocorre segundo grãos de dimensão média e de forma anédrica. As caraterísticas desta fase mineral encontram-se bem preservadas nesta amostra, sendo evidente o relevo elevado típico e a presença de uma clivagem bem vincada (figura V.4.8.).

A sericite (Sc) é um mineral de alteração que ocorre por substituição das fases minerais pré-existentes. A ocorrência da sericite é frequente em toda a lâmina, e apresenta-se segundo uma massa cristalina que invade cristais como a plagióclase e o feldspato potássico (figura V.4.9.).

.

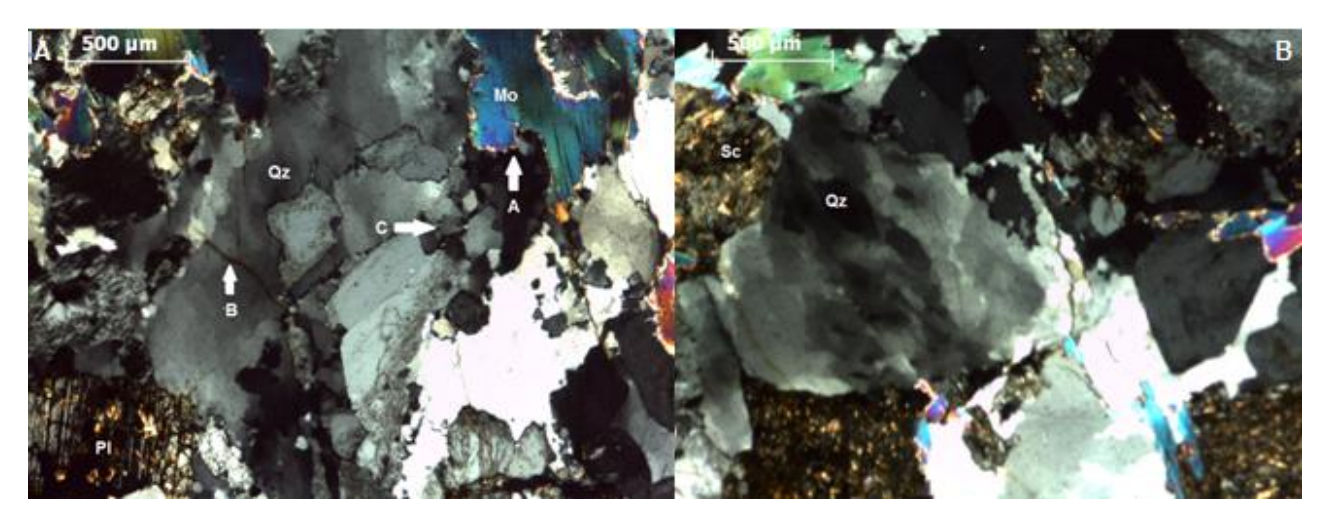


Figura V.4. 3. Deformação evidenciada nos grãos de quartzo (NX) do Granito de S. Mamede. A: Presença de bordos suturados (A), fraturas (B) e subgranulação (C); B: Evidência extinção ondulante.

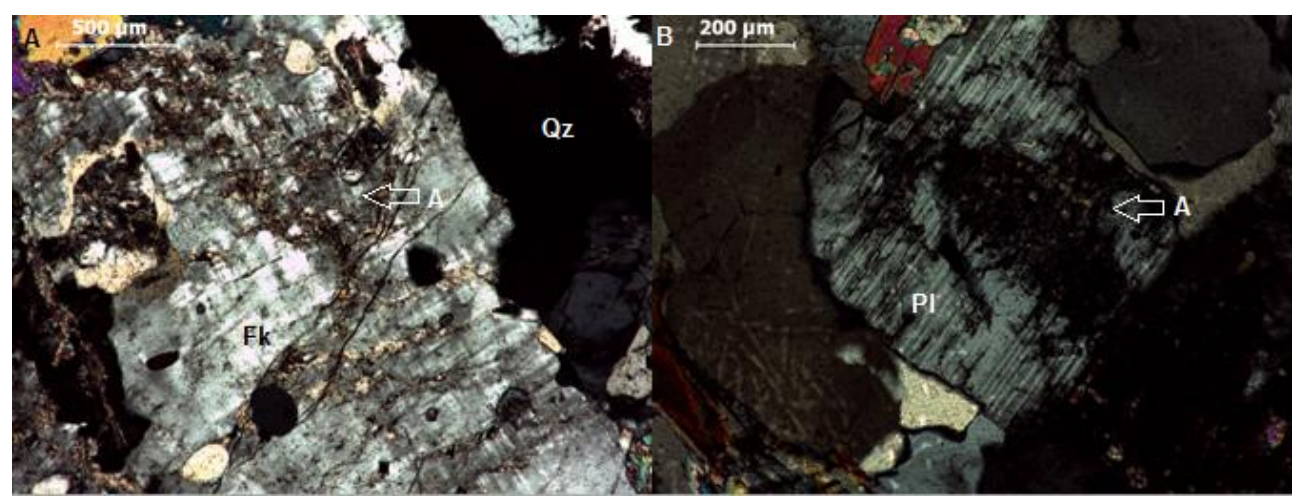


Figura V.4. 4. Feldspatos com evidencia de alteração hidrotermal presentes nas lâminas pertencentes ao Granito de S. Mamede. A: Feldspato potássico, microclina, sericitizada (A); B: Plagiocase sericitizada (A).

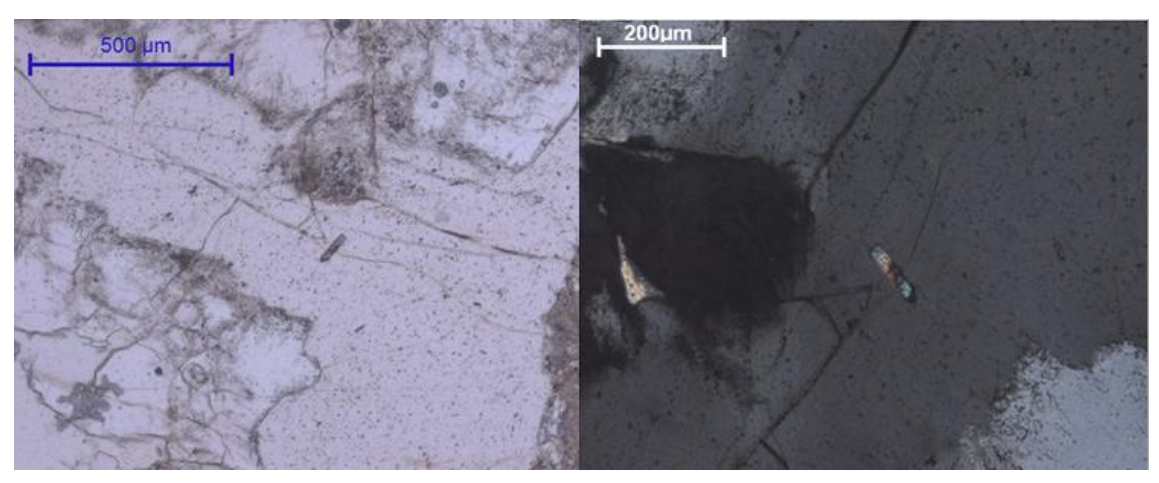


Figura V.4. 5. Zircão evidenciado no Granito de S. Mamede (fotografia lado esquerdo e N//, fotografia lado direito NX).

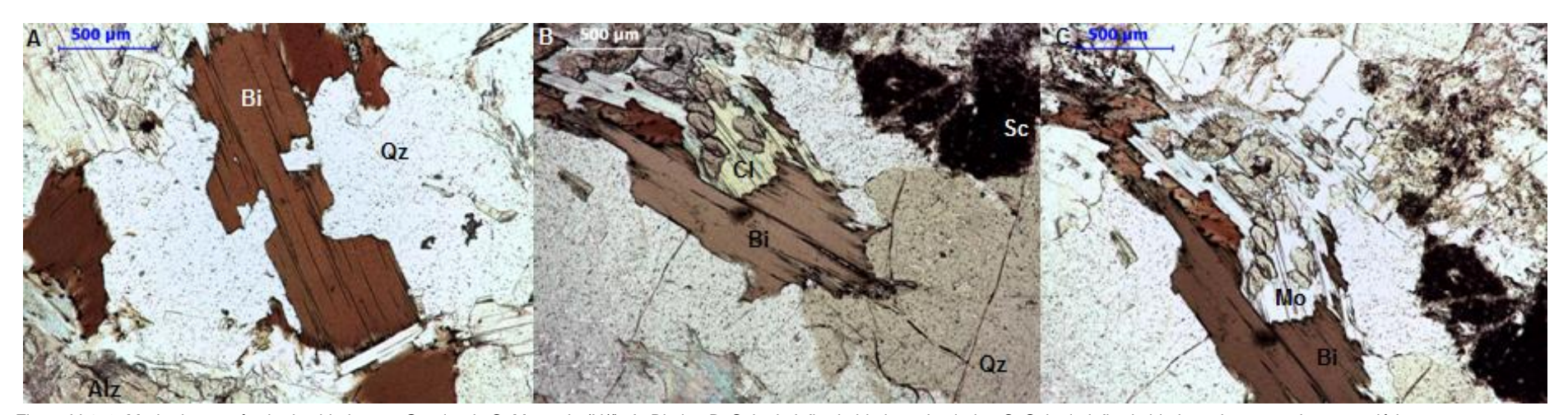


Figura V.4. 6. Modo de ocorrência das biotites no Granito de S. Mamede (N//). A: Biotite; B: Substituição da biotite pela clorite; C: Substituição da biotite pela moscovite secundária.

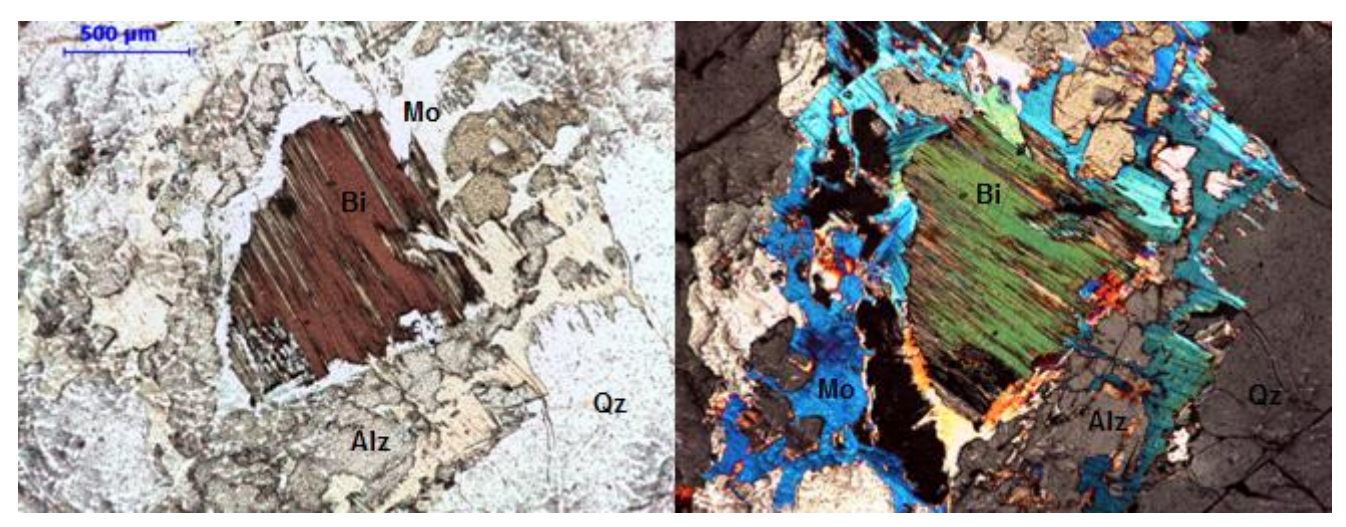


Figura V.4. 7. Andaluzite (fotografia esquerda N//, fotografia direita NX), à mesma escala.

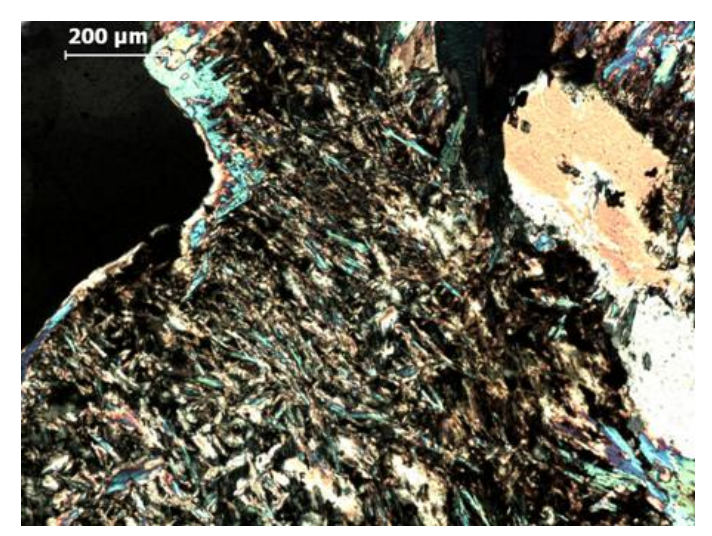


Figura V.4. 8. Modo de ocorrência da sericite no granito de S. Mamede (NX).

## V.4.2.2. Granito de "Duas Igrejas" (ɣ"3d)

Observações em amostra de mão: Esta fácies apresenta uma tonalidade clara, leucocrata de textura fanerítica de grão fino; quanto ao tamanho relativo dos minerais a rocha apresenta-se como equigranular. À vista desarmada observam-se minerais félsicos de que são exemplo o quartzo e o feldspato potássico, sendo evidente a presença de minerais máficos não identificáveis à vista desarmada. Distingue-se da fácies principal do Granito de S. Mamede por ser visível alteração hidrotermal caracterizada pela presença de óxidos de ferro, que fornecem um tom amarelado, e pela cor esverdeada típica da clorite. Em amostra de mão a amostra não apresenta qualquer orientação. A figura seguinte mostra duas fotografias a diferentes escalas da amostra "Duas Igrejas".

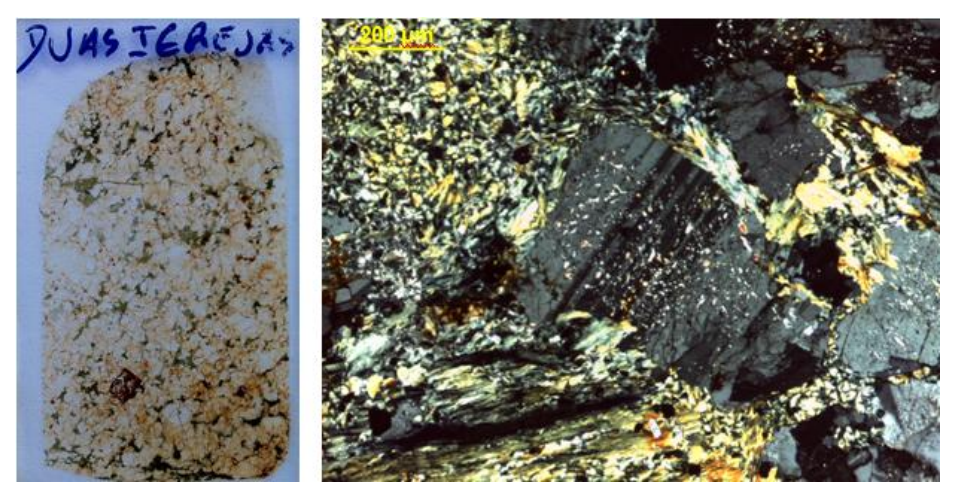


Figura V.4. 9. Granito de S. Mamede (γ"3d), amostra "Duas Igrejas". A: Lâmina delgada para o estudo petrográfico; B: imagem em nicóis cruzados da lâmina "Duas Igrejas".

Observações em lâmina delgada: a observação microscópica revela tratar-se de uma rocha de textura granular, caraterizada em termos de grau de cristalinidade como holocristalina e do tipo hipidiomórfica a xenomórfica (figura V.4.10.B.). É constituída pelos minerais essenciais quartzo (Qz), plagioclase (PI) e feldspato potássico (FIk); como minerais acessórios apresenta moscovite (Mo) e opacos. Verifica-se também a presença de minerais de alteração hidrotermal resultantes de alterações hidrotermais, como a sericite (Sc) (sericitização) e a clorite (CI) (cloritização) em quantidades muito superiores comparativamente com as lâminas observadas anteriormente. Observa-se a presença de sulfuretos.

O quartzo ocorre em grãos de tendência subédrica de dimensões variáveis, apresenta-se em agregados equigranulares por toda a amostra; evidencia-se a existência de alguma deformação intracistalina marcada pela catáclase dos grãos, subgranulação e pela extinção ondulante, esta última menos evidente (figura V.4.11.).

A plagióclase ocorre frequentemente e em grande abundância nesta amostra, apresenta-se segundo grãos de diversas dimensões de tendência euédrica onde a macla polissintética se encontra bem conservada (figura V.4.12.A.). Em concordância com as amostras anteriores, evidência alteração hidrotermal do tipo sericitização.

O feldspato potássico (microclina) ocorre em pequenas quantidades apresentando grãos de granulometria fina e de tendência subédrica a euédrica (figura V.4.12.B.).

A moscovite ocorre em pequenas palhetas no seio de grãos de quartzo, a ocorrência de micas nesta lâmina, excetuando a clorite, e vestigial (figura V.4.13.).

A ocorrência da clorite nesta amostra é abundante e contamina toda a lâmina, apresenta-se com um hábito circular, completamente diferente do que se passava anteriormente (figura V.4.14.).

Nesta lâmina observa-se também a presença regular de sulfuretos oxidados, como é o caso da pirite ilustrada na figura V.4.15.

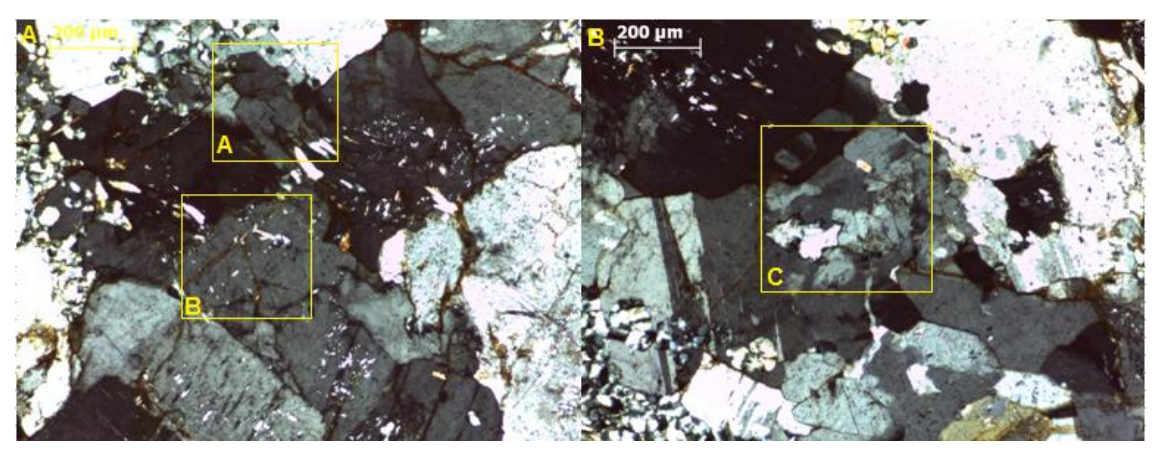


Figura V.4. 10. Modo de ocorrência do quartzo na lâmina "Duas Igrejas" (NX). A: Extinção ondulante insipiente (retângulo A) e fraturação do quartzo (retângulo B) que, tal com a subgranulação dos grãos de quartzo (retângulo C, figura B).

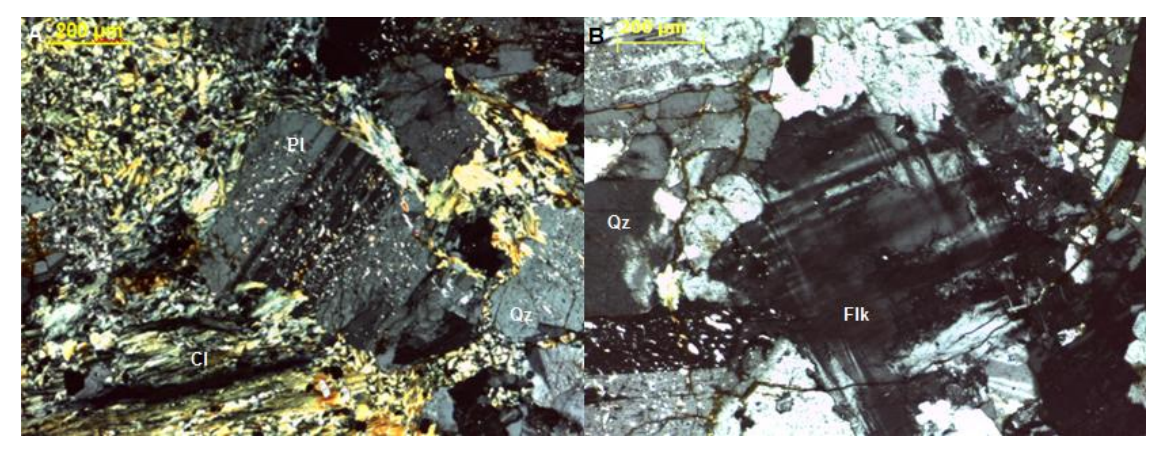


Figura V.4. 11. Modo de ocorrência dos feldspatos na lâmina "Duas Igrejas" (NX). A: Plagioclase com macla polissintética evidente, rodeada por clorite; B: Microclina com macla em xadrez bem conservada.

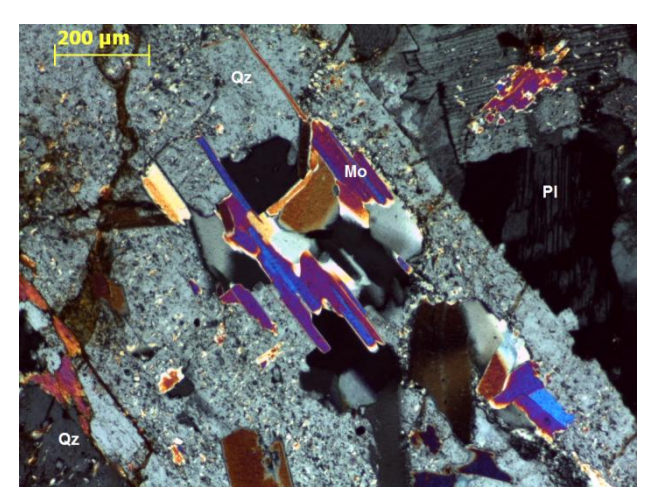


Figura V.4. 12. Ocorrência da moscovite na lâmina de "Duas Igrejas" (NX).

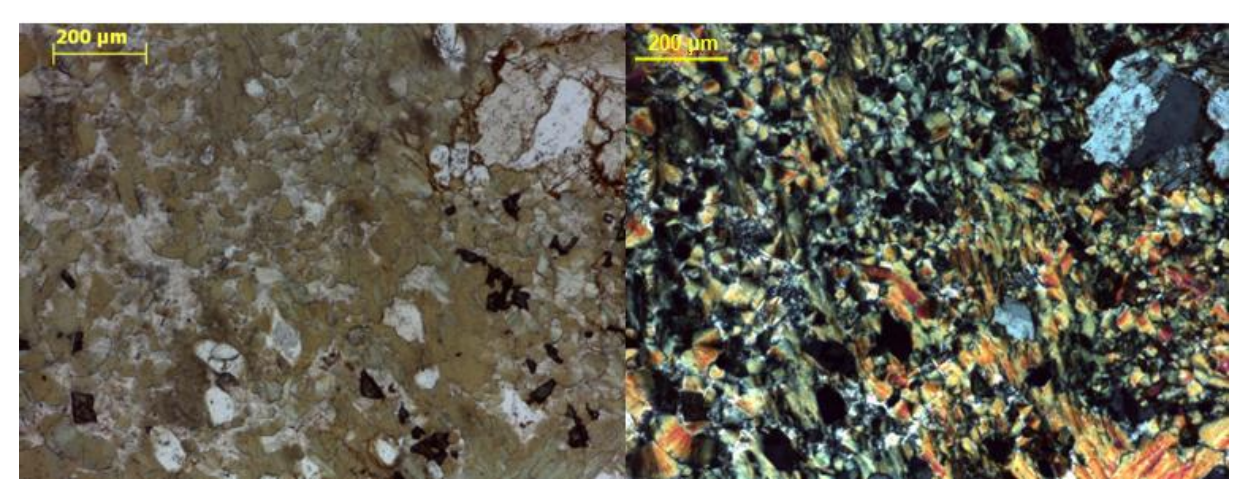


Figura V.4. 13. Modo de ocorrência da clorite na lâmina de "Duas Igrejas" (N// à esquerda e NX à direita).

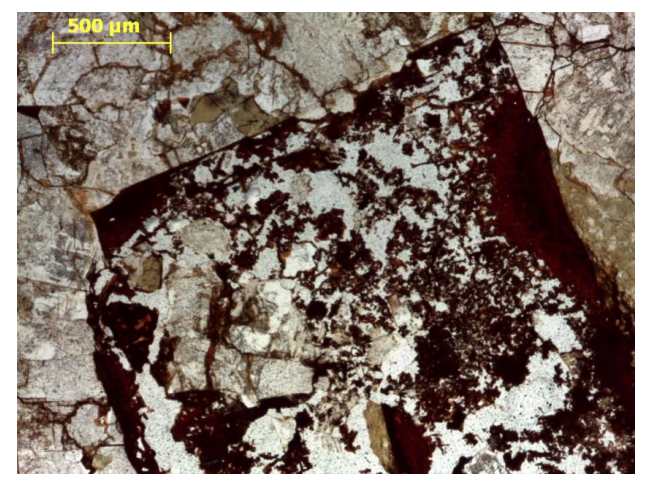


Figura V.4. 14. Evidência da presença de mineralização, ocorrência de pirite (N//).

## V.4.2.3. Granito de Vila Verde (γ'3)

**Observações em amostra de mão:** Este granito apresenta uma tonalidade clara leucocrata, de textura fanerítica de grão médio a grosseiro; quanto ao tamanho relativo dos minerais a rocha apresenta-se como inequigranular. À vista desarmada, é evidente a existência de uma grande quantidade de quartzo, rodeado de micas, o que confere à amostra um aspeto brilhante. A figura V.4.16. representa o granito de S. Mamede a várias escalas.

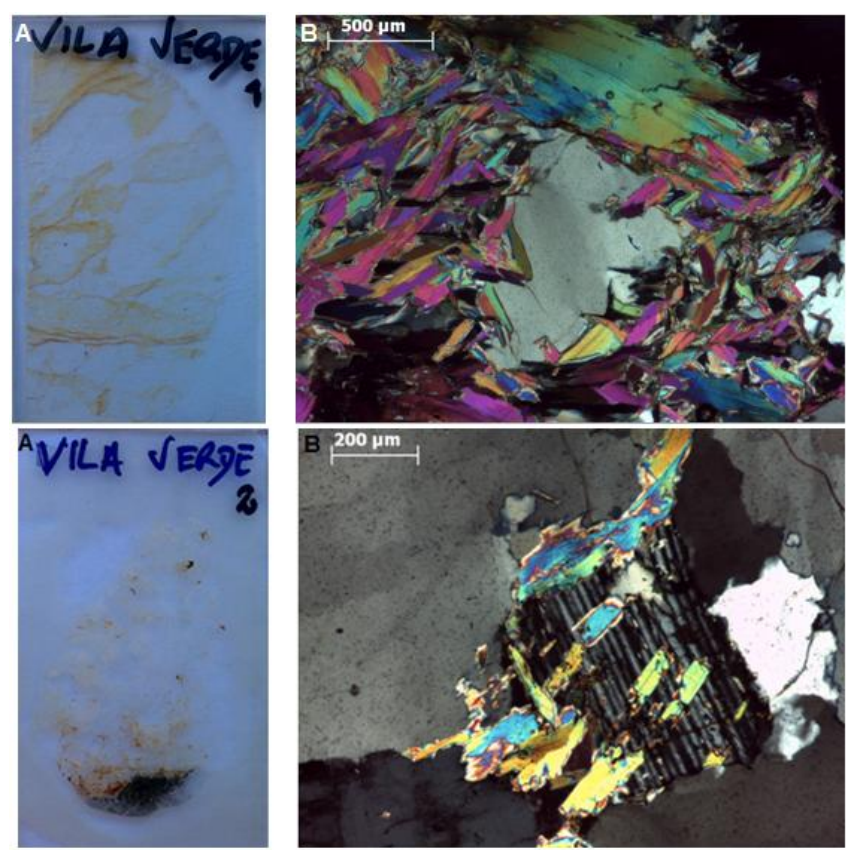


Figura V.4. 15. Granito de Vila Verde (γ'3). A: Lâmina delgada para o estudo petrográfico; B: imagem em nicóis cruzados da lâmina.

Observações em lâmina delgada: a observação microscópica revela tratar-se de uma rocha de textura granular, caraterizada em termos de grau de cristalinidade como holocristalina e do tipo xenomórfica. Os minerais constituintes desta lâmina são o quartzo (Qz), a plagióclase (Pl) e a moscovite (Mo). Esta lâmina evidência a presença de alteração do tipo sericitização, acompanhada de oxidação.

O quartzo ocorre segundo grãos bem desenvolvidos de tendência subédrica; estas fases cristalinas evidenciam deformação intracristalina evidente, comprovada pela extinção ondulante, a subgranulação dos grãos, a fraturação e a presença de bordos suturados (figura V.4.17.). A ocorrência do quartzo ocorre sem orientação preferencial, em contrapartida a moscovite apresenta por vezes cristalização em direções preferenciais.

A plagióclase ocorre segundo grãos bem desenvolvidos de tendência euédrica a subédrica, associados a esta fase mineral podemos encontrar pequenas palhetas de moscovite dispostas aleatoriamente (figura V.4.18). O modo de ocorrência da moscovite pode ser de dois tipos, num deles ocorre segundo agregados equigranulares a inequigranulares dispostos de uma forma aleatória na lâmina, outra forma de ocorrência é segundo fiadas de grãos de granulometria fina, orientados e relacionados com os grãos de quartzo (figura V.4.19.). As moscovites apresentam deformação evidenciada pelo dobramento/encurvamento dos planos de clivagem desta fase mineral (figuraV.4.20.).

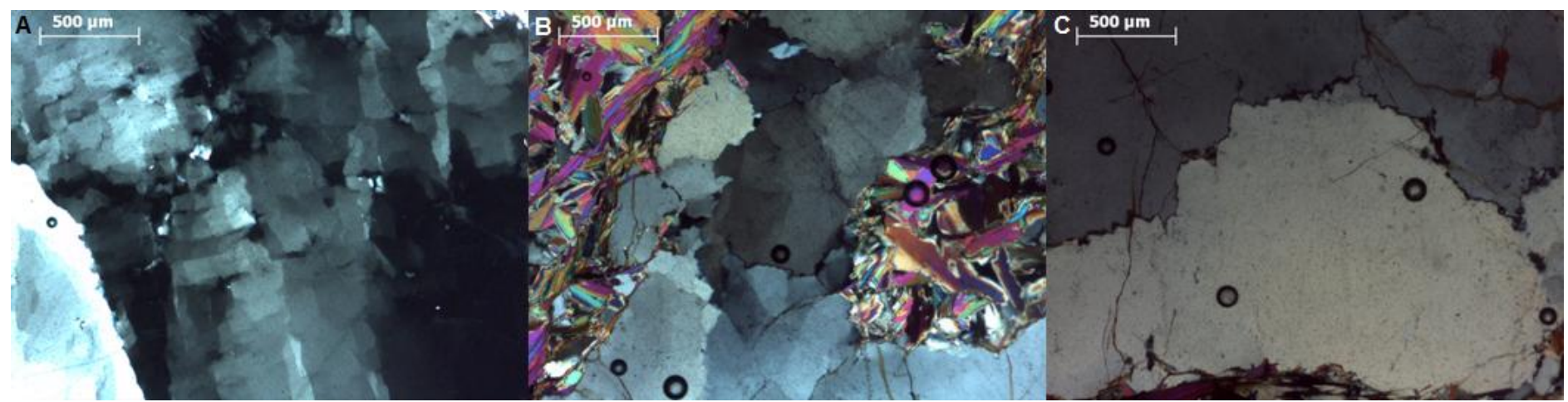


Figura V.4. 16. Modo de ocorrência do quartzo no Granito de Vila Verde. A: Extinção ondulante; B: Subgranulação dos grãos de quartzo e bordos suturados (C).

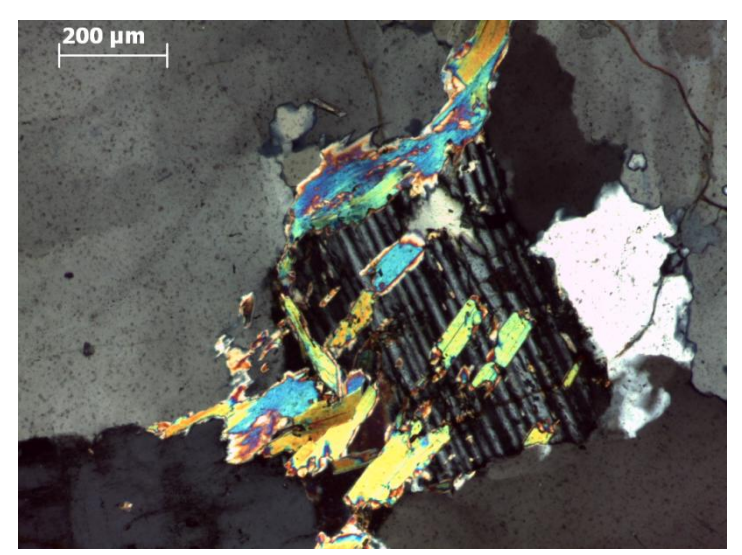


Figura V.4. 17. . Plagioclase com matriz polissintética (NX).



Figura V.4. 18. Modo de ocorrência da moscovite na lâmina do Granito de Vila Verde (NX). A: Agregado inequigranular de moscovite instalado aleatoriamente, em torno do grão de quartzo; B, C: Cristalização de fiadas de moscovite segundo orientações preferenciais.

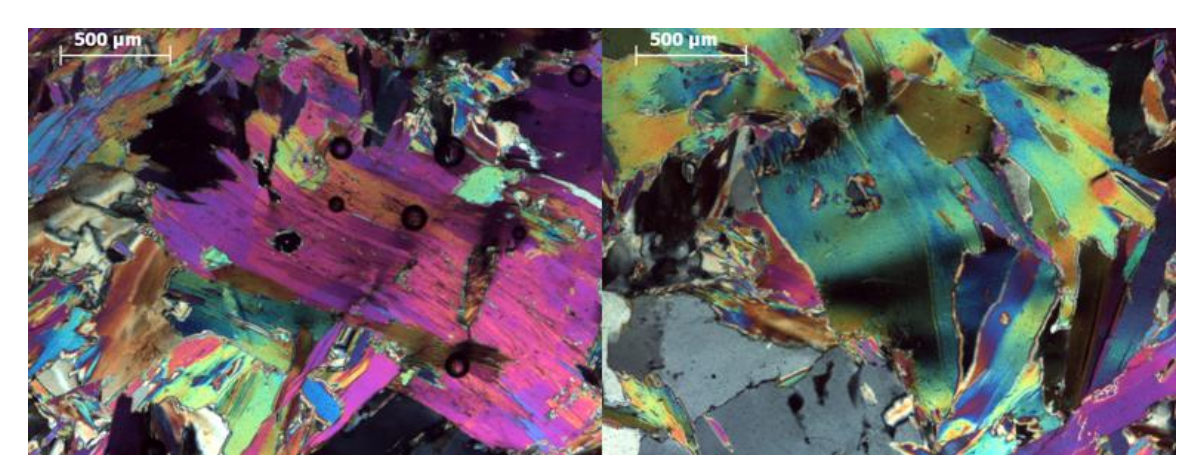


Figura V.4. 19. Moscovites deformadas, encurvamento/dobramento dos planos de clivagem (NX).

Tabela V.4. 1. Dados relativos à mineralogia e alterações hidrotermais presentes nas lâminas delgadas estudadas.

	MIN	IERAIS ESSENC	CIAIS		MINERAIS A	CESSÓRIOS		ALTERAÇÃO HIDROTERMAL			
Lâmina	Quartzo	Feldspato Potássico (Microclina)	Plagioclase	Biotite	Moscovite	Andaluzite	Zircão	Sericitização (Sericite)	Cloritização (Clorite)	Moscovitização (Moscovite secundária)	
GD6	Х		x		х				х		
GD2	x	x	x	x	x	x	x	X	x		
GD16	x	x	x	x	x			X	x		
"Duas Igrejas"	x	x	x		x			x	x		
VLV1	X				x					x	
VLV2	X		x		x			X			

# **DISCUSSÃO DOS RESULTADOS**

CAPÍTULO VI

### VI.1. Discussão dos resultados obtidos

Com os dados obtidos para os diferentes maciços graníticos foi possível proceder a uma sistematização dos resultados e interpretações.

#### VI.1.1. Estudo estatístico do diaclasamento

O estudo estatístico do diaclasamento foi elaborado no programa DIPS e, permitiu verificar que existem duas famílias de diaclasamento predominantes na área de Godinhaços, com atitudes de N040°E;88°NO e N058°E;69°SE (figura VI.1.1.). Estas atitudes estão de acordo com as direções consideradas como dominantes para os filões mineralizados em ouro no N de Portugal.

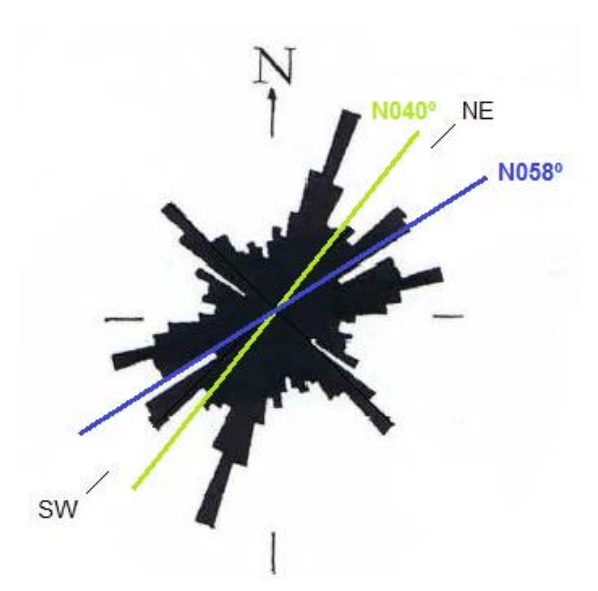


Figura VI.1. 1. Famílias de diaclases dominantes na área de Godinhaços. *Adapt*. Cottard (1982).

### VI.1.2. Anisotropia da Suscetibilidade Magnética

A técnica de estudo da anisotropia de suscetibilidade magnética (ASM) permite uma análise sistemática de um maciço granítico, proporcionando dados direcionais (foliação e lineação magnética) que podem ser comparados com os da foliação e lineação magmática, dependendo do estado de deformação da rocha. Para além disso, obtêm-se também, parâmetros quantitativos que estão relacionados com a composição química e com a taxa de deformação que sofreram as rochas.

### VI.1.2.1. Lineações e foliações Magnéticas

As lineações magnéticas têm azimutes geralmente paralelizáveis com os acidentes sobre os quais os maciços intuíram e materializaram os seus fluxos magmáticos. Para o granito de S. Mamede existe um paralelismo entre os azimutes

das lineações magnéticas e zonas de fraturas com orientações N-S típicas das fases tardias da orogenia varisca. Este facto permite reforçar a ideia de que o granito de S. Mamede é na realidade um granito tardi- a pós- F₃. O mesmo se evidencia para o granito de Braga. O granito de Vila Verde apresenta apenas uma lineação, cujo azimute 8°→N172°E (SM₁₂) é, de grosso modo, paralelo à zona de cisalhamento Malpica-Lamego, podendo esta zona de cisalhamento ter servido de canal condutor para a instalação deste granito. Em observações de campo, esta fácie granítica de Vila Verde apresentava megacristais de feldspato potássico orientados preferencialmente segundo uma direção N130°E.

A dominância de lineações fracamente inclinadas em comparação com as lineações magnéticas subverticais, permite provar que os incrementos de deslocamento horizontal registados pelo *fabric* são mais expressivos que os incrementos de deslocamento vertical, o que significa que a fonte de alimentação deste maciço se encontra a profundidades elevadas, indicando uma instalação a níveis estruturais altos.

A atitude das foliações magnéticas permite diferenciar as fácies graníticas, no caso em estudo, observa-se claramente a mudança das atitudes das foliações magnéticas identificando-se assim a existência de três fácies graníticas distintas (S. Mamede, Vila Verde e Braga). A inclinação das foliações indica, de uma forma indireta, a geometria do corpo granítico; foliações magnéticas com pendores mais elevados manifestam-se num corpo granítico mais enraizado, enquanto que para foliações com pendores mais sub-horizontais os granitos tendem a ter uma geometria mais laminar. Nos granitos em estudo verifica-se uma variação do pendor muito expressiva, os granitos de S. Mamede e Vila Verde apresentam uma geometria mais lamelar, em contrapartida o granito de Braga apresenta uma geometria mais enraizada.

A trajetória das foliações magnéticas na área de Godinhaços, apresenta uma forma de sigmóide (figura VI.1.2.), tendo esta caraterística sido interpretada como um fluxo magmático visto que o granito de S. Mamede é tardi- a pós- tectónico, não apresentado deformação que permita interpretar esta caraterística de outra perspetiva.

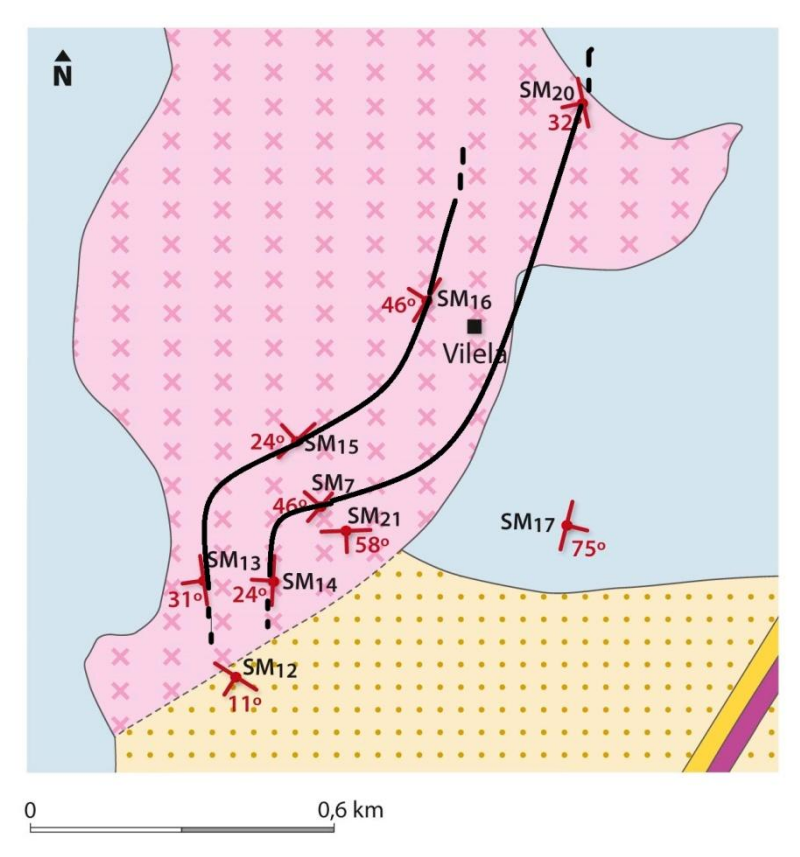


Figura VI.1. 2. Estrutura sigmóide evidenciada pelas foliações magnéticas.

# VI.1.2.2. Forma do elipsóide e Anisotropia Magnética

Nos granitos paramagnéticos estudados a forma do elipsóide de ASM é normalmente achatada (0≤T≤1) o que se relacionada com o facto de os minerais responsáveis pela anisotropia magnética serem apresentarem estrutura lamelar, como é o caso das micas. As micas apresentam uma anisotropia magnetocristalina que condiciona um plano de fácil magnetização que coincide com o plano de clivagem. A organização planar dos planos de clivagem da biotite, promove a forma achatada apresentada pelo elipsóide de ASM.

O mapa elaborado para a representação do parâmetro T (forma do elipsóide de ASM) mostra que todas as fácies graníticas apresentam um elipsóide do tipo achatado à exceção dos pontos SM<sub>7</sub> e SM<sub>21</sub> que apresentam valores inferiores a zero e, por isso o elipsóide de ASM é constrito, este facto pode ser interpretado pela presença da pirite em filões de quartzo instalado nesta zona.

A projeção dos valores representativos da forma do elipsóide num gráfico cuja abcissa é a anisotropia magnética (figura VI.1.3.), permite evidenciar que a forma do elipsóide de ASM mais manifestada nos granitos em estudo é a achatada (0≤T≤1).

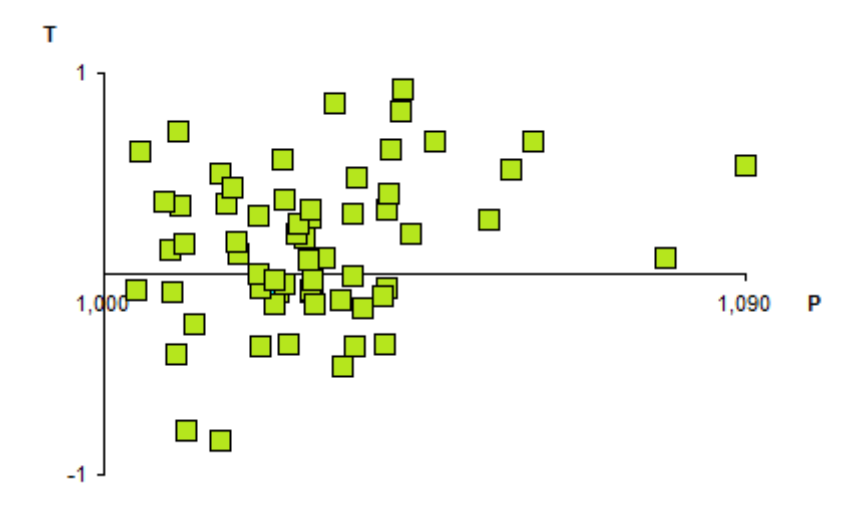


Figura VI.1. 3. Relação entre a forma do elipsóide (T) e a anisotropia magnética (P).

O parâmetro da anisotropia magnética (P%), permite-nos obter informações sobre o estado de deformação das rochas. Quando estamos analisar valores de P% temos que ter em conta o momento de instalação do granito (s.l.) em estudo pois, se estivermos perante um granito (s.l.) instalado durante o período sin- a tardi- D<sub>3</sub> os valores de P% serão mais elevados em comparação com os valores de P% obtidos para um granito instalado no período tardi- a pós- D3, isto porque o nível de deformação da rocha influencia diretamente este parâmetro. Os dados obtidos para o granito de Vila Verde são reduzidos, não permitindo fundamentar esta conclusão. No entanto, no mapa elaborado para a representação da anisotropia magnética da área de Godinhaços, observa-se que o parâmetro P% adquire valores mais elevados na periferia do granito de S. Mamede em comparação com os valores obtidos no núcleo do mesmo. Isto deve-se ao facto de na periferia o granito de S. Mamede estar em contacto com o granito de Vila Verde, tendo este contacto promovido uma deformação na bordadura do granito de S. Mamede, pois este instalou-se posteriormente ao granito de Vila Verde. O ponto SM<sub>16</sub> apresenta valores de P% da ordem dos 4,6%, isto pode ser explicado com algum tipo de deformação posterior à cristalização do magma, capaz de mudar o fabric magmático original.

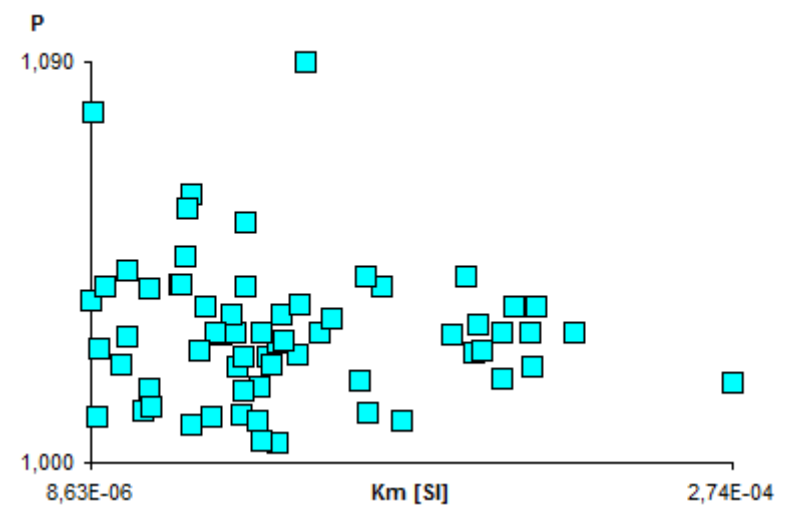


Figura VI.1. 4. Relação entre a anisotropia magnética (P) e a suscetibilidade magnética (K).

Sant'Ovaia *et al.* (2013) publicaram um gráfico que relaciona o parâmetro da anisotropia magnética com a suscetibilidade magnética. No presente trabalho foram projetados os valores obtidos nos maciços estudados e, o resultado encontra-se ilustrado na figura VI.1.5., mostrando que estes maciços se enquadram essencialmente no campo dos granitos tardi-tectónicos.

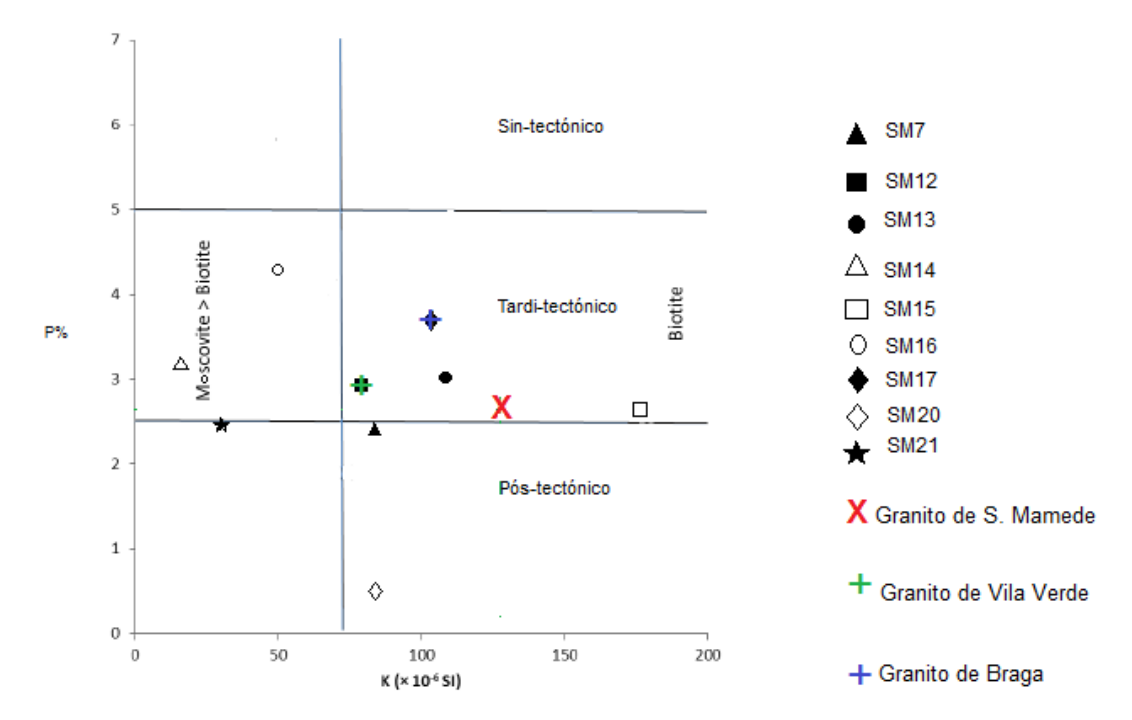


Figura VI.1. 5. Relação entre a suscetibilidade magnética e a anisotropia magnética. Classificação proposta para granitos do grupo *ilmenite-type*. *Adapt*. Sant'Ovaia & Noronha (2005).

## VI.1.3. Suscetibilidade Magnética

A suscetibilidade magnética é um parâmetro que se relaciona diretamente com a mineralogia da rocha em estudo, pois depende do comportamento magnético dos minerais quando a rocha é sujeita a um campo magnético induzido (H).

Nas rochas graníticas (*s.l.*) sobre as quais se elaboraram as medições verificou-se que os valores de suscetibilidade magnética eram fracos (K não ultrapassa a ordem de grandeza de 10<sup>-6</sup> SI), evidenciando um comportamento paramagnético das rochas em estudo, sendo este facto devido à presença de ferro na estrutura cristalina dos silicatos, como é o caso da biotite. Os valores de suscetibilidade magnética obtidos inserem estas rochas graníticas (*s.l.*) no grupo das *"ilmenite type granites"* proposto por Ishihara (1977).

A projeção dos valores de suscetibilidade magnética à escala regional permite visualizar uma zonalidade com orientação geral NE-SO, esta zonalidade acompanha a orientação dos filões mais possantes cartografados na área compreendida entre Grovelas e Pedregais, com orientação grosseira N050ºE-N080ºE. Esta zonalidade compreende três intervalos de suscetibilidade distintos: 30x10-6 SI a 80x10-6 SI, 80x10-6 SI a 130x10-6 SI e valores maiores que 130x10-6 SI. Os valores de suscetibilidade mais baixa situam-se no contacto entre os três granitos (S. Mamede, Vila Verde e Braga), este facto deve-se à existência de fenómenos de alteração hidrotermal do tipo moscovitização (ANEXO 2). Os valores de K mais elevados englobam granitos sãos, sem alteração hidrotermal com uma tonalidade geralmente mais escura (ANEXO 3).

A suscetibilidade à escala local apresenta uma zonalidade consonante com a regional, apresentando valores de suscetibilidade magnética mais baixos em zonas com alteração hidrotermal do tipo moscovitização, tal como referido anteriormente.

Num mapa de suscetibilidade a uma escala bastante ampliada, caso do mapa das cortas, verifica-se que junto ao filão mineralizado com arsenopirite (corta 4), os valores de suscetibilidade magnética atingem valores que variam de 86x10<sup>-6</sup> SI a 180x10<sup>-6</sup> SI, isto deve-se ao facto de a arsenopirite conter grande percentagem de ferro na sua estrutura cristalina o que promove um aumento exponencial do parâmetro K.

A suscetibilidade magnética pode ser utilizada como um parâmetro útil para a distinção de fácies graníticas, no entanto no caso em estudo permitiu identificar zonas de maior ou menor alteração hidrotermal de uma forma indireta.

## VI.2. Conclusões

Na área em estudo foi possível distinguir vários tipos de granitos: o granito de S. Mamede, o granito de Vila Verde e o granito de Braga sendo os dois primeiros granitos com duas micas. O granito de S. Mamede encontra-se limitado a sul pelo granito de Vila Verde e ambos são rodeados pelo granito de Braga sendo a transição entre as diferentes fácies gradual. Os filões com mineralizações de ouro são mais frequentes na vizinhança do limite entre os dois primeiros. Verifica-se que os granitos evidenciam moscovitização mais intensa na vizinhança dos filões.

O estudo do diaclasamento permitiu verificar que os sistemas de fracturação dominantes possuem uma orientação que varia N040ºE e N060ºE, coincidente com as orientações preferenciais dos filões mineralizados.

Os estudos petrofísicos permitiram complementar o estudo de campo e petrográfico e caracterizar as três fácies graníticas. Os valores de suscetibilidade magnética são semelhantes para as três fácies evidenciando um comportamento paramagnético (K≈10<sup>-6</sup> SI), o que permite inclui-los nos granitos *ilmenite-type*. Todas as fácies graníticas apresentam elipsoides de ASM do tipo achatado, o que se deve ao facto de os minerais responsáveis pelo sinal magnético apresentarem hábito lamelar.

O granito de S. Mamede exibe lineações magnéticas paralelas a zonas de fraturas com orientações N-S típicas das fases tardias da orogenia varisca o que permite considerá-lo como tardi- a pós- F₃. Pelo contrário o granito de Vila Verde exibe lineações 8°→N172°E paralelas à zona de cisalhamento Malpica-Lamego.

Com o mapa da suscetibilidade magnética foi possível definir zonamentos subparalelos aos filões de quartzo, caracterizados por uma zona de maior alteração hidrotermal, nomeadamente moscovitização, que faz diminuir o sinal magnético.

Este estudo mostrou que a suscetibilidade magnética constitui um bom indicador das variações da alteração hidrotermal, podendo ser usado como um método indireto e fácil na identificação do grau de alteração, em granitos com potencial metalogénico.





- AGICO, 2004. KLY-4/ KLY-4S/ CS-3/ CS-L, User's guide. Modular system for measuring magnetic susceptibility, anisotropy of magnetic susceptibility, and temperature variation of magnetic susceptibility. República Checa.
- ALMEIDA, M.A., 1994. Geoquímica, petrogénese e potencialidades metalogénicas dos granitos peraluminosos de duas micas do Complexo de Cabeceiras de Basto. *Faculdade de Ciências da Universidade do Porto*. Porto. (Tese de Doutoramento).
- ALMEIDA, A. & NORONHA, F., 1988. Fluids associated with W and Ag-Au deposits of the Mirandela area, NE Portugal: an example of peri-granitic zoning. *Bull. Miner.*, **111**: 331-341.
- ALMEIDA, M.A., MARTINS, H.C. & NORONHA, F., 2002. Hercunian acid magmatism and related mineralization in Northern Portugal. *Gondwana Research*, **5** (2): 423-434.
- ARTHAUD, F. & MATTE, Ph., 1975. Les decrochements tardi-hercyniens du Sud-Ouest de l'Europe. Geometrie et essai de reconstruction des condicions de la deformation. *Tectonophysics*, **25** (1/2): 139-171.
- BARBARIN, B., 1990. Granitoids main petrogenetic classifications in relation to origin and tectonic setting. *Geological Journal*, **26** (3/4): 227-238.
- BARRERA, J.L., BELLIDO, F., PABLO MACIA, J.G. & ARPS, CH.E.S., 1982. Evolution petrologico geoquimica de los granitoides hercinicos del NO Gallego. *Cuad. Lab. Xeol. de Laxe*, **3**: 21-52.
- BASTO DOS SANTOS, T.M., FONSECA, P.E., MUNHÁ., J.M., TASSINARI, C.C.G. & DIAS NETO, C., 2009. Geodynamic evolution of the São Fidelis Santo António de Pádua sector, central Ribeira Fold Belt, SE Brazil. *Comum. Geol.*, **96**: 101-122.
- BLENKINSOP, T., 2002. Deformation microstructures and mechanisms in minerals and rocks. *Kluwer Academic Publishers*, 150pp.
- BOIRON. M.C., CATHELINEAU, M., BANKS, D.A., FOURCADE, S. & VALLANCE, J., 2003. Mixing of metamorphic and superficial fluids during the uplift of the Hercynian upper crust: consequences for gold deposition. *Chemical Geology*, **194**: 119-141.
- BONNEMAISON, M. & MARCOUX, E., 1990. Auriferous mineralization in some shear-zones: A three-stage model of metallogenesis. *Mineralium Deposita*, **25**: 96-104.
- BORRADAILE, G.J. & HENRY, B., 1997. Tectonic applications of magnetic susceptibility and its anisotropy. *Earth Science*, **42** (1/2): 49-93.

- BOUCHEZ, J.L., 1997. Granite is never isotropic: an introduction to ASM studies of granitic rocks. *In*: BOUCHEZ, J.L., HUTTON, D.H.W. & STEPHENS, W.E., 1997. Granite: From Segregation of Melt to Emplacement Fabrics. *Kluwer Academic Publishers*, **8**: 95-112.
- CABRAL, M., CRAMEZ, P., MOREIRA, A., NORONHA, F., OLIVEIRA, J.M.S., PEREIRA, E., FARINHA RAMOS, J.M., REIS, M.L., RIBEIRO, A., RIBEIRO, M.L. & SIMÕES, M., 1992. Notícia explicativa da Folha 1 na escala 1/200.000 da Carta Geológica de Portugal. Serv. Geol. Portugal, Lisboa.
- CÂNDIDO DE MEDEIROS, A., TEIXEIRA, C., TEIXEIRA LOPES, J. & PALÁCIOS PEREZ, T. (1975). Carta Geológica de Portugal na escala 1/50.000. Notícia explicativa da folha 5-B de Ponte da Barca. Direção Geral de Minas e Serviços Geológicos, Serviços Geológicos de Portugal, 1-51.
- CERVEIRA, A., 1952. Relações entre os jazigos hipogénicos portugueses de ouro e de tungsténio. *Bol. Soc. Geol. Portg.*, **10**: 133-144.
- COTTARD, F., 1982. Mise en évidence par l'autocorrélation optique te l'interprétation sur images spatiales de guides structuraux ayant présidé à la répartition des gîtes d'etain te de tungestène dans le Nord-Ouest de la Peninsule Ibérique. *Bull. Soc. Géol. France*, **24** (7): 117-126.
- COUTO, H., 1993. As mineralizações de Sb-Au da região Dúrico-Beirã. 607pp. Faculdade de Ciências da Universidade do Porto. Porto. (Tese de Doutoramento).
- DIAS, R., 1994. Regimes de deformação no autóctone da Zona Centro Ibérica: a importância para a compreensão da génese do arco Ibero-Armoricano. Faculdade de Ciências da Universidade de Lisboa. Lisboa. (Tese de doutoramento).
- DIAS, G., SIMÕES, P.P. & MENDES, A.C., 2006. Instalação de rochas graníticas variscas na ZCI: geocronologia e sequências tipológicas. *VII Congresso Nacional de Geologia*: 1227-1229. Universidade de Évora.
- DIAS, R. & COKE, C., 2006. O funcionamento dos grandes acidentes crustais no controlo de génese e instalação das rochas graníticas na zona Centro-Ibérica. *VII Congresso Nacional de Geologia*: 1231-1234. Universidade de Évora.
- DIDIER, J., 1987. Contribution of enclaves studies to the understanding of origin and evolution of granitic magmas. Stuttgart. *Geolgische Rundschau*, **76** (1): 41-50.

- FARINHA, J.A., 2002. Cartografia geológica de detalhe e amostragem por "Roços em Canal" e por "Chip Samples" das estruturas mineralizadas em arsénio e ouro. Vila Verde-Área de Godinhaços. Programa Praxis XXI. Departamento de prospeção de minérios metálicos.
- FERNÁNDEZ-SUÁREZ, J., DUNNING, G.R., JENNER, G.A. & GUTIÉRREZ-ALONSO, G., 2000. Variscan collisional magmatism and deformation in NOROESTEIberia: constraints from U-Pb geochronology of granitoids. *Journal of the Geological Society*, **157**: 565-576.
- FERREIRA, N., IGLESIAS, M., NORONHA, F., PEREIRA, E., RIBEIRO, A. & RIBEIRO, M.L., 1987. Granitóides da Zona Centro Ibérica e seu enquadramento geodinâmico. In: BEA, F., CARNICERO, A., GONZALO, J., LOPEZ PLAZA, M. & RODRIGUEZ ALONSO, M., Eds., Geologia de los granitoides y rocas sociadas del Macizo Hesperico, 37-51. Editorial Rueda. Madrid. (Libro de Homenage a GARCÍA DE FIGUEROLA, L.C.).
- FERSMAN, A., 1931. Les pegmatites. Mém. Acad. Sci. U.R.S.S.
- GOMES, C. & SANT'OVAIA, 2015. Modelos de anisotropia da suscetibilidade magnética versus modelação de processos geológicos. In: NEVES, L.J.P.F., PEREIRA, A.J.S.C., GOMES, C.S.R, PEREIRA, L.C.G. & TAVARES, A.O., 2011. *Modelação de sistemas geológicos: livro de homenagem ao Professor Manuel Maria Godinho*, 237-246. Laboratório de Radioatividade Natural da Universidade de Coimbra. Imprensa da Universidade de Coimbra.
- GIRÃO, A., 1960. Geografia de Portugal, 541pp. Porto.
- ISHIHARA, S., 1977. The magnetite-series and ilmenite-series granitic rocks. *Mining Geology*, **27**: 293-305.
- JULIVERT, M., FONTBOTE, J., RIBEIRO, A. & CONDE, L., 1975. Mapa tectónico de la Península Ibérica e Baleares na escala 1/1.000.000. Memória Explicativa, 113pp. *Instituto Geológico y Minero de España*. Madrid.
- LAUTENSACH, H., 1988. Os rios e os processos de erosão. In: O. Ribeiro, H. Lautensach & S. Daveau, Eds, Geografia de Portugal. II. O Ritmo Climático e a Paisagem, 467-482. Lisboa.
- LLANA-FUNEZ, S. & MARCOS, A., 2000. The Malpica-Lamego line: a major crustal-scale shear zone in the Variscan belt of Iberia. *Journal of Strutural Geology*, **23** (6/7): 1015-1030.

- MACKENZIE, W.S., DONALDSON, C.H. & GUILFORD, C., 1982. Atlas of igneous rocks and their textures. 148pp.
- MACKENZIE, W.S. & GUILFORD, C., 1996. Atlas de Petrografía. Minerales formadores de rocas en lamina delgada. (versão espanhola por Marceliano Lago San José & Enrique Arranz Yagüe) Masson, S.A., 98pp.
- MANIAR, P.D. & PICCOLI, PH.M., 1989. Tectonic discrimination of granitoids. *Geological Society of America, Bulletin*, **101** (5): 635-643.
- MATEUS, A. & NORONHA, F., 2010. Sistemas mineralizantes epigenéticos na zona centro-ibérica; Expressão da estruturação orogénica meso- a tardivarisca. "Ciências geológicas Ensino e Investigação e sua História", Geologia e Recursos Geológicos, 2 (1): 61 pp.
- MATTE, P. & RIBEIRO, A., 1975. Forme te orientation de l'ellipsoide de déformation dans la virgation hercynienne de Galice. Relation avec le plisse, emt te hypothèses sur la genèse de l'arc Ibéro-Armoricain. C.R. *hebd. Séanc. Acad. Sci.*, *Paris*, *Sér. D*, *Sciences naturalles*, **280** (25): 2825-2828.
- MARTINS, H.C.B., SANT'OVAIA, H. & NORONHA, F., 2009. Genesis and emplacement of felsic Variscan plutons within a deep crustal lineation, the Penacova-Régua-Verín fault: An integrated geophysics and geochemical study (NOROESTEIberian Peninsula). *Lithos*, **111**: 142-155.
- MARTINS, H.C.B. & ABREU, J., 2014. The composition of zircon in Variscan granites from Northern Portugal. *Estudios Geológicos*, **70** (2): 9 pp.
- MARTINS, H.C.B., SANT'OVAIA, H., ABREU, J., OLIVEIRA, M. & NORONHA, F., 2011. Emplacement of the Lavadores granite (NOROESTEPortugal): U/Pb and ASM results. *C. R. Geoscience*, **343**: 387-396.
- MENDES, A.C. & DIAS, G., 2003. Composição isotópica Sr-Nd de granitos subalcalinos ferro-potássicos: o maciço granítico de Peneda-Gerês (NOROESTEPenínsula Ibérica). *IV Congresso Ibérico de Geoquímica: XIII Semana de Geoquímica*: 93-95.
- NEIVA, J., 1944b. Jazigos portugueses de cassiterite e de volframite.Porto. (Tese); *Comum. Serv. Geol. Portugal*, **25**: 251pp.
- NOGUEIRA, P., 1997. Ação dos paleofluidos mineralizantes em Au, Ag e As e a sua migração nas regiões auríferas de N de Portugal. 220pp. Faculdade de Ciências da Universidade do Porto. Porto. (Tese de doutoramento).

- NOGUEIRA, P. & NORONHA, F., 1993. A evolução de fluídos associados a mineralizações de (Au-Ag-As) em contexto granítico. Os exemplos de Grovelas e Penedono, Norte de Portugal. IX Semana de Geoquímica e II Congresso de Geoquímica dos Países de Língua Portuguesa, Porto. *Mus. Lab. Min. Geol.*, 275-278.
- NORONHA, F., 1983. Estudo metalogénico da área tungstífera da Borralha. *Faculdade de Ciências da Universidade do Porto*. Porto. (Tese de Doutoramento).
- NORONHA, F. & RAMOS, J.M.F., 1993. Mineralizações auríferas primárias no norte de Portugal. Algumas reflexões. *Cuad. Lab. Xeolóxico de Laxe*, **18**: 133-146.
- NORONHA, F., CATHELINEAU, M., BOIRON, M.C., DÓRIA, A., RIBEIRO, M.A., NOGUEIRA, P. & GUEDES, A., 2000. A three stage fluid flow for Variscan gold metallogenesis in northern Portugal. *Journal of Geochemical Exploration*, **71**: 209-224.
- NORONHA, F., RAMOS, J.M.F., REBELO, J.A., RIBEIRO, A., RIBEIRO, MªJ., 1981. Essai de corrélation des phases de déformation hercyneinnes das les Nord-Oues péninsulaire. *Leidse geologische mededeligen*, **52** (1): 87-91.
- OLIVEIRA, J.T., PEREIRA, E., RAMALHO, M., ANTUNES, M.T. & MONTEIRO, J.H., 1992. Folha Norte na escala 1/500.000 da Carta Geológica de Portugal. Serv. Geol. Portugal, Lisboa.
- PAMPLONA, J., 2001. Tectónica do antiforma de Viana do Castelo-Caminha (ZCI): regime de deformação e instalação de granitóides. (Tese de Doutoramento). *Universidade do Minho*.
- PARÉS, J.M., 2015. Sixty years of anisotropy of magnetic susceptibility in deformed sedimentary rocks. *Earth Science*, **3** (4): 13pp.
- PEARCE, J.A., HARRIS, N.B.W. & TINDLE, A.G., 1984. Trace element discrimination diagrams for the tectonic interpretation of granitic rocks. *Journal of petrology*, **25** (4): 956-983.
- PEREIRA, E., 1987. Estudo geológico-estrutural da região de Celorico debasto e a sua interpretação geodinâmica. 274pp. Faculdade de Ciências da Universidade de Lisboa. Lisboa. (Tese de Doutoramento).
- PEREIRA, E., RIBEIRO, A. & MEIRELES, C., 1993. Cisalhamentos variscos e controlo das mineralizações de Sn-W, Au e U na Zona Centro-Ibérica, em Portugal. *Cuad. Lab. Xeol. de Laxe*, **18**: 89-119.

- PINTO, M., CASQUET, C., IBARROLA, E., CORRETGÉ, L. & FERREIRA, M., 1987. Síntese geocronológica dos granitóides do Maciço Hespérico. In: BEA, F., CARNICERO, A., GONZALO, J., LOPEZ PLAZA, M. & RODRIGUEZ ALONSO, M., Eds., Geologia de los granitoides y rocas sociadas del Macizo Hesperico, 69-86 (Libro de Homenage a GARCÍA DE FIGUEROLA, L.C.). Editorial Rueda. Madrid.
- PITCHER, W.S., 1987. Granites and yet more granites forty years on. Stuttgart. Geologische Rundschau, **76** (1): 51-79.
- PITCHER, W.S., 1997. The nature and origin of granite. *Springer Netherlands*, **2**: 387 pp.
- PRIEM, H.N.A., 1984. Tracing crustal evolution in the NOROESTEIberian Peninsula through the Rb-Sr and U-Pb systematics of Palaeozoic granitoids: a review. *Physics of the Earth and Planetary Interiors*, **35** (1/3): 121-130.
- QUEIROZ, J.P.C. & CARANASSIOS, A., 2013. Petrografia microscópica e caraterização de rochas ornamentais. *I Jornada do Programa de Capacitação Interna* CETEM, 8pp.
- RAGUIN, E., 1958. Géologie du granite. Revue de géographie de Lyon, **33** (4): 396-397.
- RAITH, M.M., RAASE, P. & REINHARDT, J., 2014. Guia para microscopia de minerais em lâminas delgadas. (versão portuguesa por Maia do Carmo Gastal & Márcia Elisa B. Gomes), 126pp.
- RIBEIRO, A., 1974. Contribuition à l'étude tectonique de Trás-os-Montes Oriental.

  Texte: 168 pp.; Cartes hors texte. Serv. Geol. Portugal. Lisboa. Tese de doutoramento. *Memor. Serv. Geol. Portugal*, N.S., **24**.
- RIBEIRO, A., ANTUNES, M.T., FERREIRA, M.P., ROCHA, R.B., SOARES, A.F., ZBYSZEWSKI, G., ALMEIDA, F.M., CARVALHO, D. & MONTEIRO, J.H., 1979. Introdution à la géologie générale du Portugal, 114pp. *Serv. Geol. Portugal*. Lisboa. (Congr.internat.Géol., 26ª,Paris,1980).
- RIBEIRO, A., PEREIRA, E., SEVERO, L., 1980. Análise da deformação da zona de cisalhamento Porto-Tomar na transversal de Oliveira de Azeméis. *Comum. Serv. Geol. Portugal*, **66**: 3-9.
- RIBEIRO, A., IGLÉSIAS, M., RIBEIRO, M.L. & PEREIRA, E., 1983. Modèle géodynamic des Hercynides Ibériques. *Com. Serv. Geol. Portugal,* Lisboa, **69** (2): 291-293.

- RIBEIRO, A. & PEREIRA, E., 1989. Flake tectonics in the NOROESTEIberia Variscides. II Congresso Nac. De Geologia, *Maleo*, **2**, 13, Resumos. Lisboa.
- RIBEIRO, A., MUNHÁ, J., MATEUS, A., FONSECA, P., PEREIRA, E., NORONHA, F., ROMÃO, J., RODRIGUES, J., CASTRO, P., MEIRELES, C., FERREIRA, N., 2009. Mechanics of thick-skinned Variscan overprinting of Cadomian basement (Iberia Variscides). C. T. *Geocience*, **341**: 127-139.
- RIES, A.C., 1979. Variscan metamorphism and K-Ar dates in the Variscan fold belt of S Brittany and NOROESTESpain. *Journal of the Geological Society*, **136**: 89-103.
- SANT'OVAIA, H., 2006. Fabrics magnéticos em granitos variscos da Zona Centro Ibérica. 8-92pp. *Magiber, IV Congreso de Paleomagnetismo Ibérico*. Libro de Resúmenes. Vigo.
- SANT'OVAIA, H. & NORONHA, F., 2005. Classificação de granitos variscos portugueses com base nas suas caraterísticas petrofísicas. *Cad. Lab. Xeol. Laxe*, **30**: 75-86.
- SANT'OVAIA, H., MARTINS, H.C.B. & NORONHA, F., 2013. Oxidized and reduced Portuguese Variscan granites associated with W and Sn hydrothermal lode deposits: magnetic susceptibility results. *LNEG, Comunicações Geológicas*, **100** (1): 33-39.
- SANT'OVAIA, H., RIBEIRO, M.A., MARTINS, H.C.B., FERRÃO, F., GOMES, C. & NORONHA, F., 2014. Estruturas e *fabric* magnético no maciço granítico de Lavadores-Madalena. *Comum. Geol. Portugal*, **101** (1): 313-317.
- SCHERMERHORN, L.J.C., 1956. Igneous metamorphic and ore geology of the Castro Daire São Pedro do Sul Sátão region (Northern Portugal). *Comun. Geol. Portugal*, **37**: 617 pp.
- SCHERMERHORN, L.J.C., 1981. Framework and evolution of Hercynian mineralization in the Iberia meseta. *Leidse Geol. Meded.*, **52** (1): 23-56.
- SOEN, O., 1970. Granite intrusion, folding and metamorphism in central northern Portugal. *Bol. Geol. Min., Madrid*, **81** (2/3): 271-298.
- SOUSA, B., CEREJO, T., VALLE AGUADO, B. & AZEVEDO, M.R., 2011. Anisotropia da suscetibilidade magnética em granitóides tardi-tectónicos variscos de Viseu (ZCI). 3pp. *I Congresso Nacional Jovens Investigadores em Geociências*. Livro de atas. Estremoz.

- STRECKEISEN, A., 1976. To each plutonic rock its proper name. *Earth Sci. Rev.*, **12**: 1-33.
- STRECKEISEN, A., 1979. Classification and nomenclature of volcanic rocks, lamprophyres, cabonatites and melilitic rocks. Recommendations and suggestions of the IUGS subcommision on the systematic of igneous rocks. *Geology*, **7**: 331-335.
- VALLANCE, J., CATHELINEAU, M., BOIRON, M.C., FOURCADE, S., SHEPHERD, T.J. & NADEN, J., 2003. Fluid-rock interactions and the role of late Hercynian aplite intrusion in the genesis of the Castromil gold deposit, northern Portugal. *Chemical Geology*, **194**: 201-224.
- WHITE, A.J.R. & CHAPPELL, B.W., 1983. Granitoid types and their distribution in the Lachlan Fold Belt, southeastern Australia. *Geological Society of America Memoirs*, **159**: 21-34.
- WILKINSON, J.J., 2001. Fluid inclusions in hydrothermal ore deposits. *Lithos*, **55**: 229-272.

## **WEBGRAFIA**

http://geoportal.lneg.pt/geoportal/mapas/index.html

http://www.minhoin.com/gca/?id=134

nucleoap.blogspot.com

www.lneg.pt/servicos/215 (consultado em 15.07.2015 às 17:09h)

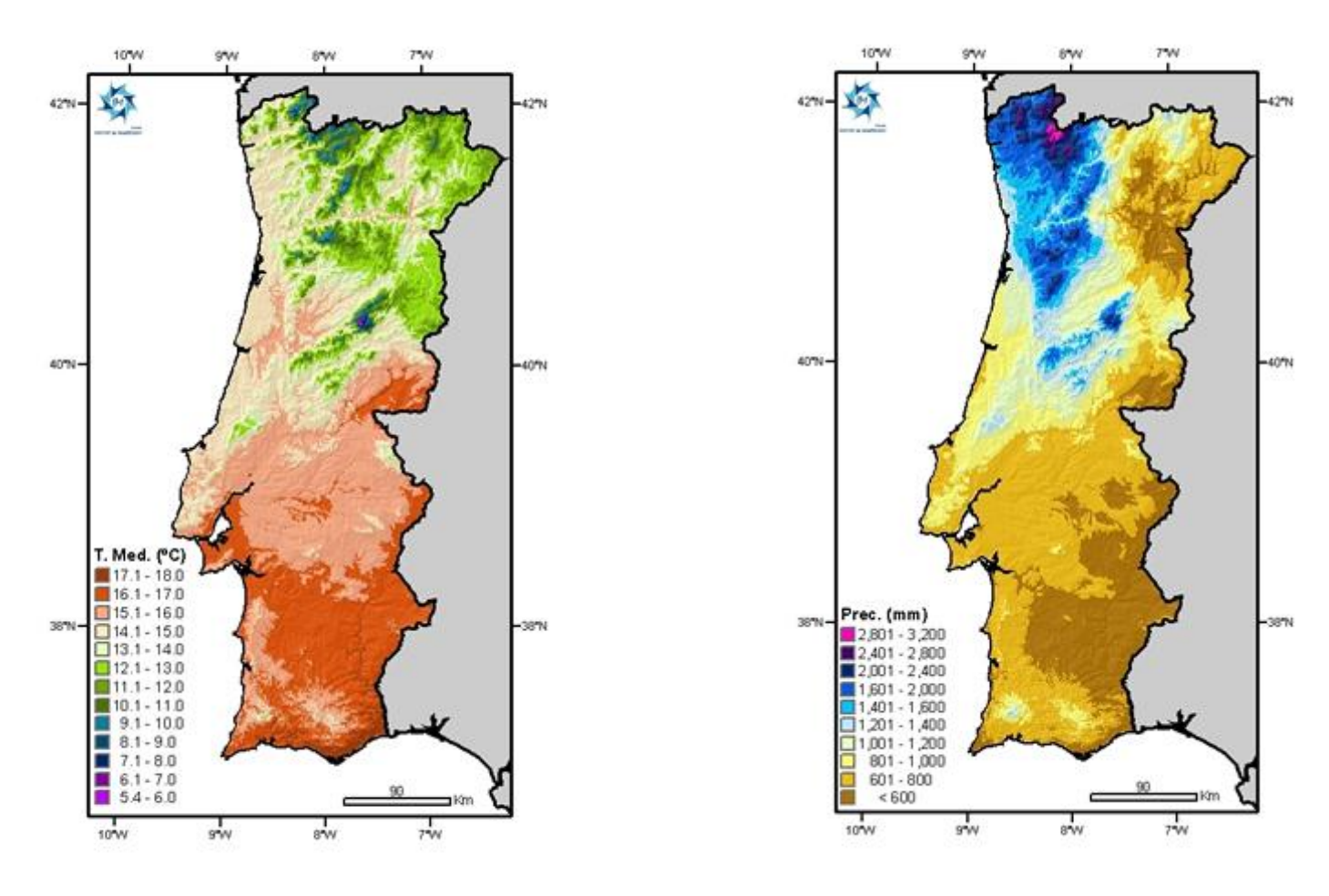
www.lneg.pt/sevicos/142 (consultado em 15.07.2015 às 17:10h)

www.lneg.pt/servicos/139 (consultado em 15.07.2015 às 17:10h)

https://oyadevblog.files.wordpress.com/2011/04/720pxstreckeisen for intrusive quartz

\_igneous\_rocks-www.pballew.net/arithme9.html





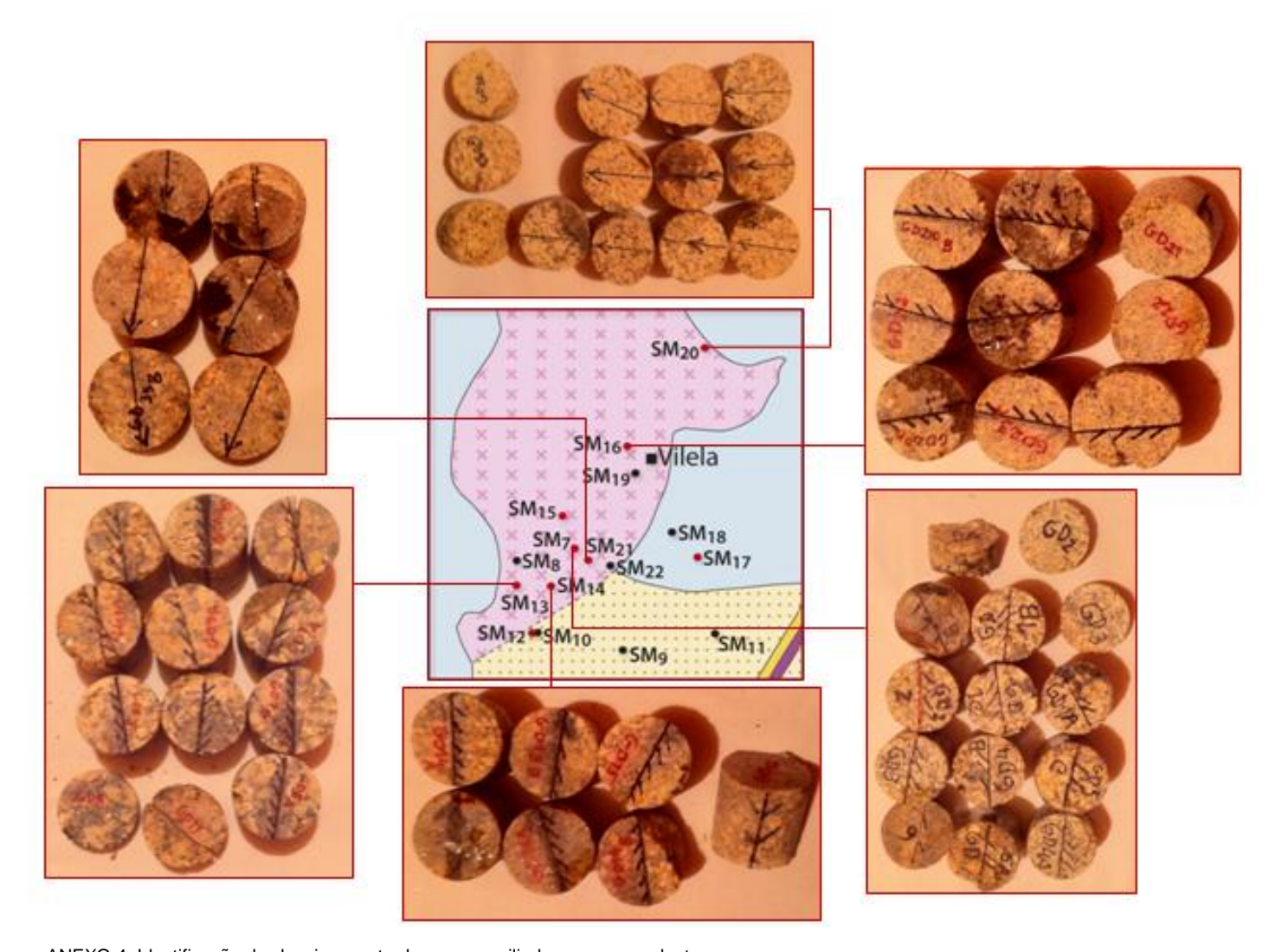
ANEXO 1. Lado esquerdo: mapa representativo da temperatura média anual em Portugal; lado direito: mapa representativo da percipitação média anual em Portugal. (retirado de Instituto do Mar e da Atmosfera).



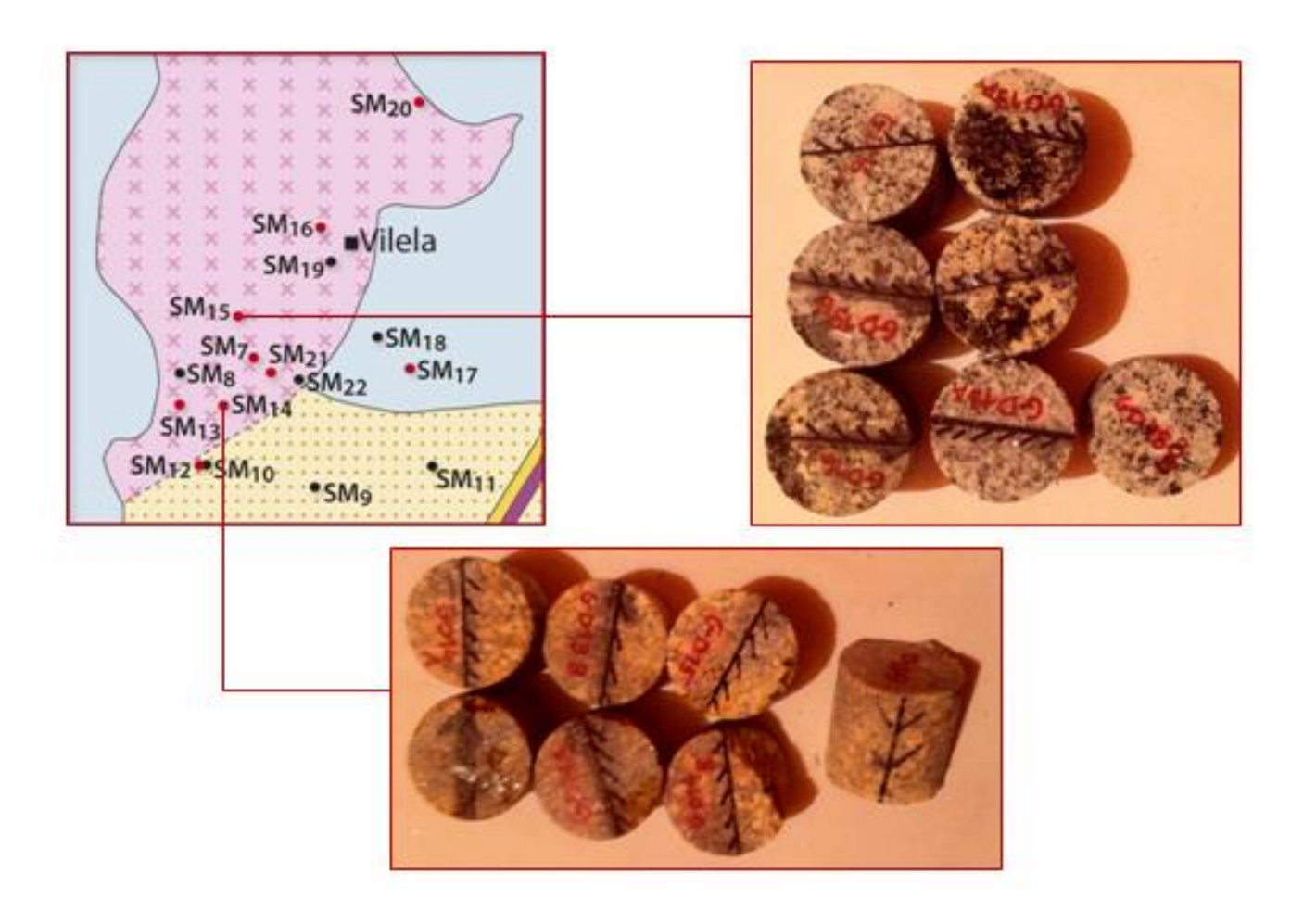
ANEXO 2. Granito com alteração hidrotermal do tipo moscovitização, Granito de S. Mamede.



ANEXO 3. Granito sem indícios de moscovitização, Granito de S. Mamede.



ANEXO 4. Identificação dos locais amostrados com os cilindros correspondentes.



ANEXO 5. Identificação dos locais amostrados com os cilindros correspondentes.